(19)日本国特許庁(JP)　(12)公表特許公報(A)　(11)特許出願公表番号
特表2012-503407
(P2012-503407A)
(43)公表日　平成24年2月2日(2012.2.2)

(51)Int.Cl.	F I	テーマコード（参考）
H04J 11/00 (2006.01)	H04J 11/00 Z	

審査請求 有　予備審査請求 未請求　（全 101 頁）

(21)出願番号	特願2011-527758 (P2011-527758)
(86)(22)出願日	平成22年2月10日 (2010.2.10)
(85)翻訳文提出日	平成23年3月16日 (2011.3.16)
(86)国際出願番号	PCT/KR2010/000824
(87)国際公開番号	WO2010/095827
(87)国際公開日	平成22年8月26日 (2010.8.26)
(31)優先権主張番号	61/153,291
(32)優先日	平成21年2月17日 (2009.2.17)
(33)優先権主張国	米国 (US)
(31)優先権主張番号	61/156,892
(32)優先日	平成21年3月3日 (2009.3.3)
(33)優先権主張国	米国 (US)
(31)優先権主張番号	61/168,221
(32)優先日	平成21年4月10日 (2009.4.10)
(33)優先権主張国	米国 (US)

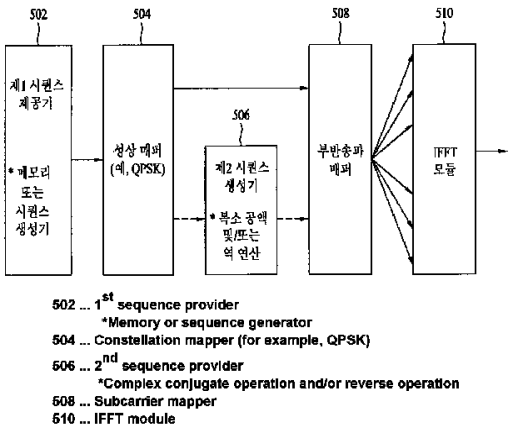
(71)出願人　502032105
エルジー　エレクトロニクス　インコーポレイティド
大韓民国，ソウル　１５０－７２１，ヨンドゥンポ－ク，ヨイド－ドン，２０
(74)代理人　100078282
弁理士　山本　秀策
(74)代理人　100062409
弁理士　安村　高明
(74)代理人　100113413
弁理士　森下　夏樹

最終頁に続く

(54)【発明の名称】シーケンス生成方法及びそのための装置

(57)【要約】
本発明は、無線通信システムにおいて送信機がシーケンスを伝送する方法及び装置を提供する。この方法は、第１シーケンスに複素共役演算（ｃｏｍｐｌｅｘ　ｃｏｎｊｕｇａｔｅ　ｏｐｅｒａｔｉｏｎ）及び逆演算（ｒｅｖｅｒｓｅ　ｏｐｅｒａｔｉｏｎ）のうち少なくとも一つを行って第２シーケンスを生成する段階と、前記第２シーケンスをＯＦＤＭＡ（Ｏｒｔｈｏｇｏｎａｌ　Ｆｒｅｑｕｅｎｃｙ　Ｄｉｖｉｓｉｏｎ　Ｍｕｌｔｉｐｌｅ　Ａｃｃｅｓｓ）シンボル内の複数の副搬送波にマッピングする段階と、前記ＯＦＤＭＡシンボルを受信機に伝送する段階と、を含む。

[도 5]



【特許請求の範囲】
【請求項１】
無線通信システムにおいて送信機がシーケンスを伝送する方法であって、
第１シーケンスをシーケンスタイプによって複素シーケンスに変調する段階と、
前記複素シーケンスをＯＦＤＭＡ（Ｏｒｔｈｏｇｏｎａｌ　Ｆｒｅｑｕｅｎｃｙ　Ｄｉｖｉｓｉｏｎ　Ｍｕｌｔｉｐｌｅ　Ａｃｃｅｓｓ）シンボル内の複数の副搬送波にマッピングする段階と、
前記ＯＦＤＭＡシンボルを受信機に伝送する段階と、
を含み、
前記第１シーケンスは、下記のシーケンスセット１乃至３を構成するシーケンスのうち少なくとも一つである、シーケンス伝送方法：

【化７３】

シーケンスセット１（１６進数フォーマット）

q ＼ blk	A	B	C	D	E	F	G	H
0	314C8648F	18BC23543	06361E654	27C552A2D	3A7C69A77	011B29374	277D31A46	14B032757
1	281E84559	1A0CDDF7E	2473A5D5B	2C6439AB8	1CA9304C1	0AC3BECD0	34122C7F5	25362F596
2	00538AC77	38F9CBBC6	04DBCCB40	33CDC6E42	181114BE4	0766079FA	2DD2F5450	13E0508B2
3	3BE4056D1	2C7953467	0E5F0DE66	03C9B2E7D	1857FD2E3	15A276D4F	210F282AF	27CE61310
4	3DBAAE31E	254AE8A85	168B63A64	05FDF74FB	3948B6856	33656C528	1799C9BA1	004E0B673
5	177CE8FBC	21CEE7F09	397CD6551	01D4A1A10	1730F9049	067D89EA9	3AC141077	3D7AD6888
6	3B78215A1	17F921D66	385006FDC	011432C9D	24ED16EA6	0A54922F1	02067E65D	0FEC2128D
7	01FF4E172	2A704C742	3A58705E1	3F3F66CD2	07CA4C462	1854C8AA3	03F576092	06A989824
8	1A5B7278E	1630D0D82	3001EF613	34CCF51A1	2120C250A	06893FA2D	156073692	07178CFA7
9	032E31906	2DD318EAA	1DE55B14D	0EF4B6FB3	27DED0610	1BC8440D3	0ED86BF8D	14FAFDE2C
10	174725FFD	0D2FB1732	124470F56	292D9912B	1571408A7	227197AE9	2430BC576	0B67304E0
11	1F1DCD669	293DD1701	0C34F1B84	28496EE51	3DC41327F	071C06523	28E1657B6	02588EFDA
12	22E4AA041	3810362F1	1955F1DE7	0D6D2F8BE	11F31358E	3EB27BB12	1F4E60111	119BDA927
13	14300B522	152E6D482	168DF6E43	0740B7AE0	14FE7DCDD	0FA092626	23697615A	1F1331EB8
14	12C65ED00	317643CD7	2C637A415	15E3E5185	0F5CBB9E0	23290B156	26F37EFE8	1AA174793
15	1DD6453F0	032C4BD39	082659BD5	320C5E691	224E555B2	3A9615A8D	1BED03424	28E6A9CED
16	068AE7EE9	16F724910	3803DD9BD	2A31A2FFB	010BF5237	33CB067E6	0280C28B7	184417B94
17	1D651280A	2C7BCF443	17324EFB0	236E5C411	381215183	2F076E64E	0A6F2EE74	3DA4196B7
18	27341650F	1B520099C	09AC91114	000A5F48B	30AB4B9B6	2D0DB0DE6	1CF57978A	2D424406B
19	3A01E2FB2	0DF5B257B	019D1C63A	0EA7DCDDB	242D96605	2DA675F15	1DEC54193	3B6341C16
20	2DDFAEB05	21D0A1700	0FA09BB78	17DA7F8BB	06E883B3F	02E6B929B	2C1C413B4	030E46DD1
21	1B625E3F9	0F708F756	00CD97B18	3F036B4DF	2CF08C3E5	213A5A681	14A298D91	3D2ED63BC
22	2DA48D5A9	0C085BD17	01903428A	3DF2A30D9	29061309A	16F7DC40E	2AF88A583	27C1DA5E9
23	30DBAC784	20C3B4C56	0F1538CB7	0DDE7E1BE	2C312903B	0FF21E6C2	032C15DE3	26C9A6BA4
24	3188E8100	385FEFE2D	3967B56C7	3F62D246B	1826A755E	2CDA895EA	2FAB77825	1B525FF88
25	339467175	2DE49506B	27B7282A9	0254470A3	3374310AF	2DF20FD64	3848A6806	11C183E49
26	02AFA38DC	0F2AFDDF4	1A05650E2	061439F88	11C275BE0	30C41DEC9	119E070E9	1E76542C1
27	1B364E155	086FF808C	29F1BA9DC	0A830C788	2E70D0B3A	34EA776B1	3D13615C0	15FC708D4
28	38ECFC198	07034E9B3	2340F86B3	07562464C	22823E455	1F68D29E9	257BB66C6	1083992F1

【化７４】

29	375C4F5AB	3C0F5A212	0EA21BC30	13E8A26F2	17C039773	283AD6662	1F63AB833	2DE933CAF
30	2B773E3C5	3849BBE6C	1CAD2E5AB	0405FA1DE	1B27B4269	3B3BF258F	300E77286	39599C4B1
31	1E878F0BE	0AE5267EC	376F42154	1CD517CC2	302781C47	123FEC7E0	16664D3D8	24B871A55
32	20E200C0A	1C94D2FF1	213F8F01B	369A536E0	161588399	29389C7FC	259855CAC	06025DCE2
33	28D2E001C	3C51C3727	106F37D0E	1FB0EFDD1	2CD9D33C3	1EA190527	0BB5A6F9E	074867D50
34	08EFC44B5	1B484EABE	05FEB2DE2	211AF91B5	0CF52B1E1	002B5C978	11D6E5138	0D402BDD2
35	337C618F4	0A4C31DDA	1D93003D6	006D7D088	348043A6D	325E05758	2C53EEEB8	15ED8E614
36	38375C2FF	18C78FD02	30C11EF53	3916581DD	1B75263FF	2D8DFD6A9	00C4E8482	1D201F96A
37	2E10B0D05	2EF203893	2491D95F1	34D995B51	32214BDF5	3E45674B1	3E74AC66E	1B813A999
38	153E7269D	2391C7BFC	1ADD3A595	0EFD3086E	00AD88A8E	0D8B007CA	0F22C5F9D	010E86385
39	3B58C7BFF	0BA76496E	3AD0B7BBF	1D6D10FB3	3A607BEFC	28F122A95	057950727	179449CB7
40	37AC5194A	390BD9C00	3A48C0461	12FBCE4C6	2A8DD4171	10E9F1E34	251F5D167	1124E96B1
41	0FEF20C67	31EC9EA3F	275B31143	22DA4F02B	352C0F648	21FF5B9F3	3E5BC2372	0A1AE08FE
42	080EDC49B	17AD7F7BA	390775B3C	1380B00DA	2477FF17C	2E6D9E5AF	05381F2DD	26143CC17
43	2DB485795	1B3252799	39AD0211C	3AAE31B76	30532A187	1C8EA5F5A	2EA6E4D6B	30570A2E4
44	11BB4F78A	12CCE1428	2C67EEF99	20E3F841A	20CFCD5F2	1618A7B94	111FF6092	2ED034E06
45	1C66335E5	0CA9B9BD2	3213028AE	15542DD28	290F7DAE2	2137F02D5	17DF9445D	24F162FFB
46	360FB966B	17D878955	1C1D67093	065B84F3A	1A1D955E3	24C73C11E	270EA9EB2	114DCA02C
47	002CE84DD	0616DD253	3EB188345	1FF852926	37E160F00	040DF51EC	1857A33BA	230FD8A0D
48	233C0A71F	22E428104	0325F8170	39566B188	32DA16A4A	039FDF1DC	27A3E946C	0D69F26D9
49	0583F9F73	378380CB6	059D8A960	3E3442C7F	026138ADB	25F370F1E	09D3EB2CC	2D37D50C0
50	08DF9CC66	2C2E7AA8F	3CB241ED2	03216B4D2	39736B451	25F6F113F	08FD2AC3C	1974574FD
51	3D1FF6041	2CE2AB97F	01A734F3B	1DCF9F3C5	268D595CA	1FBD2A8B8	0F1449F86	370C352FD
52	123218E40	3AA057589	20F73A16F	26E3BCA5F	3A7330DC6	12C659384	39D99FF1B	276DFC540
53	185AEDEA4	0418B3643	382F7700A	3FC35ED60	07BA2F838	1BC840C93	2469A41EC	0CE7B4CB0
54	2E194E2BF	3302A0B28	1836001EE	154A4738A	36A3BBD72	23CCD0EB1	044B3A13B	2B50C8057
55	0B76405D3	231AAA728	0EE05E9B6	0093A21F2	2065A01D0	1F2B810D4	1082F3A73	1DAFEA492
56	07AD23A3A	2091957F1	3B9D8CBF0	21E4160BE	1BFB25224	3D9085D16	03076DD39	1DBCF8D03
57	226D70EBF	3ED15246C	364130C46	22F6D4AA3	3FCC9A71	3B9283111	0484F0E58	14574BD47

【化７５】

					B			
58	3F49B0987	305231FA6	0CF4F6788	3B9296AED	2346190C5	3365711F4	078900D4A	352686E95
59	1D62AC9A4	104EDD1F5	1B0E77300	1CED8E7F0	388E8002C	1FE6199F4	02239CB15	1FE5D49A2
60	21314C269	28600D12A	22E4F1BAA	044E211B1	0DECFE1B4	3E5B208CC	1CFC91293	21E7A906B
61	02C029E33	1BA88BE4D	3742AE82F	21EF0810F	17D23F465	240446FB5	17CCE51D9	2C0B0E252
62	16F9D2976	10185ECE6	2821673FD	02674271C	3A8A75B7C	226D4BF0F	2216004E5	0E8605674
63	06E4CB337	32A31755D	062BE7F99	1417A922D	2271C07E5	24D6111FA	3F2639C75	0CE2BB3A0
64	18D139446	2426B2EA8	352F18410	1133C535E	10CC1A28F	1A8B54749	22A54A6F4	2F1920F40
65	22443017D	2265A18F5	14E1DAE70	11AC6EA79	31A740502	3B14311E7	3AA31686D	26A3A961C
66	2018F4CA9	3A0129A26	39BDA332E	1941B7B49	03BBCE0D8	20E65BD62	2E4A6EE6C	3B095CCB3
67	0CC97E07D	11371E5FF	31DFF2F50	17D46E889	352B75BEA	1F1529893	21E6F4950	1BD034D98
68	275B00B72	125F0FE20	0FB6DE016	0C2E8C780	3026E5719	119910F5F	3B647515B	1D49FED6F
69	250616E04	0882F53BF	11518A028	3E9C4149D	09F72A7FB	0CC6F4F74	2838C3FD1	08E87689B
70	212957CC2	03DD3475B	044836A0B	2463B52C0	0342FB4B0	34AD95E9B	2936E2045	3B0592D99
71	2922BD856	22E06C30C	390070AED	09D6DC54F	3485FA515	064D60376	07E8288B3	3DD3141BF
72	29CB07995	007EE4B8B	16E787603	07C219E93	1031B93DD	23DEFF60B	30F1D7F67	0EFE02882
73	11F3A0A2F	38C598A57	3FE72D35B	1F655E0D1	0B3AC0D92	3430DDB1A	3BAADBF42	02D6124C0
74	05FC8085D	345A5C470	07DAAE1E9	0D7150B88	25D2A5B10	16F8E5021	3240EFC71	0F0F5922D
75	399F32F6E	2EEB17A8E	0D61665D0	2138EE96F	3F8119063	01B5048F7	27075153D	265DF8280
76	3962CC581	2337D2983	286FD7BBA	185126E0E	1F95AD927	0F7EBC374	1E3A4B6FF	20CA9B9BD
77	1C85C13AF	290C37167	1FDD26E8F	0C38736B8	0174DB972	0A921E3CC	097557C9D	09452C1E6
78	2D48D6C00	2D9BC8DFE	10FF1E128	25C96BA85	0FB071B8E	0F09B3C9C	1A3E11441	38EDDA03D
79	396B88B2F	0029F4BDB	30D098CAD	0D54D12CB	1D0823F55	2DC53B9AA	11BCF7438	33F6EC091
80	21E03CD65	1A2FE5B92	2851F8445	0251E386C	1468950D8	1A8B39748	001B42236	26CD82DA5
81	2CEA1E6BB	006C97E74	00C2B887D	23461AF95	0E9CB2BD2	0B0EA3022	1FB56A7A3	25A7FA625
82	208FC2A1F	381C5733A	03F11D7E3	07ED6A7B7	1FEC85E09	3D61E0440	356F4B1C3	3756E5042
83	2061E47F0	22EAA0AD3	24796BB65	03C59B4D8	32A75E105	22155381B	23E5F041C	155D2D7F9
84	381AFFB73	212B5E400	1F1FE108E	04BF2C90D	3C1A949D9	2854A9B45	001B09322	3A9372CC1
85	058B23433	0904C6684	158CADB9E	11BA4B978	1854368F4	1919ECEA7	147F1FD34	2E228AA3C
86	34857F3DB	2CB44F7BF	111A065D3	1BEAB392E	27F081ED8	3E67D1186	0F6265AC5	27716FAF9
87	38EBB8BF1	32ED6E78F	2B0BA4966	2188282AA	00D49B758	1765BA752	2B50AFDCC	068C82450

【化７６】

88	234F0B406	02FB239CD	15AD61139	2250A5A05	1CD8117E0	0D849163F	268C7A5A6	22A802020
89	2D0FE8D16	0C14E3771	07DE5320C	0640C2762	1CBD9FF4E	37A91986D	2024DA401	164D4A84C
90	3225B4D60	3013B75F2	2A77AE5C5	2C25377EE	03C8DF835	346E80FCB	116B79FA5	356D2B604
91	0D55231FD	247907F31	0CFA0B049	36D069A95	10D4CDE71	1A32544D7	38336885F	173ECC08D
92	207420EAC	26FCFE182	3FE7B31C6	15B320E13	187AA34A8	1B52253BF	1FA16669D	3725A81A5
93	3C9C7404A	092B77FEB	3B9865B46	349456F61	39B7C6A66	3075EC990	01BE637DF	330897B17
94	1CA4C048D	2B4D50621	2BF917627	3EA2CC5E1	33EC0A1E3	05FE0F747	349553D72	396077301
95	04CEC1C82	1F828DD00	30122C790	1AD8A7895	1CE0912C0	298382F37	2D4D33F06	001364B36
96	37F8BB035	2F0897994	333F5F096	0F28AB363	20036829F	338017E2D	3A5A05D76	0CC02E5E0
97	02FD351E6	03E316288	2FCAEB4F8	1C5A80CE3	3D3AC3FDD	3E456746D	119A5381F	1581C894E
98	1623B3D0F	103224DB0	0FB936BC8	2EED7F082	26C91513A	2F12E4C31	290F3AEF2	392CBFF67
99	02F75DE8F	2E61A834D	02A692866	1F21044A3	2D7881A95	18651EE05	11FE3D308	39EED56DA
100	3A858659E	2F7A87BE0	135FD561D	27B3B651A	05E131CB9	0D5865123	2CD6991E5	3EE6DF705
101	3F3B247E1	32D02B245	16B98A593	1E4CCFF18	0C4A9D285	06D519FE2	023A336CD	1B20E999E
102	3A9E8B49B	239656AD1	3396D1C51	06F4DCF40	15D819D3F	2A3061144	20BD2A33E	2FFB139CD
103	38622F3AF	24BF9BB7F	1D2729010	15877B93A	00376B0E7	0FF064887	3505CFD9B	354C366B6
104	2A0AB7033	1AFA65DE1	1198D0AD6	38E80C86A	27693D541	3BB26F3D4	39154881C	0E7DD6B6B
105	1B0DE4333	27FE0F6D1	0F00B2888	0BDA322FF	2759B5A4F	0543A2D27	0C36DD1E5	04E9A262D
106	1C7E636BF	000E9C271	2B44F4F30	28255BF77	1CC4D69CE	03F4C57B2	3E926D59B	00AA39BDB
107	1FDE98AE0	0CD076B07	171124FB5	33F098288	1E0B3043E	39731D117	3E7ABC2C8	19CC50279
108	28EE855ED	2A704C371	03288F4B0	3C83E26C2	0A905148B	18C66BB94	1BCC32537	10D71AB44
109	26238A065	0FBD7BCDD	02507CF76	059F69484	3FE0D6F77	2466A50DB	3C07A75B2	2DC0F099E
110	3CDCD6CBE	1446783DA	1626C83F9	2FD4C4DF3	13A59A2D1	2C903D2A3	0FD37F076	0B1039EDD
111	043B07DD7	28D9C2155	2CCEF57A8	34254C1B7	09B933B2F	1FA410127	10BD5E9E6	010EC6389
112	345E8FCAC	226BD7EFA	27341A51C	23854F031	04C297212	044DED8E8	319B3BFB8	37DBBBF57
113	16FBEFA72	1B5EF9484	2DEE7A5BF	097695C12	08AEAD5E8	3DA7C1327	2B81F3E2D	31AFBED32
114	3484086B1	2DFA56B9E	226E8AFE5	285F45484	3E69AC8E1	1CB33645F	2DE53BC30	2F6ED567E
115	1117B5E7D	122A4D471	1AC936544	267010D71	10428CA47	24B72A000	2E27FE185	1E62C1403
116	0B3161E37	038C3DC98	100793647	1A95D8D36	399668787	06C0D4922	25F48AA58	2DFFF1789
117	04FEF7231	381910B63	298783078	30CE5EC1C	29F6F299D	3C34CA770	37BAAB139	3D2069B65
118	18F644052	2051880EC	23ADBF949	04237280A	18304E663	287364EFF	314698D78	149A21E51
119	39E14BBCB	1DBDA9EF	3ECCAD8D	1BA3EF99D	26D85CEB	270547292	0FB3C7826	0131E73D6

【化７７】

		4	3		F			
120	2DD6F3F93	0FC282088	14A143DDD	0AB840813	0B973037C	29535C9AB	0DF8DA2AC	271CBC095
121	1C1D063F9	3F4EF6DCC	00128D932	145E31F97	0B21590D1	38F1602D8	3AC2EBB74	2320957C5
122	3383C846F	12128F29B	19985CE7D	2834CBBF2	1E1513B3D	364DB5800	33EE3F46C	01A865277
123	0129D260B	238A85BA0	2D81AA924	3917048B6	36F857692	1D2F813C3	0505FB48B	3DC438BC5
124	05E0F8BDC	3D978C1F1	266F83FCA	0E89D715A	01821DEA4	12D9AE517	22F8EAC2C	3C098DA58
125	1575D1CE9	26F291851	3A7BB6D2C	12CC21A3A	2975589B0	39CF607FF	388ABF183	3D3BAAB0B
126	101E5EC7A	0B75BCF3B	13ED25A86	35FC032B6	2F6209FF0	13C7B2041	1F2791466	3A759A6C2
127	1EF89091A	11A653D2C	223FC1F42	2F7B97B31	2CA4EE011	00F68767D	10FE34682	018339212

【化７８】

シーケンスセット２（１６進数フォーマット）

q＼blk	A	B	C	D	E	F	G	H
0	20A601017	10D0A84DE	0A8C74995	07B9C4C42	23DB99BF9	12114A3F5	25341EDB0	362D37C00
1	1364F32EC	0C4648173	08C12DA0C	19BD8D33A	3F5F0DDA6	24F99C596	026976120	3B40418C7
2	1C6548078	0A0D98F3C	0AC496588	38CBF2572	22D7DA300	1CCEAF135	356CA0CCF	093983370
3	03A8E3621	2D2042AF5	2AB5CC93B	05A0B2E2E	0B603C09E	117AC5C94	2D9DEA5A0	0BDFF0D89
4	07C4F8A63	3E6F78118	32CCD25F2	1792A7B61	0A8659788	1F9708C04	086AF6E64	040B9CD78
5	2D7EE485A	2C3347A25	3B98E86AF	242706DC3	1CEF639AF	2E1B0D6A9	3E9F78BC1	0FB31275F
6	0307936D0	21CE15F03	392655B2D	17BE2DE53	3718F9AB8	01A986D24	077BDA4EB	1D670A3A6
7	05A10F7B7	31900ACE0	28DCA8010	2D927ABE5	370B33E05	31E57BCBE	030DC5FE1	093FDB77B
8	092C4FED1	268BF6E42	24576811F	09F2DAA7F	24EFFC8B1	21C205A90	1E7A58A84	048C453EB
9	29F162A99	1F739A8BF	09F684599	1BEC37264	38ED51986	286325300	344FC460A	3907B1161
10	0E4616304	0FABDCD08	0F6D6BE23	1B0E7FEDD	0047DE6C2	36742C0C6	2D7ABB967	10D5481DF
11	32DD51790	237D6ACFA	2F691197A	16724EA58	149143636	3810C6EE1	3A78B3FC6	1B1259333
12	1BB0FD4D3	235F10A55	1C7302A27	1148B18E5	04F25FBC8	2A0A8830C	3646DBE59	2F25F8C30
13	0FB38C45B	069DF29E9	00F93771B	3AA35746D	2CAF48FD0	0A42CDD55	19A23CE8F	26318A30F
14	365FBEDAC	27710945F	2AA367D61	05A484318	2563F27D9	2D37D5C00	287D18FBB	3ADB44805
15	3038BC77D	2A45D29EC	156173792	03EC7679E	07577E1A4	1B6A94A74	1D26E5A94	0FD878D5A
16	1F22158E4	3F02A1D37	2767EC03F	1C8CD535A	23DA2E5AB	2D5F25A59	0971AA889	3E78C1846
17	16521E709	12C2DB8FE	3A596C221	1562D5C27	1D9E1F39A	345B96872	301C7894E	2797F032D
18	2EC951A24	1ED768F3F	11217930A	39DB44855	36E41B3FC	0F6E48C44	36254C517	14493C673
19	3EA159E72	24ADE96FE	3458C73A6	30674E1FB	242109AF2	24DAF32B6	24B1EDFFE	291CB9D15
20	2AD0E6696	04F4077D9	1BB279A53	38957605B	379B7A6A0	0BAD35616	1285EAE51	37425C7FF
21	083637980	34F2ED66F	282846A88	19D5E40A6	21205942C	27AC551E9	0F3F4C262	0505FB522
22	3E7D64856	1DB0E599E	159120A4B	1FC788139	235C454FB	3CE5B67C8	339EADB32	0F9F7DDC1
23	3956371B8	1D67BE6E5	1EFCF7D53	041A5C363	2E281EB3F	00AF8A1ED	2DE24A56F	1332C0793
24	0818C47A9	1F945634B	1C5ED3403	1043B5BF4	149702D22	024CBB687	34B01FA8B	1E9F5992F
25	3A6618167	3A0007886	3EDB5756B	2F2FA6FCD	21A5252B8	396FFAD9D	05347B60C	2E0ECA200
26	0D45F89A1	3F9C2C26E	1CBCF809E	3CBE5FCD0	3D2DCF245	14F351A1E	224F5B3FF	2AA6ED34B
27	3BA85ADF8	282005732	3AD7C0223	2E73D1800	23DEA3F46	2275280F6	1586270F9	0CEF4287B
28	07DFE662E	314B74F2F	397BDDC4C	223A8071F	1F5BE3BB4	093BB1F33	0FCA2D129	21B3526A9
29	39FEADC12	0ECE1CD67	206228FAA	38FCCA606	0C5EEE08F	1C1BBDD4E	1459E42ED	11FD64ADF
30	2735FFB20	2AE9B244A	1A5AED974	38FCFD5CB	20310DB81	1C5FC3E24	19FB3BA17	3785BE865
31	24FF6B7EC	01C682673	19CB14113	2C8CD3C2A	066725853	02CD0A23B	279B54315	0CD571063
32	015E28584	30B497250	127E9B2E1	2C675E959	05F442DEE	394AEF6E2	079E5C840	12703D619
33	3CE4B1266	35270B10F	03549C4B3	3B3E6C375	1DBEF270E	0042C9737	049522EC6	24961653E
34	34176CD90	2B5E9EAE1	1C95E3C2B	1EF541D4D	26D1450E6	3B9D895AB	1B0C84349	104B6B428
35	07A813421	2B39EAADC	33553571C	0F8046CDF	2CF6A7F23	0AE3BE8C8	308BFF531	2DBC0F9E3
36	168276972	2CF41744F	3CF2512E0	0F8B68ABC	2E609F6AF	04E03AC8C	0F9B66F49	3AFE28736
37	03456021F	1982574F3	0BB2B3F49	15A4A1CDE	15487D58E	2907C9ABB	15C0D2D73	28D8CFEC3
38	3D3FD677C	33AF2628F	3D217FDCF	30027E85F	0A463F23B	2F2AE8324	1D1E945E0	2EB355D28
39	3BCAF9076	3A7D2FF70	3C541F38B	249BD8A94	287BC4833	141391EB7	05B6443D0	2FEACC5E7
40	275F118FA	3A96B346D	0C713CDE5	02F394A28	3EBB1D18D	1BE7A9FDD	223C53CA1	2BF040F77
41	1161DE4F5	0544F9DB7	230847E45	322AF4E17	26944A0B4	3299F1420	1C9405B8E	2DBABD4CE
42	33165C531	268FE9B9B	081A914B4	39100772B	27DBF03E9	3E3A18AB0	13F2D2B83	2CEEE5FF4
43	275F97006	0A578F2EF	16CEE7EC8	38A5B0084	00DC9A1F5	1B88CFA3D	0D8B0B8EF	29FC4CCF2
44	04BBE4F2C	1546C3988	237105A43	339042B36	3A5DEBE2B	1BD09449D	38EFF588B	1CDD3A6C0

【化７９】

45	002E32D38	1E85D3125	3F51120D7	00420ED63	3384713AF	1D941BD34	2B39EA9CF	05B6D9E94
46	2B3100F7B	335EDB2E6	1AC8C8EE4	337FF7139	0672D7995	38A54856E	0124753F2	3A3560851
47	046207CE9	0FE1BC312	09BA5B289	39376EF2B	33F826C2C	2F6531496	3933B8616	23125B50F
48	3E5849C45	01EEDB390	141D9A024	2DE07E565	1813D12BB	36DB8D404	0E8A272AB	3A66B71AD
49	1A2A88A4C	3F0C9B4DB	266CFBDF9	163420CA5	281ABBE99	34771C295	3AC051848	3C53CB875
50	16F795184	3466F1FFA	1F433B456	1DDF13810	25F58CF69	1DD6CFE4E	10A236FDF	12AE697ED
51	1C8D17F4F	07C43B7D1	1C8DAD395	28F6C112E	3A336ADB3	0EB6889AB	2783A6A1F	2CDA40458
52	16044624E	252AA04B2	11484E85C	07F5024B7	286E3A67F	2EE6BACE4	277F1F864	22F3CF57D
53	2D1A3F4CF	0EEB6DEC1	30CD76F42	20403D1AC	3A72EF9D6	1DAAF2A39	03AB76CE0	0A2856267
54	0FA2A786B	38273EDF2	228A45016	0309DF52D	093BDAEDC	1B11E9300	1DA9C5324	03365EB1E
55	24DCFDC06	11CF909D6	2FF693F4C	366338F1F	22E641569	0ACA60D55	32D1B009E	035472E09
56	17F5D6662	062FCF913	35B211035	21ACE73FB	3B4148706	2D0CD106F	2CAB457A4	103E1E49B
57	21859E8DA	2F1E3B3D9	1F1014BE2	062A3DEB5	354C0C786	05A8982D4	35A758943	346EBA72A
58	00CB49E5F	211B1034A	3A5D2DAF1	21D3F3EB0	24B2D1150	1097C3685	2AA3671CE	0E5DC1308
59	24C8401BE	217B1F994	1FB9664A8	3D5057708	05A506088	1314842B9	3C8657064	14B1FA77F
60	2AD698E2E	3C129D1F6	2C744FF4E	1C1C052F8	18C38A9FE	252168A10	2EB68D098	3A001CBD2
61	2AF71324C	2BF41D408	0FC498E18	149A1A407	0FDC2C4A3	19D00C4A1	0F6B0DD29	268CF8E86
62	19F4D82A5	342C73FD5	0F5AEEDE7	21A2A8953	15ADB7A94	11DBE038D	0A5B6634A	0FA382B77
63	0A5985778	35AC3032D	35691C85D	2829D55EE	04A3FBD8C	2C85BFA8E	0F459B864	3E878F0BC
64	10C785EB0	054D4CE18	1BF657A8E	101DC64EF	0B4E3032A	24ECFD9C2	00C98BE0A	2A1F82444
65	300E8B09C	31A079FB3	0C41DEC5F	216CCFE4D	226C5A693	3C31A41DD	3A019974C	23B64EAFC
66	249BDC80F	0316ED79E	1E42B5567	0CFF04A4B	310678543	34D986980	1E3195429	280966E65
67	359A72B64	186A3999D	065825DDF	2D28E6000	10964C1E1	1468C970E	34C8B606A	33CC94DB1
68	370B29C05	12841A9E8	2147E7160	1835345EE	06DB43F37	33854A725	065E6614C	151E2D7B1
69	0EAADDB27	004EC6DDD	30AA39B8B	2AEB34AD4	2A13D6649	00EC67B83	1176417CE	0E3683151
70	0832BA87B	3B67515B9	0FD34BC87	1688F83CB	370B52AD5	3A2CD6F3F	3343BF461	37BD48546
71	16EA2751C	1799D9C42	24055CEC9	226A907D4	133C68F80	22CA03BF0	05F723395	2D35008AF
72	122A5C67D	3E46230BC	09F475BA9	15B4B6754	11DE75C50	28C17544F	1D85FAB8D	0D5AD9537
73	1C5497CD9	3D405F487	05535D737	06952087B	1C4744AF4	3E0EF881C	3CED3D1BB	1D91157CE
74	1D276153D	14604EA77	1661FB979	3BAC5E9FB	089F41406	283154122	2AFDCE892	1FD5E0810
75	2A620F4C2	0DE484180	2D05E6458	3E6D15A27	0A92FF0B7	2CBF7BF53	25A2F28FA	19A10CE02
76	3A77B1FBE	2B262F810	2BEEA0F46	39706BBA2	09257163F	1026D5D74	2E2483EBF	1D6527C1E
77	0DC1EBA02	383C59C77	28C7ED115	06FED31D4	16F610DC3	000890B82	2FAD16A3A	35C9AD95F
78	3E5C1EBE2	3C65A7691	2394005B6	251B1BB49	1F42BFA23	0E8608C07	24666F55C	11A5214DF
79	323E882C5	2DBFF5E13	3638BC43F	38CC5CBB5	1DBF783FB	0499418C7	2285E5A40	1A61D17E7
80	1E508F19D	0CF345F97	0E5648601	0A0951DF3	1194EE717	0A6C0B374	03C4E19EC	06F725799
81	0B54F4AEF	186A12343	04C4A60C6	27C2CC0E9	3973075A1	392C5EEB7	3933C99B1	005F98CB2
82	021B6635A	3764D0696	20942B266	0155C4EDD	3FDBF7497	37356D442	374F3DB06	2718357FE
83	120DF6F80	0E41F376A	03544C7B2	2D6795EFD	29E8811F1	1B3EFD388	01CA4C48D	2067E8033
84	07703D649	35221AB50	22141A0D7	268061A59	2D9192B05	3834711FF	3A07258C0	36253B5AA
85	1C4A564C1	26804247A	16A4DB29D	0BEF93C88	37A3EAB6C	25547B136	3FC935878	250E3BF1C
86	17049BB43	0D6426761	2BF3A471E	1665820E9	14412A13D	30D5744B0	2ECE5CAE6	01395189C
87	29615B890	0A2C5A664	216DA64F4	3D4AA9D2C	07B98342C	2603F0D76	0574BDFA8	3F9B35D5D
88	3A0414B22	0A8BE885E	155C220E4	2D3B17AA6	3017E1B48	26508C6C8	3FF25EC63	240EFF072
89	2ACD81CE3	0468D7943	2A4108121	1F2E8E67F	3AB446179	33325CA24	3006DD3A5	1A33F3A2C
90	2B038BAF7	070660C4E	30953C7B7	3E7375D04	1D6A39944	001BE5C8D	199A89253	0A82087BB
91	03BF7C836	2CBF9FC48	38EAB1C98	11C303993	3D748807F	1EBD41D17	351085EF2	1C55B94D3

【化８０】

92	116E0BE61	17BC8C403	31BD1EAA2	1CF87C049	2A41CC04D	3883EFEC1	3971BBBE2	190CAE3B7
93	172799BB5	3301DB193	2480B569B	34DBEFE9C	003287827	38DAEA1CB	0B0E25BB4	1972B37E3
94	3EF1F9EF4	189D8C3E0	1941998D3	259838BC9	28E545988	33BFC60D8	3572B10F3	197913B6B
95	24CF96D66	285347801	22BC70E5E	394231BCC	077583F4E	0364420AF	278FBF5CB	3850AFC8B
96	1B38C4A50	04439E0B5	3A7BEB18B	3003A36CD	329D5A2B6	1BB123AFA	049C2CC94	0F604D1DC
97	28D47EF33	24CF66B6B	24B716FA9	34ED7F6BB	186AE44B4	1380D0726	1CC51324E	16BA74F62
98	04422E60A	3424BA16C	3FF1B39DD	1A1E658F7	33457317D	14E822151	3EC02F279	28593D11D
99	0F2DF0912	21BBFA838	32D634EBF	2061148FD	09A565B74	2BCE430B7	34DAAD9FA	228ADAFE5
100	2D7EE0544	25D57B7CA	0FADAF20D	19B4F6444	3A75DF1C1	0AD3EDD56	0A4D61EEA	28C1262A5
101	1B6AEE253	0BFE02772	24AB19547	186A377A5	03089B4E8	128955F60	3A8DA9AC8	2931648B3
102	21BE0200F	00F34B4F5	34FF3261B	1A0E27AED	0A821AEFB	21B0BA404	1C6A644A4	1734EBB33
103	201FBFD73	0592E9D86	053D87C9D	3CAFC7479	22F1BA3FA	3DB25DD15	31D468990	22FF2B539
104	06C77404E	18AE64252	3963D899A	37179C03C	0FD2E3D04	191E64DBB	380B841FB	368E1DEAA
105	3A561759B	156243DE8	04325D217	33993D0B0	0CEAC2109	002242D1B	33C1D9F5E	1EC4195D3
106	17D7A9B74	1F44ABA75	17B572FE3	096008B9B	1F1E00AAE	05489F7A1	17A4C131D	1C018E923
107	0A4ACCEC8	1F294A30D	19CAEE64E	002787A1B	03EB3238D	27C10F626	1C9E656A0	3F73609F0
108	1E0E3C802	1B52D12AA	2F4E003B7	23BA7A6F1	3CAA0998A	32E96C916	168EFA1EE	28147EE33
109	1CEC9799E	215D9302B	176BB6639	003D5E371	12FE4ADB3	3106B64E2	001D9C28E	0F39059DC
110	31570792D	2260D7FEF	1AC830374	118FE7C78	08F982159	23BB2B13A	2C7944305	376396F3C
111	2D340540B	272E94D06	097C70995	0E70DDADA	1DBD644E5	341A72A58	01CBF5334	2C7999AF9
112	3FF17764D	0701DFAD3	146BDBB97	229D2D7F0	03C5DA21D	3A5916EC7	2390AC01D	197D64233
113	3E9759D5A	00B237425	0B7E646B9	190CB4D16	2646AA1D4	1A373103D	337E5EFB1	0199DE4A1
114	3FD5ADE8A	26B843860	0A2D0AA7B	3C351E07F	1B25376AE	05C553CDD	1DBC3F38D	019823A2A
115	30FF187B4	112F9D7A1	1AE977517	3760AF555	004F86368	3700975C2	0518029DE	032427D9B
116	3A86D49BB	057E649D8	2FDE33D7E	31254217C	30E05CE12	10BCC1CD7	1889C5139	38A163ECF
117	2610F5174	02A7ACB27	208B84FF0	14609CA80	0F3526318	38EBC7384	287C57BAA	279661A9C
118	014F6D77B	1036B3D2C	294F1999A	33A059187	26CCE0507	180DF3129	00A6CAE22	2AC0F23A2
119	347C62997	1912A710D	2260C531F	2F54BBEBB	0A2D90305	1BBEE20E4	0AF79997E	2376F3D0F
120	04484EB82	181977944	1C1CC2693	227ECAB0F	23F32982B	19E2F290C	1BA2300F8	0EFB06247
121	0EC048AD8	3B2168495	34FC02DA1	2C0CDEF52	0553CA222	25DFA4581	29CF66B6B	0AB9C21CD
122	2AF502148	3B00632F9	387CDC4BF	3F8B9F716	19084CD65	0354918C7	39D1FD9AA	0F5ABDB77
123	2C6E2557A	3E8A19D6B	3E6756A28	237E6E5BF	24CA57004	1D52401AD	0237F1D80	0FB2B335D
124	228F4B540	07532BF5D	101F67F52	29D8598EE	0421A0E23	2D89C2AFF	0963D2F3B	24C472A63
125	0CF3598E8	196A40BD2	00E63B26D	088A0BFCA	1C78E9016	03835236C	33071A836	3949DC586
126	3E815D747	1588D4E96	073C8D44A	303281AE4	095D31EC8	1F10F69DC	200F057D8	1F270128F
127	34F9ACB6B	384870FF1	257A863DE	34B36BA0F	3FA3D216B	27425041B	0E0DD0BAD	2E95AD35D

【化８１】

シーケンスセット３（１６進数フォーマット）

q＼blk	A	B	C	D	E	F	G	H
0	13F99E8EC	3CF776C2A	3300A482C	0B2BF4791	17BECDFE8	35998C6D4	05F8CB75C	259B90F0B
1	116913829	05188F2A4	2DB0A8D00	2F770FE4A	185BE5E33	0F039A076	212F3F82C	116635F29
2	004EE1EC6	18EF4FDD9	26C80900E	1A63FB8A7	1DAA917D4	0E6716114	02690646D	0CC94AD36
3	06D4FF377	2716E8A54	16A1720C8	08750246F	393045CCB	1DBCCDE43	114A0CAD6	181690377
4	3DC4EF347	1F53452FC	01584B5D3	11D96034F	1FA62568E	11974FACA	191BE154D	397C9D440
5	05A1B6650	29835ADAD	2F6DDABE4	0976A607B	11BA92926	2456B1943	3E3FD608B	095E7584B
6	00CC66282	0560BE767	21EBAA7C6	2D8E9ACE3	198A9E285	05F3E73DD	13DA751A2	176B75E43
7	03D08ADC1	2254606FC	3C695D892	1DA9E0280	2CD4FF589	19B78A5A4	0CE67A7C6	12535A61C
8	0984647CF	0822BA46B	3EB2BC076	212596F54	11CC2E64E	120BADF9F	0DA72CEDE	30D0E106F
9	083CE5726	1F05DA925	169D93EF6	1FCADF3D3	08A5CF0BC	317C8508F	19BDCCFE7	0FACE3631
10	27583A466	1CB1634D5	03C7849F7	38C6CED00	1161C173A	15A645D3E	281A7ED92	076ADA797
11	33BA1AE8F	187F578EE	32473D69A	2458B703B	267E59071	0F317883B	3E7DEDBF1	3B9859BA7
12	0322609A3	20C4C957C	3FD638746	3FB716D79	36BD0CF1C	333B11B8F	0027ED1F2	3E7471BF3
13	3529922B1	0ECECBE04	1980B9B9E	38D60363F	18904BCED	108E3E5F1	34B95C446	338F51DAC
14	21FD50527	0EA2F7A31	1E294A159	114734A02	120B90BF3	3F3617C92	0129071E2	106640936
15	2B59354BB	275BF9761	39C6FF332	2004B3902	053F9DCB0	19D79A902	2B3125038	20649B43E
16	03A8A7A2B	091AE6721	18651FD9E	1F5415ECD	1B38EA62E	07FB0F422	3EB58896B	077FE4C7C
17	06A13CB38	340099B18	2AE6D6385	1669631F9	28E51A676	19A023391	261855F39	3E518F0BC
18	2A88F831B	09D295831	294C468DF	1477F0A13	37725C6EB	00E7DB222	27D610157	349A8FAB6
19	163E1C44D	3F98B6F4A	1805538DD	01EE3DB4A	22AA1797E	27568753E	16090F219	2C9838C01
20	34B0543DC	121B8EA82	00873B4A0	220FE7C05	2EDBEAE34	1104BDB93	0711E8C0E	0E1C107BD
21	226183AFF	15643DE71	04A4CDECB	2E67FDF8A	26D2A6D40	25E7695F1	1A99778F5	20FE0C1A3
22	0F7EAC09D	12BB72B2A	182E44301	2962EB85A	3477C1B69	3E3CF56F7	29C9D00C6	39788600C
23	31084BEB5	1DC90E345	391736CC1	3C8292AE1	38A0D515C	3977012F6	25D1F6055	36A7D3F8B
24	229D3ABAC	1044BA05F	0C391B88A	0636A90A6	0B14322AB	21ADC33E4	2DC1A3BFE	0D7FF6D1F
25	33C85B393	37BFA31B6	134F872F0	0C5EA36E1	286956ED1	1632092FA	382B4BB10	23DC3EF14
26	38E8B9BF6	0A0CE666B	207D98054	23FF360AD	121BFDA4E	347D442FD	242922C07	23C6E4115
27	263EA8516	36138BD6A	0ED9C55E7	3F0937876	03232BC24	18E5FFF26	3530CF206	3981B7414
28	1D9AC2E79	051B220E9	3F3B09EC8	0D3F6C366	0201A7CB9	3D5477092	22185FF9F	1C5AA5348
29	208D85694	22104E7C5	14BCFD3DD	3592DF665	1F4EC3265	24358076A	2D20A8000	017F2D489
30	36B3A9A2C	3F8E0F162	13ACDCCF2	16951F727	271E73555	1B3EDCDE7	162B45352	1CAFA635A
31	2D30FE705	3EC9BFC8D	1B10F8349	34F973F31	1CA96A349	1A28B4543	1C5367CE6	2DFAB0AE7
32	21D93EB5A	0E49D6211	3C6FCF774	09F44CACF	2D8CD2BEA	037DDAD3D	3BBD06D1D	39CBB996F
33	159B1F948	0183E8DCD	3A484866C	21F8DF1A5	219A58193	2D1B3C399	2275F19BA	0EFF4C612
34	22EB93A82	15047E272	15428D77B	38FFC612E	20609BE54	3226C8254	3E5568DB2	159284EED
35	34529707C	2E84585F4	20DFFB4C5	28288AA00	10EFC1E07	3C4D211FC	379087C3F	25716A7DD
36	20106354F	22AEB9FD7	3A6BAC67D	3126294C6	0FBC874AC	2DFE5675A	391B1DDAA	06BAA74D8
37	348F831C5	2E44BF3C2	3D9F6F454	20746A30E	08D183029	35C6BFEA7	2729B552B	263BB2EBD
38	202D7F08F	0DBE1C144	132F4EC09	184CD9B93	2596F5884	2A55B8217	2BEAE02D8	235A19A43
39	2DDE3FF5F	23932555C	001ED92D7	22FCD3D60	2C0737593	0B27E62FF	0693CFBDC	284D5B33F
40	1DB9AB8E9	2995EE0A1	1ACFE9892	0D41BCB9D	2E3806507	25CCD5D60	3536DF04C	0BB0A5E3B
41	3FFD4DD82	3E69CC1C1	2BC30FB74	3462F70FC	164FAE762	09B83F8AD	1DF593F3C	2DB478034
42	16E24E9B6	0A9FCFBD2	3A018544C	1ED8E2855	0037681E4	05950E1F8	1107DA097	377A25C65
43	03C9318B8	0C70A7749	0D58708C2	0CA2808C4	219E02554	39315B2F2	2E089B00F	302E135C7
44	04DC211E8	1DD20A505	21A50649F	2CA438C04	39CAD66AE	2E1BD969F	002748760	069924211

【化８２】

45	2E84BCF09	226F5D43C	37BE7EB10	07CDC854A	06FB50D48	08966435B	01BA5E5D2	1D34057FA
46	2D8DFD565	0A30D633F	33F93B7C6	0B330E9D2	0E659B262	130669024	19A9D5F64	38059132D
47	17E4777AE	1308F9046	2F7C0483E	1859E0943	0982C9101	05453D92C	001F53877	388A571AB
48	00D29CC63	0A6D3BDED	1CA44D2AF	388C002CA	2A3D70EF7	2DD3F5A6F	39FEAF0B6	11DFE385F
49	3E3A6CEC4	122F5E8BE	360B96301	0632CF244	2E8985A9F	0FD256C87	0449C29D4	26B713C90
50	238150687	3D96F7F7B	0091E6D18	21802352A	02F7A466E	0A5BB6648	350DA85DB	1C97F4544
51	306BA76DE	379A88697	3F0DA31E1	0EBF48C71	27F8A46EB	3F75A19F6	277002F97	275B43715
52	24D946CC1	38DF102DC	3EFE1F5B3	3C316E148	2735B20CF	0688E430F	0316DC923	24919BEA1
53	0EEAF72D2	3C7248573	1087A7BD6	08EDA9BF6	2B5D97BF4	26733DC60	1190D275B	2EC7ABD30
54	37C6AB63E	2FFC9C790	02CAA37A7	1B34A3F84	0022CD5F6	3ECF891BF	193D545E2	0172C674E
55	0848A41C3	1D8150EE7	3D8A8549A	2595F707B	00640B276	2D44EBDAE	1CAF37453	377EF590A
56	16B7A5F7D	1F5AA7998	382300A8B	218916E53	19D00E728	1EDA11790	0BBDEF9C4	1DEB15796
57	3EFB3368D	392AA88AD	29CF3CACD	03F59ED8A	1042098CA	1721B8F3A	2B5DE9312	0CB5E6F23
58	1A8B0FB9E	3FBC09C8B	3D7F3E248	034C9BCB5	1BDD89300	3392476C0	0C10AED4B	23BECA42A
59	0EBC749B6	33453C7F6	304735F5C	334628143	1DAF6E7A9	11BB9C393	226C5E4FF	170372039
60	3F9262CBC	0693308C8	21B563415	09BDCC403	0112C79D4	2DA9F1134	36AA1CD7D	3A1608BFC
61	218AC590E	0FACC734D	02132C9A3	27087557E	076B3ECE7	2EA16BA3D	0E1D452F1	3F70B027A
62	004F9DC68	25BE3AD9C	2CBD3C07B	3F9DECD71	3E771E15A	11FF2F24D	2AEA5DF67	1E838955D
63	3A04BC376	1D19254F1	00F92DD2B	3C57484F3	181D0973E	319F9CEEA	053ADEEDB	1A3C22150
64	0F78BA6BC	2DFE0E681	3035BD77D	0A0FFD148	275F50C66	2246E9053	27B2BF3E9	1741894F8
65	1ACCD0F79	22F0AEA4F	32796ADB5	134A4A876	183D989E3	204C4BF97	22300E86F	3F18744A3
66	3EB6E19EF	1B24EAB88	2E318F810	3F07B618E	26B4C0C87	31CC10EA8	169E1B650	017DF88ED
67	2BD9E8FED	0AB104122	30C9D81A0	09EA73C7F	141357B1D	000A7DB48	1DD06FD41	0AFA8EF72
68	19CA5678F	28A89AA43	1DB945917	262AF69C3	3145A4473	3742CBFF5	1BCD965E9	1B0E7FC84
69	077838B25	2BF7032F8	23DC2E014	028544277	37B411B5F	392FF6CDC	1D66F2BE9	011372DA0
70	39596216C	05A651F63	183A6AE26	0D1FCA203	0FF6F0D22	2FEB8364B	05A438ED8	32D045F13
71	3711AD513	290B237FF	20E2A9B26	0C72A0234	2F1ABBE93	19B505378	354ED915D	0C359F272
72	1D7786BA4	1CCDF053A	36828B333	0ED27AFB6	241326FC4	1A9C37F8B	0A9C3C372	05937E898
73	1053B9CDB	040B97B1D	0D4FF481D	23AD465A8	2906EBDE2	0C4F6C09D	2189C5FEA	2D90D305A
74	39073122B	35FEAA236	1B38B7A90	2E02AB9F7	219FEEA0A	36B3B2EF8	39A3F4C8B	15A42C9DD
75	2C6326A9E	33F7536C1	2A120C75F	37030CAA0	3A011882C	098C8504E	3B92D756B	175811CF9
76	38A0F736B	2BD9E9C32	3B989715A	2A646ADF4	2D02FE38C	11AC7E9E6	3F5464862	0F382B0D8
77	26897D80C	145B21D3E	143F5E320	30549707E	28126710C	122CA92BE	3AF47270C	0B544128F
78	00E931208	2E1E75EAA	374C36E5F	21724DFC5	1DFCD2028	1B3FF774E	3A826A68B	1781CDCA4
79	0C3D7268D	0B7A26BF9	1587CE5CD	1D04E1E60	36240C07D	1AC403449	0417F9622	02B9F8BED
80	1B569F488	08A3F3A46	377F03A18	2DE416045	1ED96E381	33F4F16DC	2C8DAAE4F	33E384AC7
81	13F709786	02A4E32CB	14C7F849E	09EA16987	06C849EA4	219E4B995	243CB7F07	253513BC6
82	09B83FDF2	119D60439	278290BFF	2483E6F2C	0EDEC175D	242A669C1	3EB639EF0	31EBB4CA0
83	22CAEF0E4	0B2FCDED0	19BA79607	343F81C7B	289AA213E	358AC9FFA	23956ADA1	00BC725E7
84	1186F95E3	2F95F4048	3CFBF41E2	1D1E4BE96	26B38BA65	2F715E590	2235C0029	2C89AF93F
85	33437ED6C	12F14DB69	2E70F5611	183752704	142BC8B34	3B90ECD86	1C11EB493	1022D4782
86	248457F60	05B9A28A5	0A2A5DD56	16002D9E7	34C87FB16	2E32BAE0C	21065BD64	1CCE92BB0
87	1DCE3941A	1D940ACE3	30D331B98	3D5A3BAB6	119791607	10FB0D788	2C78E9015	100B598E4
88	39C0BC811	1B886594E	27AF50C73	2DCEA05E6	0805EDCA9	3A5989B08	18AD24255	1683B7CF2
89	186A3D233	09E8B95DA	1ED9F3DBE	1B19A74F8	356CA7443	316C9FBE9	3F8A3162A	3A0BC11CC
90	02F039B63	2F02D3E75	0F5B5E89E	3D062255C	222C6AA4E	25DEA06FB	39488C071	139318BFB
91	27B5B6EE8	22154E0BD	3FF7729F1	1052B1947	3D477BF2B	3EDB6745A	1B30CF849	030F84AF4

【化８３】

92	27B2D40BC	01EE5E9B6	24B0ACF84	3370F65E0	067D8DFA9	1C01B9327	26FF8FDB5	3809C0CA6
93	11F581193	07B9B7A7D	1CA56B4A3	3D088CC6C	11D52C38A	344760F0A	3D3AA336D	0118CBD93
94	096990784	2960D1672	3BFD7D847	2BC297EEE	32168CF28	3912FFF6C	08ED9BAB1	34452C6E5
95	02CD48DC2	186403849	24C6EE1EA	12ED5268A	2718C00E9	27E8F18CF	145913E2D	0B09009BB
96	06B97DD08	2880C9B96	37EB87E03	14C4ED01D	17041E5DC	347A412CB	088CE591B	0BE926B22
97	116250DF7	1745B4329	1102B7093	1CA549C5A	25244AB6C	374E0F19B	274F76015	0FB738F16
98	12841B9E9	1F9C4AEEB	1445F0C98	39FFB6307	02AB688E7	0FD8B499E	28D533072	138F162EA
99	22BD9525E	2030E58C6	25F2CD033	157D93437	1442E92D2	3D6EE9DF3	3CA5B469D	0588A0FAE
100	0FDEC177D	2606157BE	2224E556C	0C6F33897	0F830DE1B	3C3F9C1D8	2AF576923	0D4173E27
101	376EF82C2	30E3C582E	0A82DE29A	1B8D454D9	079ACE6D9	2579984C6	392F28400	24CEAEDF1
102	1CD4AA9D2	1DD6F4DA5	3485B7150	105DE02F9	22168E0FA	24F48AA6C	003771A39	306890843
103	1F8303786	2C981AAE4	0819F22E9	0A1D88D55	3B4C012FD	0214CDF52	19DF3BE8F	02364E19A
104	1364A15C0	16E9F9961	17E598810	2654E5A2C	09B43C7C8	3A5E2AF45	14FC71E26	2B4BA69F4
105	12E128BEF	19166342E	04A1404B7	283D17B66	014836F64	13BE0B4B5	2F8583C08	2B19A7FB4
106	19F83FDE2	361D25170	36354011B	3FF4EC74B	1B2128FF9	0C849EB1B	096B991D8	1CA7A74AA
107	32E0BEF35	11A61714D	34C56D40B	0742C52FE	00ED2F1C4	3997FC7B7	06E414374	180DCD64F
108	18399ED59	224E6C2FF	3450F1BB7	27A1CA959	21B5E00F8	13B67DAE8	0B14C022E	0E41BBEE2
109	318D94D05	2EBB53B17	331C3E6F4	0FBCD71ED	380FF18B8	3E3C75B26	0E0088A18	17553D2A2
110	37AC7E5D5	27C9EADFA	3FC47B5E4	38699BB57	1564F8B27	3579C7FEB	13401BD88	0DB519DE0
111	0FF4D6F22	3C84242F3	2DEAE40AD	305F320A5	244CB97B0	0892DA905	3F09D5CB5	332E7DB02
112	31479E580	1B6AD13E0	16A1CF9E2	33A0A119A	1AC8388E9	3D4105F37	226501835	27AF1310F
113	1CBDAFE39	3E5A30C1C	236E9A029	063430D97	0CD91A825	02F335D7E	1989FE0BE	13C4E2A20
114	10B393370	33CB79316	2CEB44FC0	236019420	248F95ACB	35034B6F0	365691771	34A8FBCB6
115	25463FC5F	082FC0ED2	038ACE1CC	3E959B49D	21B8C04F5	08633F3A0	3A5D18159	12B3EC4C7
116	167B32C3E	06FF88387	34C3F468B	3239005B2	121C913AF	21C90CE16	28B54D557	3811CB0A9
117	221BD0503	0AF619499	21F8D40C1	1B3DA7AEE	3FA2E3B05	348466C50	10F12A28D	0E70B26AB
118	1D79A57C5	315D2460F	1402B8222	28DC66FEA	1BCF748F9	2AD5D4227	0094D2CAD	25EA22A58
119	062B39CFB	310E8818D	0F2D0A235	3F6468866	33F86F342	39CAB5BBC	2E7D6A8BF	3E9218162
120	2FCDEA0E0	1BDD766A4	2827B99BB	0B5F04CC9	1C9E02A9A	1A6675ED4	033497A06	07D4ADD44
121	3CD46CD9D	311A64A85	24DDFE6FF	3411C6FE5	0D0613CDA	0E9276056	178ACC4F8	23DEA3CB0
122	2762D6A40	306FE3843	1402589C8	382B07654	160BA3DEA	3815B54C8	273960105	2076A15E5
123	1C593A744	1562487F6	0C38617B4	2CA68266A	071C4BF93	2593F0BDC	1562436E5	199BEEA49
124	35B8C7503	278F57EAA	34A804061	19C657A74	385734710	3FAC27628	0707BED4E	32F20F45E
125	34994C46C	1C6B99499	1AF24D850	11AD795D3	19288BFE9	1360C1B96	3B5D8DBC0	2554E72D6
126	22D7095A4	34B70502A	3F0CB27D2	04FC214E6	24C0B80C5	03D6F4DC8	1432A099E	26300D70E
127	21C33416F	18B894695	3AC062614	3537CF601	00A20A8B8	1CD10BAF5	394DF1DC0	0925851ED

ここで、ｑはシーケンスインデックスを表し、ｂｌｋはシーケンスを構成するサブブロックを表す。

【請求項２】

前記第１シーケンスは、ＱＰＳＫ（Ｑｕａｄｒａｔｕｒｅ　Ｐｈａｓｅ　Ｓｈｉｆｔ　Ｋｅｙｉｎｇ）タイプであることを特徴とする、請求項１に記載のシーケンス伝送方法。

【請求項３】

前記第１シーケンスである$W_i^{(p)}$は、下記の数学式によりＱＰＳＫシンボルである$w_{2i}^{(p)}$及び$w_{2i+1}^{(p)}$に変調されることを特徴とする、請求項２に記載のシーケンス伝送方法：

【化８４】

$$w_{2i}^{(p)} = \exp\left(j\frac{\pi}{2}\left(2\cdot a_{i,0}^{(p)} + a_{i,1}^{(p)}\right)\right)$$

$$w_{2i+1}^{(p)} = \exp\left(j\frac{\pi}{2}\left(2\cdot a_{i,2}^{(p)} + a_{i,3}^{(p)}\right)\right)$$

ここで、

【化８５】

$$W_i^{(p)} = 2^3\cdot a_{i,0}^{(p)} + 2^2\cdot a_{i,1}^{(p)} + 2^1\cdot a_{i,2}^{(p)} + 2^0\cdot a_{i,3}^{(p)}$$

であり、ｉは０乃至１０７の整数を表す。

【請求項４】

前記第１シーケンスは、ＦＦＴサイズによって巡回的に拡張されることを特徴とする、請求項１に記載のシーケンス伝送方法。

【請求項５】

前記第１シーケンスは、ダウンリンク同期のためのＳＡ－プリアンブル（Ｓｅｃｏｎｄ Ａｄｖａｎｃｅｄ Ｐｒｅａｍｂｌｅ）であることを特徴とする、請求項１に記載のシーケンス伝送方法。

【請求項６】

前記ＳＡ－プリアンブルは、下記の数学式によって副搬送波にマッピングされることを特徴とする、請求項５に記載のシーケンス伝送方法：

【化８６】

$$SAPreambleCarrierSet_n = n + 3\cdot k + 40\cdot\frac{N_{SAP}}{144} + \left\lfloor\frac{2\cdot k}{N_{SAP}}\right\rfloor$$

ここで、ｎは、ＳＡ－プリアンブルキャリアセットインデックスとして０、１または２の値を有し、セグメントＩＤを表し、N_{SAP}は、ＳＡ－プリアンブルの長さを表し、ｋは、０乃至N_{SAP}－１の整数を表す。

【請求項７】

前記第１シーケンスは、下記の数学式によってセル識別子（ＩＤｃｅｌｌ）に関する情報を指示することを特徴とする、請求項５に記載のシーケンス伝送方法：

ＩＤｃｅｌｌ ＝ ２５６×ｎ ＋ Ｉｄｘ

ここで、ｎは、ＳＡ－プリアンブルキャリアセットインデックスとして０、１または２の値を有し、セグメントＩＤを表し、Ｉｄｘは、０乃至２５５の整数を表す。

【請求項８】

前記第１シーケンスに、下記の表に記載されたブロックカバーシーケンスのうちのいずれか一つがサブブロック単位で適用されることを特徴とする、請求項１に記載のシーケンス伝送方法：

【化８７】

ブロックカバーシーケンス（１６進数フォーマット）

(FFT, number of antennas)＼Segment ID	0	1	2
(512,1)	00	00	00
(512,2)	22	22	37
(512,4)	09	01	07
(512,8)	00	00	00
(1024,1)	0FFF	555A	000F
(1024,2)	7373	3030	0000
(1024,4)	3333	2D2D	2727
(1024,8)	0F0F	0404	0606
(2048,1)	0F0FFF00	00000FF0	0F000FFF
(2048,2)	7F55AA42	4438180C	3A5A26D9
(2048,4)	1A13813E	03284BF0	391A8D37
(2048,8)	0D0EF8FA	0C0BFC59	03000656

ここで、２進シーケンス｛０，１｝に変換されたブロックカバーシーケンスは、｛＋１，－１｝としてマッピングされる。

【請求項９】

前記第１シーケンスの送信電力は、下記の表に記載されたブースティングレベルのうちのいずれか一つを用いてブースティングされることを特徴とする、請求項１に記載のシーケンス伝送方法：

【化８８】

ブースティングレベル

Ant＼FFT	512	1024	2048
1	1.87	1.75	1.69
2	2.51	2.33	2.42
4	4.38	3.56	3.50
8	8.67	6.25	4.95

【請求項１０】

前記第１シーケンスは、多重アンテナを通じて伝送され、前記多重アンテナに対してブロック単位でインタリーブ（ｉｎｔｅｒｌｅａｖｅｄ）されることを特徴とする、請求項１に記載のシーケンス伝送方法。

【請求項１１】

無線通信システムにおいてシーケンスを伝送するように構成された送信機であって、

下記のシーケンスセット１乃至３のうち少なくとも一部を保存するメモリーと、

前記メモリーから選択された第１シーケンスをシーケンスタイプによって複素シーケンスに変調するコンステレーションマッピング（ｃｏｎｓｔｅｌｌａｔｉｏｎ ｍａｐｐｉｎｇ）モジュールと、

前記複素シーケンスをＯＦＤＭＡ（Ｏｒｔｈｏｇｏｎａｌ Ｆｒｅｑｕｅｎｃｙ Ｄｉｖｉｓｉｏｎ Ｍｕｌｔｉｐｌｅ Ａｃｃｅｓｓ）シンボル内の複数の副搬送波にマッピングするように構成された副搬送波マッピングモジュールと、

前記ＯＦＤＭＡシンボルを受信機に伝送するように構成された無線周波数（Ｒａｄｉｏ Ｆｒｅｑｕｅｎｃｙ；ＲＦ）モジュールと、を含む送信機：

【化８９】

シーケンスセット１（１６進数フォーマット）

q ＼ blk	A	B	C	D	E	F	G	H
0	314C8648F	18BC23543	06361E654	27C552A2D	3A7C69A77	011B29374	277D31A46	14B032757
1	281E84559	1A0CDDF7E	2473A5D5B	2C6439AB8	1CA9304C1	0AC3BECD0	34122C7F5	25362F596
2	00538AC77	38F9CBBC6	04DBCCB40	33CDC6E42	181114BE4	0766079FA	2DD2F5450	13E0508B2
3	3BE4056D1	2C7953467	0E5F0DE66	03C9B2E7D	1857FD2E3	15A276D4F	210F282AF	27CE61310
4	3DBAAE31E	254AE8A85	168B63A64	05FDF74FB	3948B6856	33656C528	1799C9BA1	004E0B673
5	177CE8FBC	21CEE7F09	397CD6551	01D4A1A10	1730F9049	067D89EA9	3AC141077	3D7AD6888
6	3B78215A1	17F921D66	385006FDC	011432C9D	24ED16EA6	0A54922F1	02067E65D	0FEC2128D
7	01FF4E172	2A704C742	3A58705E1	3F3F66CD2	07CA4C462	1854C8AA3	03F576092	06A989824
8	1A5B7278E	1630D0D82	3001EF613	34CCF51A1	2120C250A	06893FA2D	156073692	07178CFA7
9	032E31906	2DD318EAA	1DE55B14D	0EF4B6FB3	27DED0610	1BC8440D3	0ED86BF8D	14FAFDE2C
10	174725FFD	0D2FB1732	124470F56	292D9912B	1571408A7	227197AE9	2430BC576	0B67304E0
11	1F1DCD669	293DD1701	0C34F1B84	28496EE51	3DC41327F	071C06523	28E1657B6	02588EFDA
12	22E4AA041	3810362F1	1955F1DE7	0D6D2F8BE	11F31358E	3EB27BB12	1F4E60111	119BDA927
13	14300B522	152E6D482	168DF6E43	0740B7AE0	14FE7DCDD	0FA092626	23697615A	1F1331EB8
14	12C65ED00	317643CD7	2C637A415	15E3E5185	0F5CBB9E0	23290B156	26F37EFE8	1AA174793
15	1DD6453F0	032C4BD39	082659BD5	320C5E691	224E555B2	3A9615A8D	1BED03424	28E6A9CED
16	068AE7EE9	16F724910	3803DD9BD	2A31A2FFB	010BF5237	33CB067E6	0280C28B7	184417B94
17	1D651280A	2C7BCF443	17324EFB0	236E5C411	381215183	2F076E64E	0A6F2EE74	3DA4196B7
18	27341650F	1B520099C	09AC91114	000A5F48B	30AB4B9B6	2D0DB0DE6	1CF57978A	2D424406B
19	3A01E2FB2	0DF5B257B	019D1C63A	0EA7DCDDB	242D96605	2DA675F15	1DEC54193	3B6341C16
20	2DDFAEB05	21D0A1700	0FA09BB78	17DA7F8BB	06E883B3F	02E6B929B	2C1C413B4	030E46DD1
21	1B625E3F9	0F708F756	00CD97B18	3F036B4DF	2CF08C3E5	213A5A681	14A298D91	3D2ED63BC
22	2DA48D5A9	0C085BD17	01903428A	3DF2A30D9	29061309A	16F7DC40E	2AF88A583	27C1DA5E9
23	30DBAC784	20C3B4C56	0F1538CB7	0DDE7E1BE	2C312903B	0FF21E6C2	032C15DE3	26C9A6BA4
24	3188E8100	385FEFE2D	3967B56C7	3F62D246B	1826A755E	2CDA895EA	2FAB77825	1B525FF88
25	339467175	2DE49506B	27B7282A9	0254470A3	3374310AF	2DF20FD64	3848A6806	11C183E49
26	02AFA38DC	0F2AFDDF4	1A05650E2	061439F88	11C275BE0	30C41DEC9	119E070E9	1E76542C1
27	1B364E155	086FF808C	29F1BA9DC	0A830C788	2E70D0B3A	34EA776B1	3D13615C0	15FC708D4
28	38ECFC198	07034E9B3	2340F86B3	07562464C	22823E455	1F68D29E9	257BB66C6	1083992F1

【化９０】

29	375C4F5AB	3C0F5A212	0EA21BC30	13E8A26F2	17C039773	283AD6662	1F63AB833	2DE933CAF
30	2B773E3C5	3849BBE6C	1CAD2E5AB	0405FA1DE	1B27B4269	3B3BF258F	300E77286	39599C4B1
31	1E878F0BE	0AE5267EC	376F42154	1CD517CC2	302781C47	123FEC7E0	16664D3D8	24B871A55
32	20E200C0A	1C94D2FF1	213F8F01B	369A536E0	161588399	29389C7FC	259855CAC	06025DCE2
33	28D2E001C	3C51C3727	106F37D0E	1FB0EFDD1	2CD9D33C3	1EA190527	0BB5A6F9E	074867D50
34	08EFC44B5	1B484EABE	05FEB2DE2	211AF91B5	0CF52B1E1	002B5C978	11D6E5138	0D402BDD2
35	337C618F4	0A4C31DDA	1D93003D6	006D7D088	348043A6D	325E05758	2C53EEEB8	15ED8E614
36	38375C2FF	18C78FD02	30C11EF53	3916581DD	1B75263FF	2D8DFD6A9	00C4E8482	1D201F96A
37	2E10B0D05	2EF203893	2491D95F1	34D995B51	32214BDF5	3E45674B1	3E74AC66E	1B813A999
38	153E7269D	2391C7BFC	1ADD3A595	0EFD3086E	00AD88A8E	0D8B007CA	0F22C5F9D	010E86385
39	3B58C7BFF	0BA76496E	3AD0B7BBF	1D6D10FB3	3A607BEFC	28F122A95	057950727	179449CB7
40	37AC5194A	390BD9C00	3A48C0461	12FBCE4C6	2A8DD4171	10E9F1E34	251F5D167	1124E96B1
41	0FEF20C67	31EC9EA3F	275B31143	22DA4F02B	352C0F648	21FF5B9F3	3E5BC2372	0A1AE08FE
42	080EDC49B	17AD7F7BA	390775B3C	1380B00DA	2477FF17C	2E6D9E5AF	05381F2DD	26143CC17
43	2DB485795	1B3252799	39AD0211C	3AAE31B76	30532A187	1C8EA5F5A	2EA6E4D6B	30570A2E4
44	11BB4F78A	12CCE1428	2C67EEF99	20E3F841A	20CFCD5F2	1618A7B94	111FF6092	2ED034E06
45	1C66335E5	0CA9B9BD2	3213028AE	15542DD28	290F7DAE2	2137F02D5	17DF9445D	24F162FFB
46	360FB966B	17D878955	1C1D67093	065B84F3A	1A1D955E3	24C73C11E	270EA9EB2	114DCA02C
47	002CE84DD	0616DD253	3EB188345	1FF852926	37E160F00	040DF51EC	1857A33BA	230FD8A0D
48	233C0A71F	22E428104	0325F8170	39566B188	32DA16A4A	039FDF1DC	27A3E946C	0D69F26D9
49	0583F9F73	378380CB6	059D8A960	3E3442C7F	026138ADB	25F370F1E	09D3EB2CC	2D37D50C0
50	08DF9CC66	2C2E7AA8F	3CB241ED2	03216B4D2	39736B451	25F6F113F	08FD2AC3C	1974574FD
51	3D1FF6041	2CE2AB97F	01A734F3B	1DCF9F3C5	268D595CA	1FBD2A8B8	0F1449F86	370C352FD
52	123218E40	3AA057589	20F73A16F	26E3BCA5F	3A7330DC6	12C659384	39D99FF1B	276DFC540
53	185AEDEA4	0418B3643	382F7700A	3FC35ED60	07BA2F838	1BC840C93	2469A41EC	0CE7B4CB0
54	2E194E2BF	3302A0B28	1836001EE	154A4738A	36A3BBD72	23CCD0EB1	044B3A13B	2B50C8057
55	0B76405D3	231AAA728	0EE05E9B6	0093A21F2	2065A01D0	1F2B810D4	1082F3A73	1DAFEA492
56	07AD23A3A	2091957F1	3B9D8CBF0	21E4160BE	1BFB25224	3D9085D16	03076DD39	1DBCF8D03
57	226D70EBF	3ED15246C	364130C46	22F6D4AA3	3FCC9A71	3B9283111	0484F0E58	14574BD47

【化９１】

					B			
58	3F49B0987	305231FA6	0CF4F6788	3B9296AED	2346190C5	3365711F4	078900D4A	352686E95
59	1D62AC9A4	104EDD1F5	1B0E77300	1CED8E7F0	388E8002C	1FE6199F4	02239CB15	1FE5D49A2
60	21314C269	28600D12A	22E4F1BAA	044E211B1	0DECFE1B4	3E5B208CC	1CFC91293	21E7A906B
61	02C029E33	1BA88BE4D	3742AE82F	21EF0810F	17D23F465	240446FB5	17CCE51D9	2C0B0E252
62	16F9D2976	10185ECE6	2821673FD	02674271C	3A8A75B7C	226D4BF0F	2216004E5	0E8605674
63	06E4CB337	32A31755D	062BE7F99	1417A922D	2271C07E5	24D6111FA	3F2639C75	0CE2BB3A0
64	18D139446	2426B2EA8	352F18410	1133C535E	10CC1A28F	1A8B54749	22A54A6F4	2F1920F40
65	22443017D	2265A18F5	14E1DAE70	11AC6EA79	31A740502	3B14311E7	3AA31686D	26A3A961C
66	2018F4CA9	3A0129A26	39BDA332E	1941B7B49	03BBCE0D8	20E65BD62	2E4A6EE6C	3B095CCB3
67	0CC97E07D	11371E5FF	31DFF2F50	17D46E889	352B75BEA	1F1529893	21E6F4950	1BD034D98
68	275B00B72	125F0FE20	0FB6DE016	0C2E8C780	3026E5719	119910F5F	3B647515B	1D49FED6F
69	250616E04	0882F53BF	11518A028	3E9C4149D	09F72A7FB	0CC6F4F74	2838C3FD1	08E87689B
70	212957CC2	03DD3475B	044836A0B	2463B52C0	0342FB4B0	34AD95E9B	2936E2045	3B0592D99
71	2922BD856	22E06C30C	390070AED	09D6DC54F	3485FA515	064D60376	07E8288B3	3DD3141BF
72	29CB07995	007EE4B8B	16E787603	07C219E93	1031B93DD	23DEFF60B	30F1D7F67	0EFE02882
73	11F3A0A2F	38C598A57	3FE72D35B	1F655E0D1	0B3AC0D92	3430DDB1A	3BAADBF42	02D6124C0
74	05FC8085D	345A5C470	07DAAE1E9	0D7150B88	25D2A5B10	16F8E5021	3240EFC71	0F0F5922D
75	399F32F6E	2EEB17A8E	0D61665D0	2138EE96F	3F8119063	01B5048F7	27075153D	265DF8280
76	3962CC581	2337D2983	286FD7BBA	185126E0E	1F95AD927	0F7EBC374	1E3A4B6FF	20CA9B9BD
77	1C85C13AF	290C37167	1FDD26E8F	0C38736B8	0174DB972	0A921E3CC	097557C9D	09452C1E6
78	2D48D6C00	2D9BC8DFE	10FF1E128	25C96BA85	0FB071B8E	0F09B3C9C	1A3E11441	38EDDA03D
79	396B88B2F	0029F4BDB	30D098CAD	0D54D12CB	1D0823F55	2DC53B9AA	11BCF7438	33F6EC091
80	21E03CD65	1A2FE5B92	2851F8445	0251E386C	1468950D8	1A8B39748	001B42236	26CD82DA5
81	2CEA1E6BB	006C97E74	00C2B887D	23461AF95	0E9CB2BD2	0B0EA3022	1FB56A7A3	25A7FA625
82	208FC2A1F	381C5733A	03F11D7E3	07ED6A7B7	1FEC85E09	3D61E0440	356F4B1C3	3756E5042
83	2061E47F0	22EAA0AD3	24796BB65	03C59B4D8	32A75E105	22155381B	23E5F041C	155D2D7F9
84	381AFFB73	212B5E400	1F1FE108E	04BF2C90D	3C1A949D9	2854A9B45	001B09322	3A9372CC1
85	058B23433	0904C6684	158CADB9E	11BA4B978	1854368F4	1919ECEA7	147F1FD34	2E228AA3C
86	34857F3DB	2CB44F7BF	111A065D3	1BEAB392E	27F081ED8	3E67D1186	0F6265AC5	27716FAF9
87	38EBB8BF1	32ED6E78F	2B0BA4966	2188282AA	00D49B758	1765BA752	2B50AFDCC	068C82450

【化９２】

88	234F0B406	02FB239CD	15AD61139	2250A5A05	1CD8117E0	0D849163F	268C7A5A6	22A802020
89	2D0FE8D16	0C14E3771	07DE5320C	0640C2762	1CBD9FF4E	37A91986D	2024DA401	164D4A84C
90	3225B4D60	3013B75F2	2A77AE5C5	2C25377EE	03C8DF835	346E80FCB	116B79FA5	356D2B604
91	0D55231FD	247907F31	0CFA0B049	36D069A95	10D4CDE71	1A32544D7	38336885F	173ECC08D
92	207420EAC	26FCFE182	3FE7B31C6	15B320E13	187AA34A8	1B52253BF	1FA16669D	3725A81A5
93	3C9C7404A	092B77FEB	3B9865B46	349456F61	39B7C6A66	3075EC990	01BE637DF	330897B17
94	1CA4C048D	2B4D50621	2BF917627	3EA2CC5E1	33EC0A1E3	05FE0F747	349553D72	396077301
95	04CEC1C82	1F828DD00	30122C790	1AD8A7895	1CE0912C0	298382F37	2D4D33F06	001364B36
96	37F8BB035	2F0897994	333F5F096	0F28AB363	20036829F	338017E2D	3A5A05D76	0CC02E5E0
97	02FD351E6	03E316288	2FCAEB4F8	1C5A80CE3	3D3AC3FDD	3E456746D	119A5381F	1581C894E
98	1623B3D0F	103224DB0	0FB936BC8	2EED7F082	26C91513A	2F12E4C31	290F3AEF2	392CBFF67
99	02F75DE8F	2E61A834D	02A692866	1F21044A3	2D7881A95	18651EE05	11FE3D308	39EED56DA
100	3A858659E	2F7A87BE0	135FD561D	27B3B651A	05E131CB9	0D5865123	2CD6991E5	3EE6DF705
101	3F3B247E1	32D02B245	16B98A593	1E4CCFF18	0C4A9D285	06D519FE2	023A336CD	1B20E999E
102	3A9E8B49B	239656AD1	3396D1C51	06F4DCF40	15D819D3F	2A3061144	20BD2A33E	2FFB139CD
103	38622F3AF	24BF9BB7F	1D2729010	15877B93A	00376B0E7	0FF064887	3505CFD9B	354C366B6
104	2A0AB7033	1AFA65DE1	1198D0AD6	38E80C86A	27693D541	3BB26F3D4	39154881C	0E7DD6B6B
105	1B0DE4333	27FE0F6D1	0F00B2888	0BDA322FF	2759B5A4F	0543A2D27	0C36DD1E5	04E9A262D
106	1C7E636BF	000E9C271	2B44F4F30	28255BF77	1CC4D69CE	03F4C57B2	3E926D59B	00AA39BDB
107	1FDE98AE0	0CD076B07	171124FB5	33F098288	1E0B3043E	39731D117	3E7ABC2C8	19CC50279
108	28EE855ED	2A704C371	03288F4B0	3C83E26C2	0A905148B	18C66BB94	1BCC32537	10D71AB44
109	26238A065	0FBD7BCDD	02507CF76	059F69484	3FE0D6F77	2466A50DB	3C07A75B2	2DC0F099E
110	3CDCD6CBE	1446783DA	1626C83F9	2FD4C4DF3	13A59A2D1	2C903D2A3	0FD37F076	0B1039EDD
111	043B07DD7	28D9C2155	2CCEF57A8	34254C1B7	09B933B2F	1FA410127	10BD5E9E6	010EC6389
112	345E8FCAC	226BD7EFA	27341A51C	23854F031	04C297212	044DED8E8	319B3BFB8	37DBBBF57
113	16FBEFA72	1B5EF9484	2DEE7A5BF	097695C12	08AEAD5E8	3DA7C1327	2B81F3E2D	31AFBED32
114	3484086B1	2DFA56B9E	226E8AFE5	285F45484	3E69AC8E1	1CB33645F	2DE53BC30	2F6ED567E
115	1117B5E7D	122A4D471	1AC936544	267010D71	10428CA47	24B72A000	2E27FE185	1E62C1403
116	0B3161E37	038C3DC98	100793647	1A95D8D36	399668787	06C0D4922	25F48AA58	2DFFF1789
117	04FEF7231	381910B63	298783078	30CE5EC1C	29F6F299D	3C34CA770	37BAAB139	3D2069B65
118	18F644052	2051880EC	23ADBF949	04237280A	18304E663	287364EFF	314698D78	149A21E51
119	39E14BBCB	1DBDA9EF	3ECCAD8D	1BA3EF99D	26D85CEB	270547292	0FB3C7826	0131E73D6

【化９３】

		4	3		F			
120	2DD6F3F93	0FC282088	14A143DDD	0AB840813	0B973037C	29535C9AB	0DF8DA2AC	271CBC095
121	1C1D063F9	3F4EF6DCC	00128D932	145E31F97	0B21590D1	38F1602D8	3AC2EBB74	2320957C5
122	3383C846F	12128F29B	19985CE7D	2834CBBF2	1E1513B3D	364DB5800	33EE3F46C	01A865277
123	0129D260B	238A85BA0	2D81AA924	3917048B6	36F857692	1D2F813C3	0505FB48B	3DC438BC5
124	05E0F8BDC	3D978C1F1	266F83FCA	0E89D715A	01821DEA4	12D9AE517	22F8EAC2C	3C098DA58
125	1575D1CE9	26F291851	3A7BB6D2C	12CC21A3A	2975589B0	39CF607FF	388ABF183	3D3BAAB0B
126	101E5EC7A	0B75BCF3B	13ED25A86	35FC032B6	2F6209FF0	13C7B2041	1F2791466	3A759A6C2
127	1EF89091A	11A653D2C	223FC1F42	2F7B97B31	2CA4EE011	00F68767D	10FE34682	018339212

【化９４】

シーケンスセット２（１６進数フォーマット）

q＼blk	A	B	C	D	E	F	G	H
0	20A601017	10D0A84DE	0A8C74995	07B9C4C42	23DB99BF9	12114A3F5	25341EDB0	362D37C00
1	1364F32EC	0C4648173	08C12DA0C	19BD8D33A	3F5F0DDA6	24F99C596	026976120	3B40418C7
2	1C6548078	0A0D98F3C	0AC496588	38CBF2572	22D7DA300	1CCEAF135	356CA0CCF	093983370
3	03A8E3621	2D2042AF5	2AB5CC93B	05A0B2E2E	0B603C09E	117AC5C94	2D9DEA5A0	0BDFF0D89
4	07C4F8A63	3E6F78118	32CCD25F2	1792A7B61	0A8659788	1F9708C04	086AF6E64	040B9CD78
5	2D7EE485A	2C3347A25	3B98E86AF	242706DC3	1CEF639AF	2E1B0D6A9	3E9F78BC1	0FB31275F
6	0307936D0	21CE15F03	392655B2D	17BE2DE53	3718F9AB8	01A986D24	077BDA4EB	1D670A3A6
7	05A10F7B7	31900ACE0	28DCA8010	2D927ABE5	370B33E05	31E57BCBE	030DC5FE1	093FDB77B
8	092C4FED1	268BF6E42	24576811F	09F2DAA7F	24EFFC8B1	21C205A90	1E7A58A84	048C453EB
9	29F162A99	1F739A8BF	09F684599	1BEC37264	38ED51986	286325300	344FC460A	3907B1161
10	0E4616304	0FABDCD08	0F6D6BE23	1B0E7FEDD	0047DE6C2	36742C0C6	2D7ABB967	10D5481DF
11	32DD51790	237D6ACFA	2F691197A	16724EA58	149143636	3810C6EE1	3A78B3FC6	1B1259333
12	1BB0FD4D3	235F10A55	1C7302A27	1148B18E5	04F25FBC8	2A0A8830C	3646DBE59	2F25F8C30
13	0FB38C45B	069DF29E9	00F93771B	3AA35746D	2CAF48FD0	0A42CDD55	19A23CE8F	26318A30F
14	365FBEDAC	27710945F	2AA367D61	05A484318	2563F27D9	2D37D5C00	287D18FBB	3ADB44805
15	3038BC77D	2A45D29EC	156173792	03EC7679E	07577E1A4	1B6A94A74	1D26E5A94	0FD878D5A
16	1F22158E4	3F02A1D37	2767EC03F	1C8CD535A	23DA2E5AB	2D5F25A59	0971AA889	3E78C1846
17	16521E709	12C2DB8FE	3A596C221	1562D5C27	1D9E1F39A	345B96872	301C7894E	2797F032D
18	2EC951A24	1ED768F3F	11217930A	39DB44855	36E41B3FC	0F6E48C44	36254C517	14493C673
19	3EA159E72	24ADE96FE	3458C73A6	30674E1FB	242109AF2	24DAF32B6	24B1EDFFE	291CB9D15
20	2AD0E6696	04F4077D9	1BB279A53	38957605B	379B7A6A0	0BAD35616	1285EAE51	37425C7FF
21	083637980	34F2ED66F	282846A88	19D5E40A6	21205942C	27AC551E9	0F3F4C262	0505FB522
22	3E7D64856	1DB0E599E	159120A4B	1FC788139	235C454FB	3CE5B67C8	339EADB32	0F9F7DDC1
23	3956371B8	1D67BE6E5	1EFCF7D53	041A5C363	2E281EB3F	00AF8A1ED	2DE24A56F	1332C0793
24	0818C47A9	1F945634B	1C5ED3403	1043B5BF4	149702D22	024CBB687	34B01FA8B	1E9F5992F
25	3A6618167	3A0007886	3EDB5756B	2F2FA6FCD	21A5252B8	396FFAD9D	05347B60C	2E0ECA200
26	0D45F89A1	3F9C2C26E	1CBCF809E	3CBE5FCD0	3D2DCF245	14F351A1E	224F5B3FF	2AA6ED34B
27	3BA85ADF8	282005732	3AD7C0223	2E73D1800	23DEA3F46	2275280F6	1586270F9	0CEF4287B
28	07DFE662E	314B74F2F	397BDDC4C	223A8071F	1F5BE3BB4	093BB1F33	0FCA2D129	21B3526A9
29	39FEADC12	0ECE1CD67	206228FAA	38FCCA606	0C5EEE08F	1C1BBDD4E	1459E42ED	11FD64ADF
30	2735FFB20	2AE9B244A	1A5AED974	38FCFD5CB	20310DB81	1C5FC3E24	19FB3BA17	3785BE865
31	24FF6B7EC	01C682673	19CB14113	2C8CD3C2A	066725853	02CD0A23B	279B54315	0CD571063
32	015E28584	30B497250	127E9B2E1	2C675E959	05F442DEE	394AEF6E2	079E5C840	12703D619
33	3CE4B1266	35270B10F	03549C4B3	3B3E6C375	1DBEF270E	0042C9737	049522EC6	24961653E
34	34176CD90	2B5E9EAE1	1C95E3C2B	1EF541D4D	26D1450E6	3B9D895AB	1B0C84349	104B6B428
35	07A813421	2B39EAADC	33553571C	0F8046CDF	2CF6A7F23	0AE3BE8C8	308BFF531	2DBC0F9E3
36	168276972	2CF41744F	3CF2512E0	0F8B68ABC	2E609F6AF	04E03AC8C	0F9B66F49	3AFE28736
37	03456021F	1982574F3	0BB2B3F49	15A4A1CDE	15487D58E	2907C9ABB	15C0D2D73	28D8CFEC3
38	3D3FD677C	33AF2628F	3D217FDCF	30027E85F	0A463F23B	2F2AE8324	1D1E945E0	2EB355D28
39	3BCAF9076	3A7D2FF70	3C541F38B	249BD8A94	287BC4833	141391EB7	05B6443D0	2FEACC5E7
40	275F118FA	3A96B346D	0C713CDE5	02F394A28	3EBB1D18D	1BE7A9FDD	223C53CA1	2BF040F77
41	1161DE4F5	0544F9DB7	230847E45	322AF4E17	26944A0B4	3299F1420	1C9405B8E	2DBABD4CE
42	33165C531	268FE9B9B	081A914B4	39100772B	27DBF03E9	3E3A18AB0	13F2D2B83	2CEEE5FF4
43	275F97006	0A578F2EF	16CEE7EC8	38A5B0084	00DC9A1F5	1B88CFA3D	0D8B0B8EF	29FC4CCF2
44	04BBE4F2C	1546C3988	237105A43	339042B36	3A5DEBE2B	1BD09449D	38EFF588B	1CDD3A6C0

【化９５】

45	002E32D38	1E85D3125	3F51120D7	00420ED63	3384713AF	1D941BD34	2B39EA9CF	05B6D9E94
46	2B3100F7B	335EDB2E6	1AC8C8EE4	337FF7139	0672D7995	38A54856E	0124753F2	3A3560851
47	046207CE9	0FE1BC312	09BA5B289	39376EF2B	33F826C2C	2F6531496	3933B8616	23125B50F
48	3E5849C45	01EEDB390	141D9A024	2DE07E565	1813D12BB	36DB8D404	0E8A272AB	3A66B71AD
49	1A2A88A4C	3F0C9B4DB	266CFBDF9	163420CA5	281ABBE99	34771C295	3AC051848	3C53CB875
50	16F795184	3466F1FFA	1F433B456	1DDF13810	25F58CF69	1DD6CFE4E	10A236FDF	12AE697ED
51	1C8D17F4F	07C43B7D1	1C8DAD395	28F6C112E	3A336ADB3	0EB6889AB	2783A6A1F	2CDA40458
52	16044624E	252AA04B2	11484E85C	07F5024B7	286E3A67F	2EE6BACE4	277F1F864	22F3CF57D
53	2D1A3F4CF	0EEB6DEC1	30CD76F42	20403D1AC	3A72EF9D6	1DAAF2A39	03AB76CE0	0A2856267
54	0FA2A786B	38273EDF2	228A45016	0309DF52D	093BDAEDC	1B11E9300	1DA9C5324	03365EB1E
55	24DCFDC06	11CF909D6	2FF693F4C	366338F1F	22E641569	0ACA60D55	32D1B009E	035472E09
56	17F5D6662	062FCF913	35B211035	21ACE73FB	3B4148706	2D0CD106F	2CAB457A4	103E1E49B
57	21859E8DA	2F1E3B3D9	1F1014BE2	062A3DEB5	354C0C786	05A8982D4	35A758943	346EBA72A
58	00CB49E5F	211B1034A	3A5D2DAF1	21D3F3EB0	24B2D1150	1097C3685	2AA3671CE	0E5DC1308
59	24C8401BE	217B1F994	1FB9664A8	3D5057708	05A506088	1314842B9	3C8657064	14B1FA77F
60	2AD698E2E	3C129D1F6	2C744FF4E	1C1C052F8	18C38A9FE	252168A10	2EB68D098	3A001CBD2
61	2AF71324C	2BF41D408	0FC498E18	149A1A407	0FDC2C4A3	19D00C4A1	0F6B0DD29	268CF8E86
62	19F4D82A5	342C73FD5	0F5AEEDE7	21A2A8953	15ADB7A94	11DBE038D	0A5B6634A	0FA382B77
63	0A5985778	35AC3032D	35691C85D	2829D55EE	04A3FBD8C	2C85BFA8E	0F459B864	3E878F0BC
64	10C785EB0	054D4CE18	1BF657A8E	101DC64EF	0B4E3032A	24ECFD9C2	00C98BE0A	2A1F82444
65	300E8B09C	31A079FB3	0C41DEC5F	216CCFE4D	226C5A693	3C31A41DD	3A019974C	23B64EAFC
66	249BDC80F	0316ED79E	1E42B5567	0CFF04A4B	310678543	34D986980	1E3195429	280966E65
67	359A72B64	186A3999D	065825DDF	2D28E6000	10964C1E1	1468C970E	34C8B606A	33CC94DB1
68	370B29C05	12841A9E8	2147E7160	1835345EE	06DB43F37	33854A725	065E6614C	151E2D7B1
69	0EAADDB27	004EC6DDD	30AA39B8B	2AEB34AD4	2A13D6649	00EC67B83	1176417CE	0E3683151
70	0832BA87B	3B67515B9	0FD34BC87	1688F83CB	370B52AD5	3A2CD6F3F	3343BF461	37BD48546
71	16EA2751C	1799D9C42	24055CEC9	226A907D4	133C68F80	22CA03BF0	05F723395	2D35008AF
72	122A5C67D	3E46230BC	09F475BA9	15B4B6754	11DE75C50	28C17544F	1D85FAB8D	0D5AD9537
73	1C5497CD9	3D405F487	05535D737	06952087B	1C4744AF4	3E0EF881C	3CED3D1BB	1D91157CE
74	1D276153D	14604EA77	1661FB979	3BAC5E9FB	089F41406	283154122	2AFDCE892	1FD5E0810
75	2A620F4C2	0DE484180	2D05E6458	3E6D15A27	0A92FF0B7	2CBF7BF53	25A2F28FA	19A10CE02
76	3A77B1FBE	2B262F810	2BEEA0F46	39706BBA2	09257163F	1026D5D74	2E2483EBF	1D6527C1E
77	0DC1EBA02	383C59C77	28C7ED115	06FED31D4	16F610DC3	000890B82	2FAD16A3A	35C9AD95F
78	3E5C1EBE2	3C65A7691	2394005B6	251B1BB49	1F42BFA23	0E8608C07	24666F55C	11A5214DF
79	323E882C5	2DBFF5E13	3638BC43F	38CC5CBB5	1DBF783FB	0499418C7	2285E5A40	1A61D17E7
80	1E508F19D	0CF345F97	0E5648601	0A0951DF3	1194EE717	0A6C0B374	03C4E19EC	06F725799
81	0B54F4AEF	186A12343	04C4A60C6	27C2CC0E9	3973075A1	392C5EEB7	3933C99B1	005F98CB2
82	021B6635A	3764D0696	20942B266	0155C4EDD	3FDBF7497	37356D442	374F3DB06	2718357FE
83	120DF6F80	0E41F376A	03544C7B2	2D6795EFD	29E8811F1	1B3EFD388	01CA4C48D	2067E8033
84	07703D649	35221AB50	22141A0D7	268061A59	2D9192B05	3834711FF	3A07258C0	36253B5AA
85	1C4A564C1	26804247A	16A4DB29D	0BEF93C88	37A3EAB6C	25547B136	3FC935878	250E3BF1C
86	17049BB43	0D6426761	2BF3A471E	1665820E9	14412A13D	30D5744B0	2ECE5CAE6	01395189C
87	29615B890	0A2C5A664	216DA64F4	3D4AA9D2C	07B98342C	2603F0D76	0574BDFA8	3F9B35D5D
88	3A0414B22	0A8BE885E	155C220E4	2D3B17AA6	3017E1B48	26508C6C8	3FF25EC63	240EFF072
89	2ACD81CE3	0468D7943	2A4108121	1F2E8E67F	3AB446179	33325CA24	3006DD3A5	1A33F3A2C
90	2B038BAF7	070660C4E	30953C7B7	3E7375D04	1D6A39944	001BE5C8D	199A89253	0A82087BB
91	03BF7C836	2CBF9FC48	38EAB1C98	11C303993	3D748807F	1EBD41D17	351085EF2	1C55B94D3

【化９６】

92	116E0BE61	17BC8C403	31BD1EAA2	1CF87C049	2A41CC04D	3883EFEC1	3971BBBE2	190CAE3B7
93	172799BB5	3301DB193	2480B569B	34DBEFE9C	003287827	38DAEA1CB	0B0E25BB4	1972B37E3
94	3EF1F9EF4	189D8C3E0	1941998D3	259838BC9	28E545988	33BFC60D8	3572B10F3	197913B6B
95	24CF96D66	285347801	22BC70E5E	394231BCC	077583F4E	0364420AF	278FBF5CB	3850AFC8B
96	1B38C4A50	04439E0B5	3A7BEB18B	3003A36CD	329D5A2B6	1BB123AFA	049C2CC94	0F604D1DC
97	28D47EF33	24CF66B6B	24B716FA9	34ED7F6BB	186AE44B4	1380D0726	1CC51324E	16BA74F62
98	04422E60A	3424BA16C	3FF1B39DD	1A1E658F7	33457317D	14E822151	3EC02F279	28593D11D
99	0F2DF0912	21BBFA838	32D634EBF	2061148FD	09A565B74	2BCE430B7	34DAAD9FA	228ADAFE5
100	2D7EE0544	25D57B7CA	0FADAF20D	19B4F6444	3A75DF1C1	0AD3EDD56	0A4D61EEA	28C1262A5
101	1B6AEE253	0BFE02772	24AB19547	186A377A5	03089B4E8	128955F60	3A8DA9AC8	2931648B3
102	21BE0200F	00F34B4F5	34FF3261B	1A0E27AED	0A821AEFB	21B0BA404	1C6A644A4	1734EBB33
103	201FBFD73	0592E9D86	053D87C9D	3CAFC7479	22F1BA3FA	3DB25DD15	31D468990	22FF2B539
104	06C77404E	18AE64252	3963D899A	37179C03C	0FD2E3D04	191E64DBB	380B841FB	368E1DEAA
105	3A561759B	156243DE8	04325D217	33993D0B0	0CEAC2109	002242D1B	33C1D9F5E	1EC4195D3
106	17D7A9B74	1F44ABA75	17B572FE3	096008B9B	1F1E00AAE	05489F7A1	17A4C131D	1C018E923
107	0A4ACCEC8	1F294A30D	19CAEE64E	002787A1B	03EB3238D	27C10F626	1C9E656A0	3F73609F0
108	1E0E3C802	1B52D12AA	2F4E003B7	23BA7A6F1	3CAA0998A	32E96C916	168EFA1EE	28147EE33
109	1CEC9799E	215D9302B	176BB6639	003D5E371	12FE4ADB3	3106B64E2	001D9C28E	0F39059DC
110	31570792D	2260D7FEF	1AC830374	118FE7C78	08F982159	23BB2B13A	2C7944305	376396F3C
111	2D340540B	272E94D06	097C70995	0E70DDADA	1DBD644E5	341A72A58	01CBF5334	2C7999AF9
112	3FF17764D	0701DFAD3	146BDBB97	229D2D7F0	03C5DA21D	3A5916EC7	2390AC01D	197D64233
113	3E9759D5A	00B237425	0B7E646B9	190CB4D16	2646AA1D4	1A373103D	337E5EFB1	0199DE4A1
114	3FD5ADE8A	26B843860	0A2D0AA7B	3C351E07F	1B25376AE	05C553CDD	1DBC3F38D	019823A2A
115	30FF187B4	112F9D7A1	1AE977517	3760AF555	004F86368	3700975C2	0518029DE	032427D9B
116	3A86D49BB	057E649D8	2FDE33D7E	31254217C	30E05CE12	10BCC1CD7	1889C5139	38A163ECF
117	2610F5174	02A7ACB27	208B84FF0	14609CA80	0F3526318	38EBC7384	287C57BAA	279661A9C
118	014F6D77B	1036B3D2C	294F1999A	33A059187	26CCE0507	180DF3129	00A6CAE22	2AC0F23A2
119	347C62997	1912A710D	2260C531F	2F54BBEBB	0A2D90305	1BBEE20E4	0AF79997E	2376F3D0F
120	04484EB82	181977944	1C1CC2693	227ECAB0F	23F32982B	19E2F290C	1BA2300F8	0EFB06247
121	0EC048AD8	3B2168495	34FC02DA1	2C0CDEF52	0553CA222	25DFA4581	29CF66B6B	0AB9C21CD
122	2AF502148	3B00632F9	387CDC4BF	3F8B9F716	19084CD65	0354918C7	39D1FD9AA	0F5ABDB77
123	2C6E2557A	3E8A19D6B	3E6756A28	237E6E5BF	24CA57004	1D52401AD	0237F1D80	0FB2B335D
124	228F4B540	07532BF5D	101F67F52	29D8598EE	0421A0E23	2D89C2AFF	0963D2F3B	24C472A63
125	0CF3598E8	196A40BD2	00E63B26D	088A0BFCA	1C78E9016	03835236C	33071A836	3949DC586
126	3E815D747	1588D4E96	073C8D44A	303281AE4	095D31EC8	1F10F69DC	200F057D8	1F270128F
127	34F9ACB6B	384870FF1	257A863DE	34B36BA0F	3FA3D216B	27425041B	0E0DD0BAD	2E95AD35D

【化９７】

シーケンスセット３（１６進数フォーマット）

q＼blk	A	B	C	D	E	F	G	H
0	13F99E8EC	3CF776C2A	3300A482C	0B2BF4791	17BECDFE8	35998C6D4	05F8CB75C	259B90F0B
1	116913829	05188F2A4	2DB0A8D00	2F770FE4A	185BE5E33	0F039A076	212F3F82C	116635F29
2	004EE1EC6	18EF4FDD9	26C80900E	1A63FB8A7	1DAA917D4	0E6716114	02690646D	0CC94AD36
3	06D4FF377	2716E8A54	16A1720C8	08750246F	393045CCB	1DBCCDE43	114A0CAD6	181690377
4	3DC4EF347	1F53452FC	01584B5D3	11D96034F	1FA62568E	11974FACA	191BE154D	397C9D440
5	05A1B6650	29835ADAD	2F6DDABE4	0976A607B	11BA92926	2456B1943	3E3FD608B	095E7584B
6	00CC66282	0560BE767	21EBAA7C6	2D8E9ACE3	198A9E285	05F3E73DD	13DA751A2	176B75E43
7	03D08ADC1	2254606FC	3C695D892	1DA9E0280	2CD4FF589	19B78A5A4	0CE67A7C6	12535A61C
8	0984647CF	0822BA46B	3EB2BC076	212596F54	11CC2E64E	120BADF9F	0DA72CEDE	30D0E106F
9	083CE5726	1F05DA925	169D93EF6	1FCADF3D3	08A5CF0BC	317C8508F	19BDCCFE7	0FACE3631
10	27583A466	1CB1634D5	03C7849F7	38C6CED00	1161C173A	15A645D3E	281A7ED92	076ADA797
11	33BA1AE8F	187F578EE	32473D69A	2458B703B	267E59071	0F317883B	3E7DEDBF1	3B9859BA7
12	0322609A3	20C4C957C	3FD638746	3FB716D79	36BD0CF1C	333B11B8F	0027ED1F2	3E7471BF3
13	3529922B1	0ECECBE04	1980B9B9E	38D60363F	18904BCED	108E3E5F1	34B95C446	338F51DAC
14	21FD50527	0EA2F7A31	1E294A159	114734A02	120B90BF3	3F3617C92	0129071E2	106640936
15	2B59354BB	275BF9761	39C6FF332	2004B3902	053F9DCB0	19D79A902	2B3125038	20649B43E
16	03A8A7A2B	091AE6721	18651FD9E	1F5415ECD	1B38EA62E	07FB0F422	3EB58896B	077FE4C7C
17	06A13CB38	340099B18	2AE6D6385	1669631F9	28E51A676	19A023391	261855F39	3E518F0BC
18	2A88F831B	09D295831	294C468DF	1477F0A13	37725C6EB	00E7DB222	27D610157	349A8FAB6
19	163E1C44D	3F98B6F4A	1805538DD	01EE3DB4A	22AA1797E	27568753E	16090F219	2C9838C01
20	34B0543DC	121B8EA82	00873B4A0	220FE7C05	2EDBEAE34	1104BDB93	0711E8C0E	0E1C107BD
21	226183AFF	15643DE71	04A4CDECB	2E67FDF8A	26D2A6D40	25E7695F1	1A99778F5	20FE0C1A3
22	0F7EAC09D	12BB72B2A	182E44301	2962EB85A	3477C1B69	3E3CF56F7	29C9D00C6	39788600C
23	31084BEB5	1DC90E345	391736CC1	3C8292AE1	38A0D515C	3977012F6	25D1F6055	36A7D3F8B
24	229D3ABAC	1044BA05F	0C391B88A	0636A90A6	0B14322AB	21ADC33E4	2DC1A3BFE	0D7FF6D1F
25	33C85B393	37BFA31B6	134F872F0	0C5EA36E1	286956ED1	1632092FA	382B4BB10	23DC3EF14
26	38E8B9BF6	0A0CE666B	207D98054	23FF360AD	121BFDA4E	347D442FD	242922C07	23C6E4115
27	263EA8516	36138BD6A	0ED9C55E7	3F0937876	03232BC24	18E5FFF26	3530CF206	3981B7414
28	1D9AC2E79	051B220E9	3F3B09EC8	0D3F6C366	0201A7CB9	3D5477092	22185FF9F	1C5AA5348
29	208D85694	22104E7C5	14BCFD3DD	3592DF665	1F4EC3265	24358076A	2D20A8000	017F2D489
30	36B3A9A2C	3F8E0F162	13ACDCCF2	16951F727	271E73555	1B3EDCDE7	162B45352	1CAFA635A
31	2D30FE705	3EC9BFC8D	1B10F8349	34F973F31	1CA96A349	1A28B4543	1C5367CE6	2DFAB0AE7
32	21D93EB5A	0E49D6211	3C6FCF774	09F44CACF	2D8CD2BEA	037DDAD3D	3BBD06D1D	39CBB996F
33	159B1F948	0183E8DCD	3A484866C	21F8DF1A5	219A58193	2D1B3C399	2275F19BA	0EFF4C612
34	22EB93A82	15047E272	15428D77B	38FFC612E	20609BE54	3226C8254	3E5568DB2	159284EED
35	34529707C	2E84585F4	20DFFB4C5	28288AA00	10EFC1E07	3C4D211FC	379087C3F	25716A7DD
36	20106354F	22AEB9FD7	3A6BAC67D	3126294C6	0FBC874AC	2DFE5675A	391B1DDAA	06BAA74D8
37	348F831C5	2E44BF3C2	3D9F6F454	20746A30E	08D183029	35C6BFEA7	2729B552B	263BB2EBD
38	202D7F08F	0DBE1C144	132F4EC09	184CD9B93	2596F5884	2A55B8217	2BEAE02D8	235A19A43
39	2DDE3FF5F	23932555C	001ED92D7	22FCD3D60	2C0737593	0B27E62FF	0693CFBDC	284D5B33F
40	1DB9AB8E9	2995EE0A1	1ACFE9892	0D41BCB9D	2E3806507	25CCD5D60	3536DF04C	0BB0A5E3B
41	3FFD4DD82	3E69CC1C1	2BC30FB74	3462F70FC	164FAE762	09B83F8AD	1DF593F3C	2DB478034
42	16E24E9B6	0A9FCFBD2	3A018544C	1ED8E2855	0037681E4	05950E1F8	1107DA097	377A25C65
43	03C9318B8	0C70A7749	0D58708C2	0CA2808C4	219E02554	39315B2F2	2E089B00F	302E135C7
44	04DC211E8	1DD20A505	21A50649F	2CA438C04	39CAD66AE	2E1BD969F	002748760	069924211

【化９８】

45	2E84BCF09	226F5D43C	37BE7EB10	07CDC854A	06FB50D48	08966435B	01BA5E5D2	1D34057FA
46	2D8DFD565	0A30D633F	33F93B7C6	0B330E9D2	0E659B262	130669024	19A9D5F64	38059132D
47	17E4777AE	1308F9046	2F7C0483E	1859E0943	0982C9101	05453D92C	001F53877	388A571AB
48	00D29CC63	0A6D3BDED	1CA44D2AF	388C002CA	2A3D70EF7	2DD3F5A6F	39FEAF0B6	11DFE385F
49	3E3A6CEC4	122F5E8BE	360B96301	0632CF244	2E8985A9F	0FD256C87	0449C29D4	26B713C90
50	238150687	3D96F7F7B	0091E6D18	21802352A	02F7A466E	0A5BB6648	350DA85DB	1C97F4544
51	306BA76DE	379A88697	3F0DA31E1	0EBF48C71	27F8A46EB	3F75A19F6	277002F97	275B43715
52	24D946CC1	38DF102DC	3EFE1F5B3	3C316E148	2735B20CF	0688E430F	0316DC923	24919BEA1
53	0EEAF72D2	3C7248573	1087A7BD6	08EDA9BF6	2B5D97BF4	26733DC60	1190D275B	2EC7ABD30
54	37C6AB63E	2FFC9C790	02CAA37A7	1B34A3F84	0022CD5F6	3ECF891BF	193D545E2	0172C674E
55	0848A41C3	1D8150EE7	3D8A8549A	2595F707B	00640B276	2D44EBDAE	1CAF37453	377EF590A
56	16B7A5F7D	1F5AA7998	382300A8B	218916E53	19D00E728	1EDA11790	0BBDEF9C4	1DEB15796
57	3EFB3368D	392AA88AD	29CF3CACD	03F59ED8A	1042098CA	1721B8F3A	2B5DE9312	0CB5E6F23
58	1A8B0FB9E	3FBC09C8B	3D7F3E248	034C9BCB5	1BDD89300	3392476C0	0C10AED4B	23BECA42A
59	0EBC749B6	33453C7F6	304735F5C	334628143	1DAF6E7A9	11BB9C393	226C5E4FF	170372039
60	3F9262CBC	0693308C8	21B563415	09BDCC403	0112C79D4	2DA9F1134	36AA1CD7D	3A1608BFC
61	218AC590E	0FACC734D	02132C9A3	27087557E	076B3ECE7	2EA16BA3D	0E1D452F1	3F70B027A
62	004F9DC68	25BE3AD9C	2CBD3C07B	3F9DECD71	3E771E15A	11FF2F24D	2AEA5DF67	1E838955D
63	3A04BC376	1D19254F1	00F92DD2B	3C57484F3	181D0973E	319F9CEEA	053ADEEDB	1A3C22150
64	0F78BA6BC	2DFE0E681	3035BD77D	0A0FFD148	275F50C66	2246E9053	27B2BF3E9	1741894F8
65	1ACCD0F79	22F0AEA4F	32796ADB5	134A4A876	183D989E3	204C4BF97	22300E86F	3F18744A3
66	3EB6E19EF	1B24EAB88	2E318F810	3F07B618E	26B4C0C87	31CC10EA8	169E1B650	017DF88ED
67	2BD9E8FED	0AB104122	30C9D81A0	09EA73C7F	141357B1D	000A7DB48	1DD06FD41	0AFA8EF72
68	19CA5678F	28A89AA43	1DB945917	262AF69C3	3145A4473	3742CBFF5	1BCD965E9	1B0E7FC84
69	077838B25	2BF7032F8	23DC2E014	028544277	37B411B5F	392FF6CDC	1D66F2BE9	011372DA0
70	39596216C	05A651F63	183A6AE26	0D1FCA203	0FF6F0D22	2FEB8364B	05A438ED8	32D045F13
71	3711AD513	290B237FF	20E2A9B26	0C72A0234	2F1ABBE93	19B505378	354ED915D	0C359F272
72	1D7786BA4	1CCDF053A	36828B333	0ED27AFB6	241326FC4	1A9C37F8B	0A9C3C372	05937E898
73	1053B9CDB	040B97B1D	0D4FF481D	23AD465A8	2906EBDE2	0C4F6C09D	2189C5FEA	2D90D305A
74	39073122B	35FEAA236	1B38B7A90	2E02AB9F7	219FEEA0A	36B3B2EF8	39A3F4C8B	15A42C9DD
75	2C6326A9E	33F7536C1	2A120C75F	37030CAA0	3A011882C	098C8504E	3B92D756B	175811CF9
76	38A0F736B	2BD9E9C32	3B989715A	2A646ADF4	2D02FE38C	11AC7E9E6	3F5464862	0F382B0D8
77	26897D80C	145B21D3E	143F5E320	30549707E	28126710C	122CA92BE	3AF47270C	0B544128F
78	00E931208	2E1E75EAA	374C36E5F	21724DFC5	1DFCD2028	1B3FF774E	3A826A68B	1781CDCA4
79	0C3D7268D	0B7A26BF9	1587CE5CD	1D04E1E60	36240C07D	1AC403449	0417F9622	02B9F8BED
80	1B569F488	08A3F3A46	377F03A18	2DE416045	1ED96E381	33F4F16DC	2C8DAAE4F	33E384AC7
81	13F709786	02A4E32CB	14C7F849E	09EA16987	06C849EA4	219E4B995	243CB7F07	253513BC6
82	09B83FDF2	119D60439	278290BFF	2483E6F2C	0EDEC175D	242A669C1	3EB639EF0	31EBB4CA0
83	22CAEF0E4	0B2FCDED0	19BA79607	343F81C7B	289AA213E	358AC9FFA	23956ADA1	00BC725E7
84	1186F95E3	2F95F4048	3CFBF41E2	1D1E4BE96	26B38BA65	2F715E590	2235C0029	2C89AF93F
85	33437ED6C	12F14DB69	2E70F5611	183752704	142BC8B34	3B90ECD86	1C11EB493	1022D4782
86	248457F60	05B9A28A5	0A2A5DD56	16002D9E7	34C87FB16	2E32BAE0C	21065BD64	1CCE92BB0
87	1DCE3941A	1D940ACE3	30D331B98	3D5A3BAB6	119791607	10FB0D788	2C78E9015	100B598E4
88	39C0BC811	1B886594E	27AF50C73	2DCEA05E6	0805EDCA9	3A5989B08	18AD24255	1683B7CF2
89	186A3D233	09E8B95DA	1ED9F3DBE	1B19A74F8	356CA7443	316C9FBE9	3F8A3162A	3A0BC11CC
90	02F039B63	2F02D3E75	0F5B5E89E	3D062255C	222C6AA4E	25DEA06FB	39488C071	139318BFB
91	27B5B6EE8	22154E0BD	3FF7729F1	1052B1947	3D477BF2B	3EDB6745A	1B30CF849	030F84AF4

【化９９】

92	27B2D40BC	01EE5E9B6	24B0ACF84	3370F65E0	067D8DFA9	1C01B9327	26FF8FDB5	3809C0CA6
93	11F581193	07B9B7A7D	1CA56B4A3	3D088CC6C	11D52C38A	344760F0A	3D3AA336D	0118CBD93
94	096990784	2960D1672	3BFD7D847	2BC297EEE	32168CF28	3912FFF6C	08ED9BAB1	34452C6E5
95	02CD48DC2	186403849	24C6EE1EA	12ED5268A	2718C00E9	27E8F18CF	145913E2D	0B09009BB
96	06B97DD08	2880C9B96	37EB87E03	14C4ED01D	17041E5DC	347A412CB	088CE591B	0BE926B22
97	116250DF7	1745B4329	1102B7093	1CA549C5A	25244AB6C	374E0F19B	274F76015	0FB738F16
98	12841B9E9	1F9C4AEEB	1445F0C98	39FFB6307	02AB688E7	0FD8B499E	28D533072	138F162EA
99	22BD9525E	2030E58C6	25F2CD033	157D93437	1442E92D2	3D6EE9DF3	3CA5B469D	0588A0FAE
100	0FDEC177D	2606157BE	2224E556C	0C6F33897	0F830DE1B	3C3F9C1D8	2AF576923	0D4173E27
101	376EF82C2	30E3C582E	0A82DE29A	1B8D454D9	079ACE6D9	2579984C6	392F28400	24CEAEDF1
102	1CD4AA9D2	1DD6F4DA5	3485B7150	105DE02F9	22168E0FA	24F48AA6C	003771A39	306890843
103	1F8303786	2C981AAE4	0819F22E9	0A1D88D55	3B4C012FD	0214CDF52	19DF3BE8F	02364E19A
104	1364A15C0	16E9F9961	17E598810	2654E5A2C	09B43C7C8	3A5E2AF45	14FC71E26	2B4BA69F4
105	12E128BEF	19166342E	04A1404B7	283D17B66	014836F64	13BE0B4B5	2F8583C08	2B19A7FB4
106	19F83FDE2	361D25170	36354011B	3FF4EC74B	1B2128FF9	0C849EB1B	096B991D8	1CA7A74AA
107	32E0BEF35	11A61714D	34C56D40B	0742C52FE	00ED2F1C4	3997FC7B7	06E414374	180DCD64F
108	18399ED59	224E6C2FF	3450F1BB7	27A1CA959	21B5E00F8	13B67DAE8	0B14C022E	0E41BBEE2
109	318D94D05	2EBB53B17	331C3E6F4	0FBCD71ED	380FF18B8	3E3C75B26	0E0088A18	17553D2A2
110	37AC7E5D5	27C9EADFA	3FC47B5E4	38699BB57	1564F8B27	3579C7FEB	13401BD88	0DB519DE0
111	0FF4D6F22	3C84242F3	2DEAE40AD	305F320A5	244CB97B0	0892DA905	3F09D5CB5	332E7DB02
112	31479E580	1B6AD13E0	16A1CF9E2	33A0A119A	1AC8388E9	3D4105F37	226501835	27AF1310F
113	1CBDAFE39	3E5A30C1C	236E9A029	063430D97	0CD91A825	02F335D7E	1989FE0BE	13C4E2A20
114	10B393370	33CB79316	2CEB44FC0	236019420	248F95ACB	35034B6F0	365691771	34A8FBCB6
115	25463FC5F	082FC0ED2	038ACE1CC	3E959B49D	21B8C04F5	08633F3A0	3A5D18159	12B3EC4C7
116	167B32C3E	06FF88387	34C3F468B	3239005B2	121C913AF	21C90CE16	28B54D557	3811CB0A9
117	221BD0503	0AF619499	21F8D40C1	1B3DA7AEE	3FA2E3B05	348466C50	10F12A28D	0E70B26AB
118	1D79A57C5	315D2460F	1402B8222	28DC66FEA	1BCF748F9	2AD5D4227	0094D2CAD	25EA22A58
119	062B39CFB	310E8818D	0F2D0A235	3F6468866	33F86F342	39CAB5BBC	2E7D6A8BF	3E9218162
120	2FCDEA0E0	1BDD766A4	2827B99BB	0B5F04CC9	1C9E02A9A	1A6675ED4	033497A06	07D4ADD44
121	3CD46CD9D	311A64A85	24DDFE6FF	3411C6FE5	0D0613CDA	0E9276056	178ACC4F8	23DEA3CB0
122	2762D6A40	306FE3843	1402589C8	382B07654	160BA3DEA	3815B54C8	273960105	2076A15E5
123	1C593A744	1562487F6	0C38617B4	2CA68266A	071C4BF93	2593F0BDC	1562436E5	199BEEA49
124	35B8C7503	278F57EAA	34A804061	19C657A74	385734710	3FAC27628	0707BED4E	32F20F45E
125	34994C46C	1C6B99499	1AF24D850	11AD795D3	19288BFE9	1360C1B96	3B5D8DBC0	2554E72D6
126	22D7095A4	34B70502A	3F0CB27D2	04FC214E6	24C0B80C5	03D6F4DC8	1432A099E	26300D70E
127	21C33416F	18B894695	3AC062614	3537CF601	00A20A8B8	1CD10BAF5	394DF1DC0	0925851ED

ここで、ｑはシーケンスインデックスを表し、ｂｌｋはシーケンスを構成するサブブロックを表す。

【請求項１２】

前記第１シーケンスである$W_i^{(p)}$は、下記の数学式によりＱＰＳＫシンボルである$w_{2i}^{(p)}$及び$w_{2i+1}^{(p)}$に変調されることを特徴とする、請求項１１に記載のシーケンス伝送方法：

【化１００】

$$w_{2i}^{(p)} = \exp\left(j\frac{\pi}{2}\left(2\cdot a_{i,0}^{(p)} + a_{i,1}^{(p)}\right)\right)$$

$$w_{2i+1}^{(p)} = \exp\left(j\frac{\pi}{2}\left(2\cdot a_{i,2}^{(p)} + a_{i,3}^{(p)}\right)\right)$$

ここで、

【化１０１】

$$W_i^{(p)} = 2^3\cdot a_{i,0}^{(p)} + 2^2\cdot a_{i,1}^{(p)} + 2^1\cdot a_{i,2}^{(p)} + 2^0\cdot a_{i,3}^{(p)}$$

であり、ｉは、０乃至１０７の整数を表す。

【請求項１３】

無線通信システムにおいてシーケンスを検出するように構成された受信機であって、

ＯＦＤＭＡ（Ｏｒｔｈｏｇｏｎａｌ　Ｆｒｅｑｕｅｎｃｙ　Ｄｉｖｉｓｉｏｎ　Ｍｕｌｔｉｐｌｅ　Ａｃｃｅｓｓ）シンボル内の複数の副搬送波にマッピングされたシーケンスを送信機から受信するように構成された無線周波数（Ｒａｄｉｏ　Ｆｒｅｑｕｅｎｃｙ；ＲＦ）モジュールと、

下記のシーケンスセット１乃至３のうち少なくとも一部を保存するメモリーと、

前記メモリーに保存された少なくとも一つの第１シーケンスを用いて、前記受信されたシーケンスに相関演算を行うように構成され、相関値に基づいて前記受信されたシーケンスを検出するように構成されたプロセッサーと、を含む受信機：

【化１０２】

シーケンスセット１（１６進数フォーマット）

q ＼ blk	A	B	C	D	E	F	G	H
0	314C8648F	18BC23543	06361E654	27C552A2D	3A7C69A77	011B29374	277D31A46	14B032757
1	281E84559	1A0CDDF7E	2473A5D5B	2C6439AB8	1CA9304C1	0AC3BECD0	34122C7F5	25362F596
2	00538AC77	38F9CBBC6	04DBCCB40	33CDC6E42	181114BE4	0766079FA	2DD2F5450	13E0508B2
3	3BE4056D1	2C7953467	0E5F0DE66	03C9B2E7D	1857FD2E3	15A276D4F	210F282AF	27CE61310
4	3DBAAE31E	254AE8A85	168B63A64	05FDF74FB	3948B6856	33656C528	1799C9BA1	004E0B673
5	177CE8FBC	21CEE7F09	397CD6551	01D4A1A10	1730F9049	067D89EA9	3AC141077	3D7AD6888
6	3B78215A1	17F921D66	385006FDC	011432C9D	24ED16EA6	0A54922F1	02067E65D	0FEC2128D
7	01FF4E172	2A704C742	3A58705E1	3F3F66CD2	07CA4C462	1854C8AA3	03F576092	06A989824
8	1A5B7278E	1630D0D82	3001EF613	34CCF51A1	2120C250A	06893FA2D	156073692	07178CFA7
9	032E31906	2DD318EAA	1DE55B14D	0EF4B6FB3	27DED0610	1BC8440D3	0ED86BF8D	14FAFDE2C
10	174725FFD	0D2FB1732	124470F56	292D9912B	1571408A7	227197AE9	2430BC576	0B67304E0
11	1F1DCD669	293DD1701	0C34F1B84	28496EE51	3DC41327F	071C06523	28E1657B6	02588EFDA
12	22E4AA041	3810362F1	1955F1DE7	0D6D2F8BE	11F31358E	3EB27BB12	1F4E60111	119BDA927
13	14300B522	152E6D482	168DF6E43	0740B7AE0	14FE7DCDD	0FA092626	23697615A	1F1331EB8
14	12C65ED00	317643CD7	2C637A415	15E3E5185	0F5CBB9E0	23290B156	26F37EFE8	1AA174793
15	1DD6453F0	032C4BD39	082659BD5	320C5E691	224E555B2	3A9615A8D	1BED03424	28E6A9CED
16	068AE7EE9	16F724910	3803DD9BD	2A31A2FFB	010BF5237	33CB067E6	0280C28B7	184417B94
17	1D651280A	2C7BCF443	17324EFB0	236E5C411	381215183	2F076E64E	0A6F2EE74	3DA4196B7
18	27341650F	1B520099C	09AC91114	000A5F48B	30AB4B9B6	2D0DB0DE6	1CF57978A	2D424406B
19	3A01E2FB2	0DF5B257B	019D1C63A	0EA7DCDDB	242D96605	2DA675F15	1DEC54193	3B6341C16
20	2DDFAEB05	21D0A1700	0FA09BB78	17DA7F8BB	06E883B3F	02E6B929B	2C1C413B4	030E46DD1
21	1B625E3F9	0F708F756	00CD97B18	3F036B4DF	2CF08C3E5	213A5A681	14A298D91	3D2ED63BC
22	2DA48D5A9	0C085BD17	01903428A	3DF2A30D9	29061309A	16F7DC40E	2AF88A583	27C1DA5E9
23	30DBAC784	20C3B4C56	0F1538CB7	0DDE7E1BE	2C312903B	0FF21E6C2	032C15DE3	26C9A6BA4
24	3188E8100	385FEFE2D	3967B56C7	3F62D246B	1826A755E	2CDA895EA	2FAB77825	1B525FF88
25	339467175	2DE49506B	27B7282A9	0254470A3	3374310AF	2DF20FD64	3848A6806	11C183E49
26	02AFA38DC	0F2AFDDF4	1A05650E2	061439F88	11C275BE0	30C41DEC9	119E070E9	1E76542C1
27	1B364E155	086FF808C	29F1BA9DC	0A830C788	2E70D0B3A	34EA776B1	3D13615C0	15FC708D4
28	38ECFC198	07034E9B3	2340F86B3	07562464C	22823E455	1F68D29E9	257BB66C6	1083992F1

【化１０３】

29	375C4F5AB	3C0F5A212	0EA21BC30	13E8A26F2	17C039773	283AD6662	1F63AB833	2DE933CAF
30	2B773E3C5	3849BBE6C	1CAD2E5AB	0405FA1DE	1B27B4269	3B3BF258F	300E77286	39599C4B1
31	1E878F0BE	0AE5267EC	376F42154	1CD517CC2	302781C47	123FEC7E0	16664D3D8	24B871A55
32	20E200C0A	1C94D2FF1	213F8F01B	369A536E0	161588399	29389C7FC	259855CAC	06025DCE2
33	28D2E001C	3C51C3727	106F37D0E	1FB0EFDD1	2CD9D33C3	1EA190527	0BB5A6F9E	074867D50
34	08EFC44B5	1B484EABE	05FEB2DE2	211AF91B5	0CF52B1E1	002B5C978	11D6E5138	0D402BDD2
35	337C618F4	0A4C31DDA	1D93003D6	006D7D088	348043A6D	325E05758	2C53EEEB8	15ED8E614
36	38375C2FF	18C78FD02	30C11EF53	3916581DD	1B75263FF	2D8DFD6A9	00C4E8482	1D201F96A
37	2E10B0D05	2EF203893	2491D95F1	34D995B51	32214BDF5	3E45674B1	3E74AC66E	1B813A999
38	153E7269D	2391C7BFC	1ADD3A595	0EFD3086E	00AD88A8E	0D8B007CA	0F22C5F9D	010E86385
39	3B58C7BFF	0BA76496E	3AD0B7BBF	1D6D10FB3	3A607BEFC	28F122A95	057950727	179449CB7
40	37AC5194A	390BD9C00	3A48C0461	12FBCE4C6	2A8DD4171	10E9F1E34	251F5D167	1124E96B1
41	0FEF20C67	31EC9EA3F	275B31143	22DA4F02B	352C0F648	21FF5B9F3	3E5BC2372	0A1AE08FE
42	080EDC49B	17AD7F7BA	390775B3C	1380B00DA	2477FF17C	2E6D9E5AF	05381F2DD	26143CC17
43	2DB485795	1B3252799	39AD0211C	3AAE31B76	30532A187	1C8EA5F5A	2EA6E4D6B	30570A2E4
44	11BB4F78A	12CCE1428	2C67EEF99	20E3F841A	20CFCD5F2	1618A7B94	111FF6092	2ED034E06
45	1C66335E5	0CA9B9BD2	3213028AE	15542DD28	290F7DAE2	2137F02D5	17DF9445D	24F162FFB
46	360FB966B	17D878955	1C1D67093	065B84F3A	1A1D955E3	24C73C11E	270EA9EB2	114DCA02C
47	002CE84DD	0616DD253	3EB188345	1FF852926	37E160F00	040DF51EC	1857A33BA	230FD8A0D
48	233C0A71F	22E428104	0325F8170	39566B188	32DA16A4A	039FDF1DC	27A3E946C	0D69F26D9
49	0583F9F73	378380CB6	059D8A960	3E3442C7F	026138ADB	25F370F1E	09D3EB2CC	2D37D50C0
50	08DF9CC66	2C2E7AA8F	3CB241ED2	03216B4D2	39736B451	25F6F113F	08FD2AC3C	1974574FD
51	3D1FF6041	2CE2AB97F	01A734F3B	1DCF9F3C5	268D595CA	1FBD2A8B8	0F1449F86	370C352FD
52	123218E40	3AA057589	20F73A16F	26E3BCA5F	3A7330DC6	12C659384	39D99FF1B	276DFC540
53	185AEDEA4	0418B3643	382F7700A	3FC35ED60	07BA2F838	1BC840C93	2469A41EC	0CE7B4CB0
54	2E194E2BF	3302A0B28	1836001EE	154A4738A	36A3BBD72	23CCD0EB1	044B3A13B	2B50C8057
55	0B76405D3	231AAA728	0EE05E9B6	0093A21F2	2065A01D0	1F2B810D4	1082F3A73	1DAFEA492
56	07AD23A3A	2091957F1	3B9D8CBF0	21E4160BE	1BFB25224	3D9085D16	03076DD39	1DBCF8D03
57	226D70EBF	3ED15246C	364130C46	22F6D4AA3	3FCC9A71	3B9283111	0484F0E58	14574BD47

【化１０４】

					B			
58	3F49B0987	305231FA6	0CF4F6788	3B9296AED	2346190C5	3365711F4	078900D4A	352686E95
59	1D62AC9A4	104EDD1F5	1B0E77300	1CED8E7F0	388E8002C	1FE6199F4	02239CB15	1FE5D49A2
60	21314C269	28600D12A	22E4F1BAA	044E211B1	0DECFE1B4	3E5B208CC	1CFC91293	21E7A906B
61	02C029E33	1BA88BE4D	3742AE82F	21EF0810F	17D23F465	240446FB5	17CCE51D9	2C0B0E252
62	16F9D2976	10185ECE6	2821673FD	02674271C	3A8A75B7C	226D4BF0F	2216004E5	0E8605674
63	06E4CB337	32A31755D	062BE7F99	1417A922D	2271C07E5	24D6111FA	3F2639C75	0CE2BB3A0
64	18D139446	2426B2EA8	352F18410	1133C535E	10CC1A28F	1A8B54749	22A54A6F4	2F1920F40
65	22443017D	2265A18F5	14E1DAE70	11AC6EA79	31A740502	3B14311E7	3AA31686D	26A3A961C
66	2018F4CA9	3A0129A26	39BDA332E	1941B7B49	03BBCE0D8	20E65BD62	2E4A6EE6C	3B095CCB3
67	0CC97E07D	11371E5FF	31DFF2F50	17D46E889	352B75BEA	1F1529893	21E6F4950	1BD034D98
68	275B00B72	125F0FE20	0FB6DE016	0C2E8C780	3026E5719	119910F5F	3B647515B	1D49FED6F
69	250616E04	0882F53BF	11518A028	3E9C4149D	09F72A7FB	0CC6F4F74	2838C3FD1	08E87689B
70	212957CC2	03DD3475B	044836A0B	2463B52C0	0342FB4B0	34AD95E9B	2936E2045	3B0592D99
71	2922BD856	22E06C30C	390070AED	09D6DC54F	3485FA515	064D60376	07E8288B3	3DD3141BF
72	29CB07995	007EE4B8B	16E787603	07C219E93	1031B93DD	23DEFF60B	30F1D7F67	0EFE02882
73	11F3A0A2F	38C598A57	3FE72D35B	1F655E0D1	0B3AC0D92	3430DDB1A	3BAADBF42	02D6124C0
74	05FC8085D	345A5C470	07DAAE1E9	0D7150B88	25D2A5B10	16F8E5021	3240EFC71	0F0F5922D
75	399F32F6E	2EEB17A8E	0D61665D0	2138EE96F	3F8119063	01B5048F7	27075153D	265DF8280
76	3962CC581	2337D2983	286FD7BBA	185126E0E	1F95AD927	0F7EBC374	1E3A4B6FF	20CA9B9BD
77	1C85C13AF	290C37167	1FDD26E8F	0C38736B8	0174DB972	0A921E3CC	097557C9D	09452C1E6
78	2D48D6C00	2D9BC8DFE	10FF1E128	25C96BA85	0FB071B8E	0F09B3C9C	1A3E11441	38EDDA03D
79	396B88B2F	0029F4BDB	30D098CAD	0D54D12CB	1D0823F55	2DC53B9AA	11BCF7438	33F6EC091
80	21E03CD65	1A2FE5B92	2851F8445	0251E386C	1468950D8	1A8B39748	001B42236	26CD82DA5
81	2CEA1E6BB	006C97E74	00C2B887D	23461AF95	0E9CB2BD2	0B0EA3022	1FB56A7A3	25A7FA625
82	208FC2A1F	381C5733A	03F11D7E3	07ED6A7B7	1FEC85E09	3D61E0440	356F4B1C3	3756E5042
83	2061E47F0	22EAA0AD3	24796BB65	03C59B4D8	32A75E105	22155381B	23E5F041C	155D2D7F9
84	381AFFB73	212B5E400	1F1FE108E	04BF2C90D	3C1A949D9	2854A9B45	001B09322	3A9372CC1
85	058B23433	0904C6684	158CADB9E	11BA4B978	1854368F4	1919ECEA7	147F1FD34	2E228AA3C
86	34857F3DB	2CB44F7BF	111A065D3	1BEAB392E	27F081ED8	3E67D1186	0F6265AC5	27716FAF9
87	38EBB8BF1	32ED6E78F	2B0BA4966	2188282AA	00D49B758	1765BA752	2B50AFDCC	068C82450

【化１０５】

88	234F0B406	02FB239CD	15AD61139	2250A5A05	1CD8117E0	0D849163F	268C7A5A6	22A802020
89	2D0FE8D16	0C14E3771	07DE5320C	0640C2762	1CBD9FF4E	37A91986D	2024DA401	164D4A84C
90	3225B4D60	3013B75F2	2A77AE5C5	2C25377EE	03C8DF835	346E80FCB	116B79FA5	356D2B604
91	0D55231FD	247907F31	0CFA0B049	36D069A95	10D4CDE71	1A32544D7	38336885F	173ECC08D
92	207420EAC	26FCFE182	3FE7B31C6	15B320E13	187AA34A8	1B52253BF	1FA16669D	3725A81A5
93	3C9C7404A	092B77FEB	3B9865B46	349456F61	39B7C6A66	3075EC990	01BE637DF	330897B17
94	1CA4C048D	2B4D50621	2BF917627	3EA2CC5E1	33EC0A1E3	05FE0F747	349553D72	396077301
95	04CEC1C82	1F828DD00	30122C790	1AD8A7895	1CE0912C0	298382F37	2D4D33F06	001364B36
96	37F8BB035	2F0897994	333F5F096	0F28AB363	20036829F	338017E2D	3A5A05D76	0CC02E5E0
97	02FD351E6	03E316288	2FCAEB4F8	1C5A80CE3	3D3AC3FDD	3E456746D	119A5381F	1581C894E
98	1623B3D0F	103224DB0	0FB936BC8	2EED7F082	26C91513A	2F12E4C31	290F3AEF2	392CBFF67
99	02F75DE8F	2E61A834D	02A692866	1F21044A3	2D7881A95	18651EE05	11FE3D308	39EED56DA
100	3A858659E	2F7A87BE0	135FD561D	27B3B651A	05E131CB9	0D5865123	2CD6991E5	3EE6DF705
101	3F3B247E1	32D02B245	16B98A593	1E4CCFF18	0C4A9D285	06D519FE2	023A336CD	1B20E999E
102	3A9E8B49B	239656AD1	3396D1C51	06F4DCF40	15D819D3F	2A3061144	20BD2A33E	2FFB139CD
103	38622F3AF	24BF9BB7F	1D2729010	15877B93A	00376B0E7	0FF064887	3505CFD9B	354C366B6
104	2A0AB7033	1AFA65DE1	1198D0AD6	38E80C86A	27693D541	3BB26F3D4	39154881C	0E7DD6B6B
105	1B0DE4333	27FE0F6D1	0F00B2888	0BDA322FF	2759B5A4F	0543A2D27	0C36DD1E5	04E9A262D
106	1C7E636BF	000E9C271	2B44F4F30	28255BF77	1CC4D69CE	03F4C57B2	3E926D59B	00AA39BDB
107	1FDE98AE0	0CD076B07	171124FB5	33F098288	1E0B3043E	39731D117	3E7ABC2C8	19CC50279
108	28EE855ED	2A704C371	03288F4B0	3C83E26C2	0A905148B	18C66BB94	1BCC32537	10D71AB44
109	26238A065	0FBD7BCDD	02507CF76	059F69484	3FE0D6F77	2466A50DB	3C07A75B2	2DC0F099E
110	3CDCD6CBE	1446783DA	1626C83F9	2FD4C4DF3	13A59A2D1	2C903D2A3	0FD37F076	0B1039EDD
111	043B07DD7	28D9C2155	2CCEF57A8	34254C1B7	09B933B2F	1FA410127	10BD5E9E6	010EC6389
112	345E8FCAC	226BD7EFA	27341A51C	23854F031	04C297212	044DED8E8	319B3BFB8	37DBBBF57
113	16FBEFA72	1B5EF9484	2DEE7A5BF	097695C12	08AEAD5E8	3DA7C1327	2B81F3E2D	31AFBED32
114	3484086B1	2DFA56B9E	226E8AFE5	285F45484	3E69AC8E1	1CB33645F	2DE53BC30	2F6ED567E
115	1117B5E7D	122A4D471	1AC936544	267010D71	10428CA47	24B72A000	2E27FE185	1E62C1403
116	0B3161E37	038C3DC98	100793647	1A95D8D36	399668787	06C0D4922	25F48AA58	2DFFF1789
117	04FEF7231	381910B63	298783078	30CE5EC1C	29F6F299D	3C34CA770	37BAAB139	3D2069B65
118	18F644052	2051880EC	23ADBF949	04237280A	18304E663	287364EFF	314698D78	149A21E51
119	39E14BBCB	1DBDA9EF	3ECCAD8D	1BA3EF99D	26D85CEB	270547292	0FB3C7826	0131E73D6

【化１０６】

		4	3		F			
120	2DD6F3F93	0FC282088	14A143DDD	0AB840813	0B973037C	29535C9AB	0DF8DA2AC	271CBC095
121	1C1D063F9	3F4EF6DCC	00128D932	145E31F97	0B21590D1	38F1602D8	3AC2EBB74	2320957C5
122	3383C846F	12128F29B	19985CE7D	2834CBBF2	1E1513B3D	364DB5800	33EE3F46C	01A865277
123	0129D260B	238A85BA0	2D81AA924	3917048B6	36F857692	1D2F813C3	0505FB48B	3DC438BC5
124	05E0F8BDC	3D978C1F1	266F83FCA	0E89D715A	01821DEA4	12D9AE517	22F8EAC2C	3C098DA58
125	1575D1CE9	26F291851	3A7BB6D2C	12CC21A3A	2975589B0	39CF607FF	388ABF183	3D3BAAB0B
126	101E5EC7A	0B75BCF3B	13ED25A86	35FC032B6	2F6209FF0	13C7B2041	1F2791466	3A759A6C2
127	1EF89091A	11A653D2C	223FC1F42	2F7B97B31	2CA4EE011	00F68767D	10FE34682	018339212

【化１０７】

シーケンスセット２（１６進数フォーマット）

q＼blk	A	B	C	D	E	F	G	H
0	20A601017	10D0A84DE	0A8C74995	07B9C4C42	23DB99BF9	12114A3F5	25341EDB0	362D37C00
1	1364F32EC	0C4648173	08C12DA0C	19BD8D33A	3F5F0DDA6	24F99C596	026976120	3B40418C7
2	1C6548078	0A0D98F3C	0AC496588	38CBF2572	22D7DA300	1CCEAF135	356CA0CCF	093983370
3	03A8E3621	2D2042AF5	2AB5CC93B	05A0B2E2E	0B603C09E	117AC5C94	2D9DEA5A0	0BDFF0D89
4	07C4F8A63	3E6F78118	32CCD25F2	1792A7B61	0A8659788	1F9708C04	086AF6E64	040B9CD78
5	2D7EE485A	2C3347A25	3B98E86AF	242706DC3	1CEF639AF	2E1B0D6A9	3E9F78BC1	0FB31275F
6	0307936D0	21CE15F03	392655B2D	17BE2DE53	3718F9AB8	01A986D24	077BDA4EB	1D670A3A6
7	05A10F7B7	31900ACE0	28DCA8010	2D927ABE5	370B33E05	31E57BCBE	030DC5FE1	093FDB77B
8	092C4FED1	268BF6E42	24576811F	09F2DAA7F	24EFFC8B1	21C205A90	1E7A58A84	048C453EB
9	29F162A99	1F739A8BF	09F684599	1BEC37264	38ED51986	286325300	344FC460A	3907B1161
10	0E4616304	0FABDCD08	0F6D6BE23	1B0E7FEDD	0047DE6C2	36742C0C6	2D7ABB967	10D5481DF
11	32DD51790	237D6ACFA	2F691197A	16724EA58	149143636	3810C6EE1	3A78B3FC6	1B1259333
12	1BB0FD4D3	235F10A55	1C7302A27	1148B18E5	04F25FBC8	2A0A8830C	3646DBE59	2F25F8C30
13	0FB38C45B	069DF29E9	00F93771B	3AA35746D	2CAF48FD0	0A42CDD55	19A23CE8F	26318A30F
14	365FBEDAC	27710945F	2AA367D61	05A484318	2563F27D9	2D37D5C00	287D18FBB	3ADB44805
15	3038BC77D	2A45D29EC	156173792	03EC7679E	07577E1A4	1B6A94A74	1D26E5A94	0FD878D5A
16	1F22158E4	3F02A1D37	2767EC03F	1C8CD535A	23DA2E5AB	2D5F25A59	0971AA889	3E78C1846
17	16521E709	12C2DB8FE	3A596C221	1562D5C27	1D9E1F39A	345B96872	301C7894E	2797F032D
18	2EC951A24	1ED768F3F	11217930A	39DB44855	36E41B3FC	0F6E48C44	36254C517	14493C673
19	3EA159E72	24ADE96FE	3458C73A6	30674E1FB	242109AF2	24DAF32B6	24B1EDFFE	291CB9D15
20	2AD0E6696	04F4077D9	1BB279A53	38957605B	379B7A6A0	0BAD35616	1285EAE51	37425C7FF
21	083637980	34F2ED66F	282846A88	19D5E40A6	21205942C	27AC551E9	0F3F4C262	0505FB522
22	3E7D64856	1DB0E599E	159120A4B	1FC788139	235C454FB	3CE5B67C8	339EADB32	0F9F7DDC1
23	3956371B8	1D67BE6E5	1EFCF7D53	041A5C363	2E281EB3F	00AF8A1ED	2DE24A56F	1332C0793
24	0818C47A9	1F945634B	1C5ED3403	1043B5BF4	149702D22	024CBB687	34B01FA8B	1E9F5992F
25	3A6618167	3A0007886	3EDB5756B	2F2FA6FCD	21A5252B8	396FFAD9D	05347B60C	2E0ECA200
26	0D45F89A1	3F9C2C26E	1CBCF809E	3CBE5FCD0	3D2DCF245	14F351A1E	224F5B3FF	2AA6ED34B
27	3BA85ADF8	282005732	3AD7C0223	2E73D1800	23DEA3F46	2275280F6	1586270F9	0CEF4287B
28	07DFE662E	314B74F2F	397BDDC4C	223A8071F	1F5BE3BB4	093BB1F33	0FCA2D129	21B3526A9
29	39FEADC12	0ECE1CD67	206228FAA	38FCCA606	0C5EEE08F	1C1BBDD4E	1459E42ED	11FD64ADF
30	2735FFB20	2AE9B244A	1A5AED974	38FCFD5CB	20310DB81	1C5FC3E24	19FB3BA17	3785BE865
31	24FF6B7EC	01C682673	19CB14113	2C8CD3C2A	066725853	02CD0A23B	279B54315	0CD571063
32	015E28584	30B497250	127E9B2E1	2C675E959	05F442DEE	394AEF6E2	079E5C840	12703D619
33	3CE4B1266	35270B10F	03549C4B3	3B3E6C375	1DBEF270E	0042C9737	049522EC6	24961653E
34	34176CD90	2B5E9EAE1	1C95E3C2B	1EF541D4D	26D1450E6	3B9D895AB	1B0C84349	104B6B428
35	07A813421	2B39EAADC	33553571C	0F8046CDF	2CF6A7F23	0AE3BE8C8	308BFF531	2DBC0F9E3
36	168276972	2CF41744F	3CF2512E0	0F8B68ABC	2E609F6AF	04E03AC8C	0F9B66F49	3AFE28736
37	03456021F	1982574F3	0BB2B3F49	15A4A1CDE	15487D58E	2907C9ABB	15C0D2D73	28D8CFEC3
38	3D3FD677C	33AF2628F	3D217FDCF	30027E85F	0A463F23B	2F2AE8324	1D1E945E0	2EB355D28
39	3BCAF9076	3A7D2FF70	3C541F38B	249BD8A94	287BC4833	141391EB7	05B6443D0	2FEACC5E7
40	275F118FA	3A96B346D	0C713CDE5	02F394A28	3EBB1D18D	1BE7A9FDD	223C53CA1	2BF040F77
41	1161DE4F5	0544F9DB7	230847E45	322AF4E17	26944A0B4	3299F1420	1C9405B8E	2DBABD4CE
42	33165C531	268FE9B9B	081A914B4	39100772B	27DBF03E9	3E3A18AB0	13F2D2B83	2CEEE5FF4
43	275F97006	0A578F2EF	16CEE7EC8	38A5B0084	00DC9A1F5	1B88CFA3D	0D8B0B8EF	29FC4CCF2
44	04BBE4F2C	1546C3988	237105A43	339042B36	3A5DEBE2B	1BD09449D	38EFF588B	1CDD3A6C0

【化１０８】

45	002E32D38	1E85D3125	3F51120D7	00420ED63	3384713AF	1D941BD34	2B39EA9CF	05B6D9E94
46	2B3100F7B	335EDB2E6	1AC8C8EE4	337FF7139	0672D7995	38A54856E	0124753F2	3A3560851
47	046207CE9	0FE1BC312	09BA5B289	39376EF2B	33F826C2C	2F6531496	3933B8616	23125B50F
48	3E5849C45	01EEDB390	141D9A024	2DE07E565	1813D12BB	36DB8D404	0E8A272AB	3A66B71AD
49	1A2A88A4C	3F0C9B4DB	266CFBDF9	163420CA5	281ABBE99	34771C295	3AC051848	3C53CB875
50	16F795184	3466F1FFA	1F433B456	1DDF13810	25F58CF69	1DD6CFE4E	10A236FDF	12AE697ED
51	1C8D17F4F	07C43B7D1	1C8DAD395	28F6C112E	3A336ADB3	0EB6889AB	2783A6A1F	2CDA40458
52	16044624E	252AA04B2	11484E85C	07F5024B7	286E3A67F	2EE6BACE4	277F1F864	22F3CF57D
53	2D1A3F4CF	0EEB6DEC1	30CD76F42	20403D1AC	3A72EF9D6	1DAAF2A39	03AB76CE0	0A2856267
54	0FA2A786B	38273EDF2	228A45016	0309DF52D	093BDAEDC	1B11E9300	1DA9C5324	03365EB1E
55	24DCFDC06	11CF909D6	2FF693F4C	366338F1F	22E641569	0ACA60D55	32D1B009E	035472E09
56	17F5D6662	062FCF913	35B211035	21ACE73FB	3B4148706	2D0CD106F	2CAB457A4	103E1E49B
57	21859E8DA	2F1E3B3D9	1F1014BE2	062A3DEB5	354C0C786	05A8982D4	35A758943	346EBA72A
58	00CB49E5F	211B1034A	3A5D2DAF1	21D3F3EB0	24B2D1150	1097C3685	2AA3671CE	0E5DC1308
59	24C8401BE	217B1F994	1FB9664A8	3D5057708	05A506088	1314842B9	3C8657064	14B1FA77F
60	2AD698E2E	3C129D1F6	2C744FF4E	1C1C052F8	18C38A9FE	252168A10	2EB68D098	3A001CBD2
61	2AF71324C	2BF41D408	0FC498E18	149A1A407	0FDC2C4A3	19D00C4A1	0F6B0DD29	268CF8E86
62	19F4D82A5	342C73FD5	0F5AEEDE7	21A2A8953	15ADB7A94	11DBE038D	0A5B6634A	0FA382B77
63	0A5985778	35AC3032D	35691C85D	2829D55EE	04A3FBD8C	2C85BFA8E	0F459B864	3E878F0BC
64	10C785EB0	054D4CE18	1BF657A8E	101DC64EF	0B4E3032A	24ECFD9C2	00C98BE0A	2A1F82444
65	300E8B09C	31A079FB3	0C41DEC5F	216CCFE4D	226C5A693	3C31A41DD	3A019974C	23B64EAFC
66	249BDC80F	0316ED79E	1E42B5567	0CFF04A4B	310678543	34D986980	1E3195429	280966E65
67	359A72B64	186A3999D	065825DDF	2D28E6000	10964C1E1	1468C970E	34C8B606A	33CC94DB1
68	370B29C05	12841A9E8	2147E7160	1835345EE	06DB43F37	33854A725	065E6614C	151E2D7B1
69	0EAADDB27	004EC6DDD	30AA39B8B	2AEB34AD4	2A13D6649	00EC67B83	1176417CE	0E3683151
70	0832BA87B	3B67515B9	0FD34BC87	1688F83CB	370B52AD5	3A2CD6F3F	3343BF461	37BD48546
71	16EA2751C	1799D9C42	24055CEC9	226A907D4	133C68F80	22CA03BF0	05F723395	2D35008AF
72	122A5C67D	3E46230BC	09F475BA9	15B4B6754	11DE75C50	28C17544F	1D85FAB8D	0D5AD9537
73	1C5497CD9	3D405F487	05535D737	06952087B	1C4744AF4	3E0EF881C	3CED3D1BB	1D91157CE
74	1D276153D	14604EA77	1661FB979	3BAC5E9FB	089F41406	283154122	2AFDCE892	1FD5E0810
75	2A620F4C2	0DE484180	2D05E6458	3E6D15A27	0A92FF0B7	2CBF7BF53	25A2F28FA	19A10CE02
76	3A77B1FBE	2B262F810	2BEEA0F46	39706BBA2	09257163F	1026D5D74	2E2483EBF	1D6527C1E
77	0DC1EBA02	383C59C77	28C7ED115	06FED31D4	16F610DC3	000890B82	2FAD16A3A	35C9AD95F
78	3E5C1EBE2	3C65A7691	2394005B6	251B1BB49	1F42BFA23	0E8608C07	24666F55C	11A5214DF
79	323E882C5	2DBFF5E13	3638BC43F	38CC5CBB5	1DBF783FB	0499418C7	2285E5A40	1A61D17E7
80	1E508F19D	0CF345F97	0E5648601	0A0951DF3	1194EE717	0A6C0B374	03C4E19EC	06F725799
81	0B54F4AEF	186A12343	04C4A60C6	27C2CC0E9	3973075A1	392C5EEB7	3933C99B1	005F98CB2
82	021B6635A	3764D0696	20942B266	0155C4EDD	3FDBF7497	37356D442	374F3DB06	2718357FE
83	120DF6F80	0E41F376A	03544C7B2	2D6795EFD	29E8811F1	1B3EFD388	01CA4C48D	2067E8033
84	07703D649	35221AB50	22141A0D7	268061A59	2D9192B05	3834711FF	3A07258C0	36253B5AA
85	1C4A564C1	26804247A	16A4DB29D	0BEF93C88	37A3EAB6C	25547B136	3FC935878	250E3BF1C
86	17049BB43	0D6426761	2BF3A471E	1665820E9	14412A13D	30D5744B0	2ECE5CAE6	01395189C
87	29615B890	0A2C5A664	216DA64F4	3D4AA9D2C	07B98342C	2603F0D76	0574BDFA8	3F9B35D5D
88	3A0414B22	0A8BE885E	155C220E4	2D3B17AA6	3017E1B48	26508C6C8	3FF25EC63	240EFF072
89	2ACD81CE3	0468D7943	2A4108121	1F2E8E67F	3AB446179	33325CA24	3006DD3A5	1A33F3A2C
90	2B038BAF7	070660C4E	30953C7B7	3E7375D04	1D6A39944	001BE5C8D	199A89253	0A82087BB
91	03BF7C836	2CBF9FC48	38EAB1C98	11C303993	3D748807F	1EBD41D17	351085EF2	1C55B94D3

【化１０９】

92	116E0BE61	17BC8C403	31BD1EAA2	1CF87C049	2A41CC04D	3883EFEC1	3971BBBE2	190CAE3B7
93	172799BB5	3301DB193	2480B569B	34DBEFE9C	003287827	38DAEA1CB	0B0E25BB4	1972B37E3
94	3EF1F9EF4	189D8C3E0	1941998D3	259838BC9	28E545988	33BFC60D8	3572B10F3	197913B6B
95	24CF96D66	285347801	22BC70E5E	394231BCC	077583F4E	0364420AF	278FBF5CB	3850AFC8B
96	1B38C4A50	04439E0B5	3A7BEB18B	3003A36CD	329D5A2B6	1BB123AFA	049C2CC94	0F604D1DC
97	28D47EF33	24CF66B6B	24B716FA9	34ED7F6BB	186AE44B4	1380D0726	1CC51324E	16BA74F62
98	04422E60A	3424BA16C	3FF1B39DD	1A1E658F7	33457317D	14E822151	3EC02F279	28593D11D
99	0F2DF0912	21BBFA838	32D634EBF	2061148FD	09A565B74	2BCE430B7	34DAAD9FA	228ADAFE5
100	2D7EE0544	25D57B7CA	0FADAF20D	19B4F6444	3A75DF1C1	0AD3EDD56	0A4D61EEA	28C1262A5
101	1B6AEE253	0BFE02772	24AB19547	186A377A5	03089B4E8	128955F60	3A8DA9AC8	2931648B3
102	21BE0200F	00F34B4F5	34FF3261B	1A0E27AED	0A821AEFB	21B0BA404	1C6A644A4	1734EBB33
103	201FBFD73	0592E9D86	053D87C9D	3CAFC7479	22F1BA3FA	3DB25DD15	31D468990	22FF2B539
104	06C77404E	18AE64252	3963D899A	37179C03C	0FD2E3D04	191E64DBB	380B841FB	368E1DEAA
105	3A561759B	156243DE8	04325D217	33993D0B0	0CEAC2109	002242D1B	33C1D9F5E	1EC4195D3
106	17D7A9B74	1F44ABA75	17B572FE3	096008B9B	1F1E00AAE	05489F7A1	17A4C131D	1C018E923
107	0A4ACCEC8	1F294A30D	19CAEE64E	002787A1B	03EB3238D	27C10F626	1C9E656A0	3F73609F0
108	1E0E3C802	1B52D12AA	2F4E003B7	23BA7A6F1	3CAA0998A	32E96C916	168EFA1EE	28147EE33
109	1CEC9799E	215D9302B	176BB6639	003D5E371	12FE4ADB3	3106B64E2	001D9C28E	0F39059DC
110	31570792D	2260D7FEF	1AC830374	118FE7C78	08F982159	23BB2B13A	2C7944305	376396F3C
111	2D340540B	272E94D06	097C70995	0E70DDADA	1DBD644E5	341A72A58	01CBF5334	2C7999AF9
112	3FF17764D	0701DFAD3	146BDBB97	229D2D7F0	03C5DA21D	3A5916EC7	2390AC01D	197D64233
113	3E9759D5A	00B237425	0B7E646B9	190CB4D16	2646AA1D4	1A373103D	337E5EFB1	0199DE4A1
114	3FD5ADE8A	26B843860	0A2D0AA7B	3C351E07F	1B25376AE	05C553CDD	1DBC3F38D	019823A2A
115	30FF187B4	112F9D7A1	1AE977517	3760AF555	004F86368	3700975C2	0518029DE	032427D9B
116	3A86D49BB	057E649D8	2FDE33D7E	31254217C	30E05CE12	10BCC1CD7	1889C5139	38A163ECF
117	2610F5174	02A7ACB27	208B84FF0	14609CA80	0F3526318	38EBC7384	287C57BAA	279661A9C
118	014F6D77B	1036B3D2C	294F1999A	33A059187	26CCE0507	180DF3129	00A6CAE22	2AC0F23A2
119	347C62997	1912A710D	2260C531F	2F54BBEBB	0A2D90305	1BBEE20E4	0AF79997E	2376F3D0F
120	04484EB82	181977944	1C1CC2693	227ECAB0F	23F32982B	19E2F290C	1BA2300F8	0EFB06247
121	0EC048AD8	3B2168495	34FC02DA1	2C0CDEF52	0553CA222	25DFA4581	29CF66B6B	0AB9C21CD
122	2AF502148	3B00632F9	387CDC4BF	3F8B9F716	19084CD65	0354918C7	39D1FD9AA	0F5ABDB77
123	2C6E2557A	3E8A19D6B	3E6756A28	237E6E5BF	24CA57004	1D52401AD	0237F1D80	0FB2B335D
124	228F4B540	07532BF5D	101F67F52	29D8598EE	0421A0E23	2D89C2AFF	0963D2F3B	24C472A63
125	0CF3598E8	196A40BD2	00E63B26D	088A0BFCA	1C78E9016	03835236C	33071A836	3949DC586
126	3E815D747	1588D4E96	073C8D44A	303281AE4	095D31EC8	1F10F69DC	200F057D8	1F270128F
127	34F9ACB6B	384870FF1	257A863DE	34B36BA0F	3FA3D216B	27425041B	0E0DD0BAD	2E95AD35D

【化１１０】

シーケンスセット３（１６進数フォーマット）

q＼bik	A	B	C	D	E	F	G	H
0	13F99E8EC	3CF776C2A	3300A482C	0B2BF4791	17BECDFE8	35998C6D4	05F8CB75C	259B90F0B
1	116913829	05188F2A4	2DB0A8D00	2F770FE4A	185BE5E33	0F039A076	212F3F82C	116635F29
2	004EE1EC6	18EF4FDD9	26C80900E	1A63FB8A7	1DAA917D4	0E6716114	02690646D	0CC94AD36
3	06D4FF377	2716E8A54	16A1720C8	08750246F	393045CCB	1DBCCDE43	114A0CAD6	181690377
4	3DC4EF347	1F53452FC	01584B5D3	11D96034F	1FA62568E	11974FACA	191BE154D	397C9D440
5	05A1B6650	29835ADAD	2F6DDABE4	0976A607B	11BA92926	2456B1943	3E3FD608B	095E7584B
6	00CC66282	0560BE767	21EBAA7C6	2D8E9ACE3	198A9E285	05F3E73DD	13DA751A2	176B75E43
7	03D08ADC1	2254606FC	3C695D892	1DA9E0280	2CD4FF589	19B78A5A4	0CE67A7C6	12535A61C
8	0984647CF	0822BA46B	3EB2BC076	212596F54	11CC2E64E	120BADF9F	0DA72CEDE	30D0E106F
9	083CE5726	1F05DA925	169D93EF6	1FCADF3D3	08A5CF0BC	317C8508F	19BDCCFE7	0FACE3631
10	27583A466	1CB1634D5	03C7849F7	38C6CED00	1161C173A	15A645D3E	281A7ED92	076ADA797
11	33BA1AE8F	187F578EE	32473D69A	2458B703B	267E59071	0F317883B	3E7DEDBF1	3B9859BA7
12	0322609A3	20C4C957C	3FD638746	3FB716D79	36BD0CF1C	333B11B8F	0027ED1F2	3E7471BF3
13	3529922B1	0ECECBE04	1980B9B9E	38D60363F	18904BCED	108E3E5F1	34B95C446	338F51DAC
14	21FD50527	0EA2F7A31	1E294A159	114734A02	120B90BF3	3F3617C92	0129071E2	106640936
15	2B59354BB	275BF9761	39C6FF332	2004B3902	053F9DCB0	19D79A902	2B3125038	20649B43E
16	03A8A7A2B	091AE6721	18651FD9E	1F5415ECD	1B38EA62E	07FB0F422	3EB58896B	077FE4C7C
17	06A13CB38	340099B18	2AE6D6385	1669631F9	28E51A676	19A023391	261855F39	3E518F0BC
18	2A88F831B	09D295831	294C468DF	1477F0A13	37725C6EB	00E7DB222	27D610157	349A8FAB6
19	163E1C44D	3F98B6F4A	1805538DD	01EE3DB4A	22AA1797E	27568753E	16090F219	2C9838C01
20	34B0543DC	121B8EA82	00873B4A0	220FE7C05	2EDBEAE34	1104BDB93	0711E8C0E	0E1C107BD
21	226183AFF	15643DE71	04A4CDECB	2E67FDF8A	26D2A6D40	25E7695F1	1A99778F5	20FE0C1A3
22	0F7EAC09D	12BB72B2A	182E44301	2962EB85A	3477C1B69	3E3CF56F7	29C9D00C6	39788600C
23	31084BEB5	1DC90E345	391736CC1	3C8292AE1	38A0D515C	3977012F6	25D1F6055	36A7D3F8B
24	229D3ABAC	1044BA05F	0C391B88A	0636A90A6	0B14322AB	21ADC33E4	2DC1A3BFE	0D7FF6D1F
25	33C85B393	37BFA31B6	134F872F0	0C5EA36E1	286956ED1	1632092FA	382B4BB10	23DC3EF14
26	38E8B9BF6	0A0CE666B	207D98054	23FF360AD	121BFDA4E	347D442FD	242922C07	23C6E4115
27	263EA8516	36138BD6A	0ED9C55E7	3F0937876	03232BC24	18E5FFF26	3530CF206	3981B7414
28	1D9AC2E79	051B220E9	3F3B09EC8	0D3F6C366	0201A7CB9	3D5477092	22185FF9F	1C5AA5348
29	208D85694	22104E7C5	14BCFD3DD	3592DF665	1F4EC3265	24358076A	2D20A8000	017F2D489
30	36B3A9A2C	3F8E0F162	13ACDCCF2	16951F727	271E73555	1B3EDCDE7	162B45352	1CAFA635A
31	2D30FE705	3EC9BFC8D	1B10F8349	34F973F31	1CA96A349	1A28B4543	1C5367CE6	2DFAB0AE7
32	21D93EB5A	0E49D6211	3C6FCF774	09F44CACF	2D8CD2BEA	037DDAD3D	3BBD06D1D	39CBB996F
33	159B1F948	0183E8DCD	3A484866C	21F8DF1A5	219A58193	2D1B3C399	2275F19BA	0EFF4C612
34	22EB93A82	15047E272	15428D77B	38FFC612E	20609BE54	3226C8254	3E5568DB2	159284EED
35	34529707C	2E84585F4	20DFFB4C5	28288AA00	10EFC1E07	3C4D211FC	379087C3F	25716A7DD
36	20106354F	22AEB9FD7	3A6BAC67D	3126294C6	0FBC874AC	2DFE5675A	391B1DDAA	06BAA74D8
37	348F831C5	2E44BF3C2	3D9F6F454	20746A30E	08D183029	35C6BFEA7	2729B552B	263BB2EBD
38	202D7F08F	0DBE1C144	132F4EC09	184CD9B93	2596F5884	2A55B8217	2BEAE02D8	235A19A43
39	2DDE3FF5F	23932555C	001ED92D7	22FCD3D60	2C0737593	0B27E62FF	0693CFBDC	284D5B33F
40	1DB9AB8E9	2995EE0A1	1ACFE9892	0D41BCB9D	2E3806507	25CCD5D60	3536DF04C	0BB0A5E3B
41	3FFD4DD82	3E69CC1C1	2BC30FB74	3462F70FC	164FAE762	09B83F8AD	1DF593F3C	2DB478034
42	16E24E9B6	0A9FCFBD2	3A018544C	1ED8E2855	0037681E4	05950E1F8	1107DA097	377A25C65
43	03C9318B8	0C70A7749	0D58708C2	0CA2808C4	219E02554	39315B2F2	2E089B00F	302E135C7
44	04DC211E8	1DD20A505	21A50649F	2CA438C04	39CAD66AE	2E1BD969F	002748760	069924211

【化１１１】

45	2E84BCF09	226F5D43C	37BE7EB10	07CDC854A	06FB50D48	08966435B	01BA5E5D2	1D34057FA
46	2D8DFD565	0A30D633F	33F93B7C6	0B330E9D2	0E659B262	130669024	19A9D5F64	38059132D
47	17E4777AE	1308F9046	2F7C0483E	1859E0943	0982C9101	05453D92C	001F53877	388A571AB
48	00D29CC63	0A6D3BDED	1CA44D2AF	388C002CA	2A3D70EF7	2DD3F5A6F	39FEAF0B6	11DFE385F
49	3E3A6CEC4	122F5E8BE	360B96301	0632CF244	2E8985A9F	0FD256C87	0449C29D4	26B713C90
50	238150687	3D96F7F7B	0091E6D18	21802352A	02F7A466E	0A5BB6648	350DA85DB	1C97F4544
51	306BA76DE	379A88697	3F0DA31E1	0EBF48C71	27F8A46EB	3F75A19F6	277002F97	275B43715
52	24D946CC1	38DF102DC	3EFE1F5B3	3C316E148	2735B20CF	0688E430F	0316DC923	24919BEA1
53	0EEAF72D2	3C7248573	1087A7BD6	08EDA9BF6	2B5D97BF4	26733DC60	1190D275B	2EC7ABD30
54	37C6AB63E	2FFC9C790	02CAA37A7	1B34A3F84	0022CD5F6	3ECF891BF	193D545E2	0172C674E
55	0848A41C3	1D8150EE7	3D8A8549A	2595F707B	00640B276	2D44EBDAE	1CAF37453	377EF590A
56	16B7A5F7D	1F5AA7998	382300A8B	218916E53	19D00E728	1EDA11790	0BBDEF9C4	1DEB15796
57	3EFB3368D	392AA88AD	29CF3CACD	03F59ED8A	1042098CA	1721B8F3A	2B5DE9312	0CB5E6F23
58	1A8B0FB9E	3FBC09C8B	3D7F3E248	034C9BCB5	1BDD89300	3392476C0	0C10AED4B	23BECA42A
59	0EBC749B6	33453C7F6	304735F5C	334628143	1DAF6E7A9	11BB9C393	226C5E4FF	170372039
60	3F9262CBC	0693308C8	21B563415	09BDCC403	0112C79D4	2DA9F1134	36AA1CD7D	3A1608BFC
61	218AC590E	0FACC734D	02132C9A3	27087557E	076B3ECE7	2EA16BA3D	0E1D452F1	3F70B027A
62	004F9DC68	25BE3AD9C	2CBD3C07B	3F9DECD71	3E771E15A	11FF2F24D	2AEA5DF67	1E838955D
63	3A04BC376	1D19254F1	00F92DD2B	3C57484F3	181D0973E	319F9CEEA	053ADEEDB	1A3C22150
64	0F78BA6BC	2DFE0E681	3035BD77D	0A0FFD148	275F50C66	2246E9053	27B2BF3E9	1741894F8
65	1ACCD0F79	22F0AEA4F	32796ADB5	134A4A876	183D989E3	204C4BF97	22300E86F	3F18744A3
66	3EB6E19EF	1B24EAB88	2E318F810	3F07B618E	26B4C0C87	31CC10EA8	169E1B650	017DF88ED
67	2BD9E8FED	0AB104122	30C9D81A0	09EA73C7F	141357B1D	000A7DB48	1DD06FD41	0AFA8EF72
68	19CA5678F	28A89AA43	1DB945917	262AF69C3	3145A4473	3742CBFF5	1BCD965E9	1B0E7FC84
69	077838B25	2BF7032F8	23DC2E014	028544277	37B411B5F	392FF6CDC	1D66F2BE9	011372DA0
70	39596216C	05A651F63	183A6AE26	0D1FCA203	0FF6F0D22	2FEB8364B	05A438ED8	32D045F13
71	3711AD513	290B237FF	20E2A9B26	0C72A0234	2F1ABBE93	19B505378	354ED915D	0C359F272
72	1D7786BA4	1CCDF053A	36828B333	0ED27AFB6	241326FC4	1A9C37F8B	0A9C3C372	05937E898
73	1053B9CDB	040B97B1D	0D4FF481D	23AD465A8	2906EBDE2	0C4F6C09D	2189C5FEA	2D90D305A
74	39073122B	35FEAA236	1B38B7A90	2E02AB9F7	219FEEA0A	36B3B2EF8	39A3F4C8B	15A42C9DD
75	2C6326A9E	33F7536C1	2A120C75F	37030CAA0	3A011882C	098C8504E	3B92D756B	175811CF9
76	38A0F736B	2BD9E9C32	3B989715A	2A646ADF4	2D02FE38C	11AC7E9E6	3F5464862	0F382B0D8
77	26897D80C	145B21D3E	143F5E320	30549707E	28126710C	122CA92BE	3AF47270C	0B544128F
78	00E931208	2E1E75EAA	374C36E5F	21724DFC5	1DFCD2028	1B3FF774E	3A826A68B	1781CDCA4
79	0C3D7268D	0B7A26BF9	1587CE5CD	1D04E1E60	36240C07D	1AC403449	0417F9622	02B9F8BED
80	1B569F488	08A3F3A46	377F03A18	2DE416045	1ED96E381	33F4F16DC	2C8DAAE4F	33E384AC7
81	13F709786	02A4E32CB	14C7F849E	09EA16987	06C849EA4	219E4B995	243CB7F07	253513BC6
82	09B83FDF2	119D60439	278290BFF	2483E6F2C	0EDEC175D	242A669C1	3EB639EF0	31EBB4CA0
83	22CAEF0E4	0B2FCDED0	19BA79607	343F81C7B	289AA213E	358AC9FFA	23956ADA1	00BC725E7
84	1186F95E3	2F95F4048	3CFBF41E2	1D1E4BE96	26B38BA65	2F715E590	2235C0029	2C89AF93F
85	33437ED6C	12F14DB69	2E70F5611	183752704	142BC8B34	3B90ECD86	1C11EB493	1022D4782
86	248457F60	05B9A28A5	0A2A5DD56	16002D9E7	34C87FB16	2E32BAE0C	21065BD64	1CCE92BB0
87	1DCE3941A	1D940ACE3	30D331B98	3D5A3BAB6	119791607	10FB0D788	2C78E9015	100B598E4
88	39C0BC811	1B886594E	27AF50C73	2DCEA05E6	0805EDCA9	3A5989B08	18AD24255	1683B7CF2
89	186A3D233	09E8B95DA	1ED9F3DBE	1B19A74F8	356CA7443	316C9FBE9	3F8A3162A	3A0BC11CC
90	02F039B63	2F02D3E75	0F5B5E89E	3D062255C	222C6AA4E	25DEA06FB	39488C071	139318BFB
91	27B5B6EE8	22154E0BD	3FF7729F1	1052B1947	3D477BF2B	3EDB6745A	1B30CF849	030F84AF4

【化１１２】

92	27B2D40BC	01EE5E9B6	24B0ACF84	3370F65E0	067D8DFA9	1C01B9327	26FF8FDB5	3809C0CA6
93	11F581193	07B9B7A7D	1CA56B4A3	3D088CC6C	11D52C38A	344760F0A	3D3AA336D	0118CBD93
94	096990784	2960D1672	3BFD7D847	2BC297EEE	32168CF28	3912FFF6C	08ED9BAB1	34452C6E5
95	02CD48DC2	186403849	24C6EE1EA	12ED5268A	2718C00E9	27E8F18CF	145913E2D	0B09009BB
96	06B97DD08	2880C9B96	37EB87E03	14C4ED01D	17041E5DC	347A412CB	088CE591B	0BE926B22
97	116250DF7	1745B4329	1102B7093	1CA549C5A	25244AB6C	374E0F19B	274F76015	0FB738F16
98	12841B9E9	1F9C4AEEB	1445F0C98	39FFB6307	02AB688E7	0FD8B499E	28D533072	138F162EA
99	22BD9525E	2030E58C6	25F2CD033	157D93437	1442E92D2	3D6EE9DF3	3CA5B469D	0588A0FAE
100	0FDEC177D	2606157BE	2224E556C	0C6F33897	0F830DE1B	3C3F9C1D8	2AF576923	0D4173E27
101	376EF82C2	30E3C582E	0A82DE29A	1B8D454D9	079ACE6D9	2579984C6	392F28400	24CEAEDF1
102	1CD4AA9D2	1DD6F4DA5	3485B7150	105DE02F9	22168E0FA	24F48AA6C	003771A39	306890843
103	1F8303786	2C981AAE4	0819F22E9	0A1D88D55	3B4C012FD	0214CDF52	19DF3BE8F	02364E19A
104	1364A15C0	16E9F9961	17E598810	2654E5A2C	09B43C7C8	3A5E2AF45	14FC71E26	2B4BA69F4
105	12E128BEF	19166342E	04A1404B7	283D17B66	014836F64	13BE0B4B5	2F8583C08	2B19A7FB4
106	19F83FDE2	361D25170	36354011B	3FF4EC74B	1B2128FF9	0C849EB1B	096B991D8	1CA7A74AA
107	32E0BEF35	11A61714D	34C56D40B	0742C52FE	00ED2F1C4	3997FC7B7	06E414374	180DCD64F
108	18399ED59	224E6C2FF	3450F1BB7	27A1CA959	21B5E00F8	13B67DAE8	0B14C022E	0E41BBEE2
109	318D94D05	2EBB53B17	331C3E6F4	0FBCD71ED	380FF18B8	3E3C75B26	0E0088A18	17553D2A2
110	37AC7E5D5	27C9EADFA	3FC47B5E4	38699BB57	1564F8B27	3579C7FEB	13401BD88	0DB519DE0
111	0FF4D6F22	3C84242F3	2DEAE40AD	305F320A5	244CB97B0	0892DA905	3F09D5CB5	332E7DB02
112	31479E580	1B6AD13E0	16A1CF9E2	33A0A119A	1AC8388E9	3D4105F37	226501835	27AF1310F
113	1CBDAFE39	3E5A30C1C	236E9A029	063430D97	0CD91A825	02F335D7E	1989FE0BE	13C4E2A20
114	10B393370	33CB79316	2CEB44FC0	236019420	248F95ACB	35034B6F0	365691771	34A8FBCB6
115	25463FC5F	082FC0ED2	038ACE1CC	3E959B49D	21B8C04F5	08633F3A0	3A5D18159	12B3EC4C7
116	167B32C3E	06FF88387	34C3F468B	3239005B2	121C913AF	21C90CE16	28B54D557	3811CB0A9
117	221BD0503	0AF619499	21F8D40C1	1B3DA7AEE	3FA2E3B05	348466C50	10F12A28D	0E70B26AB
118	1D79A57C5	315D2460F	1402B8222	28DC66FEA	1BCF748F9	2AD5D4227	0094D2CAD	25EA22A58
119	062B39CFB	310E8818D	0F2D0A235	3F6468866	33F86F342	39CAB5BBC	2E7D6A8BF	3E9218162
120	2FCDEA0E0	1BDD766A4	2827B99BB	0B5F04CC9	1C9E02A9A	1A6675ED4	033497A06	07D4ADD44
121	3CD46CD9D	311A64A85	24DDFE6FF	3411C6FE5	0D0613CDA	0E9276056	178ACC4F8	23DEA3CB0
122	2762D6A40	306FE3843	1402589C8	382B07654	160BA3DEA	3815B54C8	273960105	2076A15E5
123	1C593A744	1562487F6	0C38617B4	2CA68266A	071C4BF93	2593F0BDC	1562436E5	199BEEA49
124	35B8C7503	278F57EAA	34A804061	19C657A74	385734710	3FAC27628	0707BED4E	32F20F45E
125	34994C46C	1C6B99499	1AF24D850	11AD795D3	19288BFE9	1360C1B96	3B5D8DBC0	2554E72D6
126	22D7095A4	34B70502A	3F0CB27D2	04FC214E6	24C0B80C5	03D6F4DC8	1432A099E	26300D70E
127	21C33416F	18B894695	3AC062614	3537CF601	00A20A8B8	1CD10BAF5	394DF1DC0	0925851ED

ここで、ｑは、シーケンスインデックスを表し、ｂｌｋは、シーケンスを構成するサブブロックを表す。

【請求項１４】

前記プロセッサーは、前記受信されたシーケンスの実数部及び虚数部と前記少なくとも一つの第１シーケンスの実数部及び虚数部間の組み合わせに対して予備相関演算を行い、複数の予備相関値を用いて前記受信されたシーケンスに対する前記少なくとも一つの第１シーケンス及びその複素共役シーケンスに対する相関値を計算するように構成されたことを特徴とする、請求項１３に記載の受信機。

【請求項１５】

前記プロセッサーは、前記受信されたシーケンスからセル識別子に関する情報を得るように構成されたことを特徴とする、請求項１３に記載の受信機。

【発明の詳細な説明】

【技術分野】
【０００１】
本発明は、無線通信システムに係り、特に、無線通信システムにおいてシーケンスを送受信する方法及びそのための装置に関するものである。
【背景技術】
【０００２】
図１には、無線通信システムを例示する。図１を参照すると、無線通信システム１００は、複数の基地局１１０及び複数の端末１２０を含む。無線通信システム１００は、同種ネットワーク（ｈｏｍｏｇｅｎｅｏｕｓ ｎｅｔｗｏｒｋ）または異種ネットワーク（ｈｅｔｅｒｏｇｅｎｅｏｕｓ ｎｅｔｗｏｒｋ）を含むことができる。ここで、異種ネットワークとは、マクロセル、フェムトセル、ピコセル、中継器などのような互いに異なるネットワークエンティティが相互共存するネットワークのことを指す。基地局は、一般に、端末と通信する固定局であり、各基地局１１０ａ、１１０ｂ及び１１０ｃは、特定の地理的領域１０２ａ、１０２ｂ及び１０２ｃにサービスを提供する。システム性能を改善するために、特定の地理的領域は複数のより小さい領域１０４ａ、１０４ｂ及び１０４ｃに区画されることができる。それぞれのより小さい領域は、セル、セクターまたはセグメントと呼ぶことができる。ＩＥＥＥ ８０２．１６システムの場合、セル識別子（Ｃｅｌｌ Ｉｄｅｎｔｉｆｉｅｒ；ＩＤＣｅｌｌ）は全体システムを基準に与えられる。一方、セクターまたはセグメント識別子（Ｓｅｃｔｏｒ ｏｒ Ｓｅｇｍｅｎｔ Ｉｄｅｎｔｉｆｉｅｒ）は、それぞれの基地局がサービスを提供する特定領域を基準に与えられ、０乃至２の値を有する。端末１２０は、主に、無線通信システムに分布し、固定または移動することができる。各端末は、任意の瞬間にアップリンク及びダウンリンクを通じて一つ以上の基地局と通信することができる。基地局と端末は、ＦＤＭＡ（Ｆｒｅｑｕｅｎｃｙ Ｄｉｖｉｓｉｏｎ Ｍｕｌｔｉｐｌｅ Ａｃｃｅｓｓ）、ＴＤＭＡ（Ｔｉｍｅ Ｄｉｖｉｓｉｏｎ Ｍｕｌｔｉｐｌｅ Ａｃｃｅｓｓ）、ＣＤＭＡ（Ｃｏｄｅ Ｄｉｖｉｓｉｏｎ Ｍｕｌｔｉｐｌｅ Ａｃｃｅｓｓ）、ＳＣ－ＦＤＭＡ（Ｓｉｎｇｌｅ Ｃａｒｒｉｅｒ－ＦＤＭＡ）、ＭＣ－ＦＤＭＡ（Ｍｕｌｔｉ Ｃａｒｒｉｅｒ－ＦＤＭＡ）、ＯＦＤＭＡ（Ｏｒｔｈｏｇｏｎａｌ Ｆｒｅｑｕｅｎｃｙ Ｄｉｖｉｓｉｏｎ Ｍｕｌｔｉｐｌｅ Ａｃｃｅｓｓ）またはこれらの組み合わせを用いて通信を行うことができる。本明細書で、アップリンクは端末から基地局への通信リンクを指し、ダウンリンクは基地局から端末への通信リンクを指す。
【発明の概要】
【発明が解決しようとする課題】
【０００３】
図２は、ＩＥＥＥ ８０２．１６ｅシステムのダウンリンクサブフレーム構造を示す図である。同図のたサブフレーム構造は、ＴＤＤ（Ｔｉｍｅ Ｄｉｖｉｓｉｏｎ Ｄｕｐｌｅｘ）モードのための構造である。
【０００４】
図２を参照すると、ダウンリンクサブフレーム構造は、複数のＯＦＤＭ（Ｏｒｔｈｏｇｏｎａｌ Ｆｒｅｑｕｅｎｃｙ Ｄｉｖｉｓｉｏｎ Ｍｕｌｔｉｐｌｅｘｉｎｇ）シンボルで構成される。ダウンリンクサブフレーム構造は、構造的に、プリアンブル、ＦＣＨ（Ｆｒａｍｅ Ｃｏｎｔｒｏｌ Ｈｅａｄｅｒ）、ＤＬ－ＭＡＰ（ＤｏｗｎＬｉｎｋ－ＭＡＰ）、ＵＬ－ＭＡＰ（ＵｐＬｉｎｋ－ＭＡＰ）及びＤＬ－バースト（Ｂｕｒｓｔ）からなる。プリアンブルは、最初のＯＦＤＭシンボルで構成され、ダウンリンクフレームごとに先行する。プリアンブルは、時間及び周波数同期、セル探索及びチャネル推定などのために用いられる。
【０００５】
図３は、ＩＥＥＥ ８０２．１６ｅシステムにおいて、１０２４ ＦＦＴモード（１０ＭＨｚ ｂａｎｄｗｉｄｔｈ）でプリアンブルがマッピングされる副搬送波を示す図である。

【０００６】
図３を参照すると、与えられた帯域幅において両側の一部領域は保護帯域として用いられるので、この保護帯域以外の残り領域にプリアンブルがマッピングされる。保護帯域以外の残り周波数領域は、３セクターを考慮して３個の領域に区分する。プリアンブルは、３個の副搬送波間隔で挿入され、それ以外の区間には０が挿入される。第０のセグメントのプリアンブルは、周波数インデックス０，３，６，９，…，８４３，８４６，８４９の副搬送波に挿入される。参考として、第１のセグメントのプリアンブルは、周波数インデックス１，４，７，１０，…，８４４，８４７，８５０の副搬送波に挿入され、第２のセグメントのプリアンブルは、周波数インデックス２，５，８，１１，…，８４５，８４８，８５１の副搬送波に挿入される。

【０００７】
ＩＥＥＥ　８０２．１６ｅシステムにおいて、プリアンブルに用いられるシーケンスは、周波数領域に挿入される２進コードで構成される。これはＲｕｎｃｏｍ社で提案した方式であり、２進コードで構成可能なシーケンスの種類のうち、相関関係特性をある程度維持しながら、時間領域への変換時にＰＡＰＲ（Ｐｅａｋ－ｔｏ－Ａｖｅｒａｇｅ　Ｐｏｗｅｒ　Ｒａｔｉｏ）が低いものが、コンピュータ探索から見出された。表１は、プリアンブルシーケンスの一部を表すものである。

【０００８】
【化１】
【表１】

Index	IDcell	Segment	Series to modulate (in hexadecimal format)
0	0	0	0xA6F294537B285E1844677D133E4D53CCB1F182DE00489E53E6B6E77065C7EE7D0ADBEAF
1	1	0	0x668321CBBE7F462E6C2A07E8BBDA2C7F7946D5F69E35AC8ACF7D64AB4A33C467001F3B2
2	2	0	0x1C75D30B2DF72CEC9117A0BD8EAF8E0502461FC07456AC906ADE03E9B5AB5E1D3F98C6E
3	3	0	0x5F9A2E5CA7CC69A5227104FB1CC2262809F3B10D0542B9BDFDA4A73A7046096DF0E8D3D

表１を参照すると、プリアンブルに用いられるシーケンスは、セグメント番号とＩＤｃｅｌｌパラメータ値によって決定される。各シーケンスは、昇順で２進信号に変換された後、ＢＰＳＫ（Ｂｉｎａｒｙ　Ｐｈａｓｅ　Ｓｈｉｆｔ　Ｋｅｙｉｎｇ）変調によって副搬送波にマッピングされる。すなわち、１６進数の数列は、２進数の数列（W_k）に変換された後、ＭＳＢ（Ｍｏｓｔ　Ｓｉｇｎｉｆｉｃａｎｔ　Ｂｉｔ）からＬＳＢ（Ｌｅａｓｔ　Ｓｉｇｎｉｆｉｃａｎｔ　Ｂｉｔ）の順にＢＰＳＫによって変調される（０⇒＋１；１⇒－１）。具体的に、インデックスが０である１６進数シーケンスは、W_k［１１００００１００１０…］に変換された後、［－１－１＋１＋１＋１＋１＋１－１＋１＋１－１＋１…］に変調される。

【０００９】
図２及び図３は、シーケンスを信号伝送に使用する一例で、無線通信システムは、プリアンブルの他にも、様々なチャネル及び信号伝送にシーケンスを使用する。例えば、無線通信システムにおいて、シーケンスは、同期チャネル、ミッドアンブル、基準信号、制御チャネル、スクランブリングコード、多重化などに多様に使用される。一方、無線通信システムで使用されるシーケンスは、一般に、下記の特性を満たすと好ましい。
－　優れた検出性能を提供するための優れた相関（ｃｏｒｒｅｌａｔｉｏｎ）特性
－　電力増幅器（Ｐｏｗｅｒ　ａｍｐｌｉｆｉｅｒ）の効率を極大化するための低いＣＭ（Ｃｕｂｉｃ　Ｍｅｔｒｉｃ）またはＰＡＰＲ（Ｐｅａｋ－ｔｏ－Ａｖｅｒａｇｅ　Ｐｏｗｅｒ　ｔｏ　Ｒａｔｉｏ）
－　多量の情報伝送またはセル－プランニング（ｃｅｌｌ－ｐｌａｎｎｉｎｇ）を容易に

するために多数のシーケンスを生成
－　シーケンスを保存するためのメモリーサイズ（ｍｅｍｏｒｙ　ｓｉｚｅ）の減少
－　受信端でのシーケンス利用時に低い複雑度（ｌｏｗ　ｃｏｍｐｌｅｘｉｔｙ）を提供
【００１０】
特に、受信端での複雑度の問題は、端末のバッテリー寿命と直結するから非常に重要であり、よって、複雑度をより減少させ、メモリーサイズをより減らしうるシーケンス生成方法が要求される。
【００１１】
本発明は、上記のような従来技術の問題点を解決するために案出されたもので、その目的は、無線通信システムにおいてシーケンスを生成する方法及びそのための装置を提供することにある。
【００１２】
本発明の他の目的は、優れた相関特性及び低いＰＡＰＲまたはＣＭを有するシーケンスの生成方法及びそのための装置を提供することにある。
【００１３】
本発明のさらに他の目的は、可用の個数を最大化できるシーケンスの生成方法及びそのための装置を提供することにある。
【００１４】
本発明のさらに他の目的は、保存に必要なメモリーが小さく、受信端で低い複雑度で検出または推定できるシーケンスの生成方法及びそのための装置を提供することにある。
【００１５】
本発明で達成しようとする技術的課題は、以上で言及した技術的課題に制限されず、言及していない別の技術的課題は、下の記載から、本発明の属する技術の分野における通常の知識を有する者には明確に理解できるであろう。
【課題を解決するための手段】
【００１６】
本発明の一様相は、無線通信システムで送信機がシーケンスを伝送する方法であって、第１シーケンスに複素共役演算（ｃｏｍｐｌｅｘ　ｃｏｎｊｕｇａｔｅ　ｏｐｅｒａｔｉｏｎ）及び逆演算（ｒｅｖｅｒｓｅ　ｏｐｅｒａｔｉｏｎ）のうち少なくとも一つを行って第２シーケンスを生成する段階と、前記第２シーケンスをＯＦＤＭＡ（Ｏｒｔｈｏｇｏｎａｌ　Ｆｒｅｑｕｅｎｃｙ　Ｄｉｖｉｓｉｏｎ　Ｍｕｌｔｉｐｌｅ　Ａｃｃｅｓｓ）シンボル内の複数の副搬送波にマッピングする段階と、前記ＯＦＤＭＡシンボルを受信機に伝送する段階と、を含むシーケンス伝送方法を提供する。
【００１７】
前記方法は、前記第１シーケンスをシーケンスタイプによって複素シーケンスに変調する段階をさらに含むことができる。
【００１８】
好適には、前記第１シーケンスは、前記送信機に保存されたシーケンスセットに属する少なくとも一つのシーケンスである。
【００１９】
好適には、前記第１シーケンスは、ＱＰＳＫ（Ｑｕａｄｒａｔｕｒｅ　Ｐｈａｓｅ　Ｓｈｉｆｔ　Ｋｅｙｉｎｇ）タイプシーケンスである。
【００２０】
ここで、前記第２シーケンスは、同期チャネルを通じて伝送されることもでき、レンジングチャネルを通じて伝送されることもできる。
【００２１】
好適には、前記第１シーケンスは、下記の表１１乃至表１３を構成するシーケンスのうちの少なくとも一つである。
【００２２】
本発明の他の様相は、無線通信システムでシーケンスを伝送するように構成された送信

機であって、第１シーケンスに複素共役演算及び逆演算のうち少なくとも一つを行って第２シーケンスを生成するように構成された第２シーケンス生成器と、前記第２シーケンスをＯＦＤＭＡシンボル内の複数の副搬送波にマッピングするように構成された副搬送波マッピングモジュールと、前記ＯＦＤＭＡシンボルをアップリンクで伝送するように構成された無線周波数（Ｒａｄｉｏ　Ｆｒｅｑｕｅｎｃｙ；ＲＦ）モジュールと、を含む送信機を提供する。

【００２３】

前記送信機は、前記第１シーケンスをシーケンスタイプによって複素シーケンスに変調するように構成されたコンステレーションマッピング（ｃｏｎｓｔｅｌｌａｔｉｏｎ　ｍａｐｐｉｎｇ）モジュールをさらに含むことができる。

【００２４】

本発明のさらに他の様相は、無線通信システムで送信機がシーケンスを伝送する方法であって、第１シーケンスをシーケンスタイプによって複素シーケンスに変調する段階と、前記複素シーケンスをＯＦＤＭＡシンボル内の複数の副搬送波にマッピングする段階と、前記ＯＦＤＭＡシンボルを受信機に伝送する段階と、を含み、前記第１シーケンスは、下記の表１１乃至表１３を構成するシーケンスのうちの少なくとも一つであるシーケンス伝送方法を提供する。

【００２５】

好適には、前記第１シーケンスはＱＰＳＫタイプである。この場合、前記第１シーケンスの$W_i^{(p)}$は、下記の数学式によってＱＰＳＫシンボルである$w_{2i}^{(p)}$及び$w_{2i+1}^{(p)}$に変調することができる：

【００２６】

【化２】

$$w_{2i}^{(p)} = \exp\left(j\frac{\pi}{2}\left(2\cdot a_{i,0}^{(p)} + a_{i,1}^{(p)}\right)\right)$$

$$w_{2i+1}^{(p)} = \exp\left(j\frac{\pi}{2}\left(2\cdot a_{i,2}^{(p)} + a_{i,3}^{(p)}\right)\right)$$

ここで、

【００２７】

【化３】

$$W_i^{(p)} = 2^3\cdot a_{i,0}^{(p)} + 2^2\cdot a_{i,1}^{(p)} + 2^1\cdot a_{i,2}^{(p)} + 2^0\cdot a_{i,3}^{(p)}$$

であり、ｉは、０乃至１０７の整数を表す。

【００２８】

ここで、前記第１シーケンスはＦＦＴサイズによって循環的に拡張されることができる。

【００２９】

好適には、前記第１シーケンスはダウンリンク同期のためのＳＡ－プリアンブル（Ｓｅｃｏｎｄ　Ａｄｖａｎｃｅｄ　Ｐｒｅａｍｂｌｅ）である。この場合、前記ＳＡ－プリアンブルは、下記の数学式によって副搬送波にマッピングされることができる：

【００３０】

【化４】

$$SAPreambleCarrierSet_n = n + 3\cdot k + 40\cdot\frac{N_{SAP}}{144} + \left\lfloor\frac{2\cdot k}{N_{SAP}}\right\rfloor$$

ここで、ｎは、ＳＡ－プリアンブルキャリアセットインデックスとして０、１または２

の値を有し、セグメントＩＤを表し、N_{SAP}は、ＳＡ－プリアンブルの長さを表し、ｋは、０乃至N_{SAP}－１の整数を表す。

【００３１】

ここで、前記第１シーケンスは、下記の数学式によってセル識別子（ＩＤｃｅｌｌ）に関する情報を指示することができる：

ＩＤｃｅｌｌ　＝　２５６×ｎ　＋　Ｉｄｘ

ここで、ｎは、ＳＡ－プリアンブルキャリアセットインデックスとして０、１または２の値を有し、セグメントＩＤを表し、Ｉｄｘは、０乃至２５５の整数を表す。

【００３２】

ここで、前記方法は、複素共役演算及び逆演算のうち少なくとも一つを前記第１シーケンスに適用する段階をさらに含むことができる。

【００３３】

ここで、前記第１シーケンスに、下記の表に記載されたブロックカバーシーケンスのうちのいずれか一つがサブブロック単位で適用されることができる。下記の表で２進シーケンス｛０，１｝に変換されたブロックカバーシーケンスは、｛＋１，－１｝としてマッピングされる。

【００３４】

【化５】

ブロックカバーシーケンス（１６進数フォーマット）

(FFT, number of antennas)＼Segment ID	0	1	2
(512,1)	00	00	00
(512,2)	22	22	37
(512,4)	09	01	07
(512,8)	00	00	00
(1024,1)	0FFF	555A	000F
(1024,2)	7373	3030	0000
(1024,4)	3333	2D2D	2727
(1024,8)	0F0F	0404	0606
(2048,1)	0F0FFF00	00000FF0	0F000FFF
(2048,2)	7F55AA42	4438180C	3A5A26D9
(2048,4)	1A13813E	03284BF0	391A8D37
(2048,8)	0D0EF8FA	0C0BFC59	03000656

ここで、前記第１シーケンスの送信電力は、下記の表に記載されたブースティングレベルのうちのいずれか一つを用いてブースティングされることができる。

【００３５】

【化６】

ブースティングレベル

Ant＼FFT	512	1024	2048
1	1.87	1.75	1.69
2	2.51	2.33	2.42
4	4.38	3.56	3.50
8	8.67	6.25	4.95

ここで、前記第１シーケンスは、多重アンテナを通じて伝送されることができる。この場合、前記第１シーケンスは、前記多重アンテナに対してブロック単位でインタリーブ（ｉｎｔｅｒｌｅａｖｅｄ）されることができる。

【００３６】

本発明のさらに他の様相は、無線通信システムでシーケンスを伝送するように構成された送信機であって、下記の表１１乃至表１３を構成するシーケンスのうち少なくとも一部を保存するメモリーと、前記メモリーから選択された第１シーケンスをシーケンスタイプ

によって複素シーケンスに変調するコンステレーションマッピングモジュールと、前記複素シーケンスをＯＦＤＭＡシンボル内の複数の副搬送波にマッピングするように構成された副搬送波マッピングモジュールと、前記ＯＦＤＭＡシンボルを受信機に伝送するように構成された無線周波数（ＲＦ）モジュールと、を含む送信機を提供する。

【００３７】

本発明のさらに他の様相は、無線通信システムで受信機がシーケンスを検出する方法であって、ＯＦＤＭＡシンボル内の複数の副搬送波にマッピングされたシーケンスを送信機から受信する段階と、前記シーケンスに対して第１シーケンスを用いて相関演算（ｃｏｒｒｅｌａｔｉｏｎ　ｏｐｅｒａｔｉｏｎ）を行う段階と、相関演算値に基づいて前記受信されたシーケンスを確認する段階と、を含み、前記第１シーケンスは、下記の表１１乃至表１３を構成するシーケンスのうちのいずれか一つであるシーケンス検出方法を提供する。

【００３８】

ここで、前記受信されたシーケンスに対して相関演算を行う段階は、前記受信されたシーケンスの実数部及び虚数部と前記少なくとも一つの第１シーケンスの実数部及び虚数部間の組み合わせに対して予備相関演算を行うことを含むことができる。この場合、前記受信されたシーケンスに対する前記少なくとも一つの第１シーケンス及びその複素共役シーケンスに対する相関値は、複数の予備相関値を組み合わせて得られることができる。

【００３９】

好適には、前記シーケンスはダウンリンク同期のためのＳＡ－プリアンブルでありうる。この場合、前記ＳＡ－プリアンブルは、下記の数学式によって副搬送波にマッピングされることができる：

【００４０】

【化７】

$$SAPreambleCarrierSet_n = n + 3\cdot k + 40\cdot\frac{N_{SAP}}{144} + \left\lfloor \frac{2\cdot k}{N_{SAP}} \right\rfloor$$

ここで、ｎは、ＳＡ－プリアンブルキャリアセットインデックスとして０、１または２の値を有し、セグメントＩＤを表し、N_{SAP}は、ＳＡ－プリアンブルの長さを表し、ｋは、０乃至$N_{SAP}-1$の整数を表す。

【００４１】

ここで、前記方法は、前記受信されたシーケンスから、自身の位置しているセルの識別子を獲得する段階をさらに含むことができる。

【００４２】

本発明のさらに他の様相は、無線通信システムでシーケンスを検出するように構成された受信機であって、ＯＦＤＭＡシンボル内の複数の副搬送波にマッピングされたシーケンスを送信機から受信するように構成された無線周波数（ＲＦ）モジュールと、下記の表１１乃至表１３を構成するシーケンスのうち少なくとも一部を保存するメモリーと、前記メモリーに保存された少なくとも一つの第１シーケンスを用いて前記受信されたシーケンスに対して相関演算を行うように構成され、相関値に基づいて前記受信されたシーケンスを検出するように構成されたプロセッサーと、を含む受信機を提供する。

【００４３】

ここで、前記プロセッサーは、前記受信されたシーケンスの実数部及び虚数部と前記少なくとも一つの第１シーケンスの実数部及び虚数部間の組み合わせに対して予備相関演算を行い、複数の予備相関値を用いて前記受信されたシーケンスに対する前記少なくとも一つの第１シーケンス及びその複素共役シーケンスに対する相関値を計算するように構成されることができる。

【００４４】

ここで、前記プロセッサーは、前記受信されたシーケンスから、セル識別子に関する情

報を得るように構成されることができる。
【００４５】
ここで、受信機は、シーケンスの実数部を臨時に保存するためのバッファー及び前記シーケンスの虚数部を臨時に保存するためのバッファーをさらに含むことができる。
【００４６】
ここで、受信機は、前記受信されたシーケンスの実数部を臨時に保存する第１バッファー、前記受信されたシーケンスの虚数部を臨時に保存する第２バッファー、前記少なくとも一つの第１シーケンスに対する実数部を臨時に保存する第３バッファー、及び前記少なくとも一つの第１シーケンスに対する虚数部を臨時に保存する第４バッファーをさらに含むことができる。
【発明の効果】
【００４７】
本発明の実施例によれば、次のような効果が得られる。
【００４８】
第一に、各種のチャネル、信号などに使用されるシーケンスを提供することができる。
【００４９】
第二に、相関特性に優れているとともに、ＰＡＰＲまたはＣＭが低いシーケンスを提供することができる。
【００５０】
第三に、シーケンスの可用の個数を最大化することができる。
【００５１】
第四に、シーケンス保存に必要なメモリーを減らすことができ、受信端は、低い複雑度でシーケンスを検出または推定することができる。
【００５２】
本発明から得られる効果は、以上で言及した効果に制限されず、言及していない別の効果は、下の記載から、本発明の属する技術の分野における通常の知識を有する者には明らかになるであろう。
【図面の簡単な説明】
【００５３】
本発明の理解を助けるために詳細な説明の一部として含まれる添付の図面は、本発明の実施例を提供し、詳細な説明と共に本発明の技術的思想を説明する。
【図１】無線通信システムを例示する図である。
【図２】ＩＥＥＥ　８０２．１６ｅシステムのダウンリンクサブフレーム構造を示す図である。
【図３】ＩＥＥＥ　８０２．１６ｅシステムにおいて１０２４　ＦＦＴモード（１０ＭＨｚ　ｂａｎｄｗｉｄｔｈ）でプリアンブルのマッピングされる副搬送波を示す図である。
【図４】本発明の一実施例によってＰＡＰＲ（またはＣＭ）が低く、基本特性（例えば、自己／相互相関、ディファレンシャル（ｄｉｆｆｅｒｅｎｔｉａｌ）自己／相互相関）に優れたシーケンスを生成するフローチャートを示す図である。
【図５】本発明の一実施例によって送信端で複素共役演算を用いてシーケンスを拡張するように構成されたブロック図である。
【図６】本発明の一実施例によって受信端でシーケンスを検出するように構成されたブロック図である。
【図７Ａ】本発明の一実施例によって生成したシーケンスの特性を示す図である。
【図７Ｂ】本発明の一実施例によって生成したシーケンスの特性を示す図である。
【図７Ｃ】本発明の一実施例によって生成したシーケンスの特性を示す図である。
【図７Ｄ】本発明の一実施例によって生成したシーケンスの特性を示す図である。
【図７Ｅ】本発明の一実施例によって生成したシーケンスの特性を示す図である。
【図８】ＩＥＥＥ　８０２．１６ｍシステムの無線フレーム構造を示す図である。
【図９】ＩＥＥＥ　８０２．１６ｍシステムで同期チャネルを伝送する例を示す図である

。
【図１０】ＰＡ－プリアンブルがマッピングされる副搬送波を示す図である。
【図１１】ＳＡ－プリアンブルを周波数領域にマッピングする例を示す図である。
【図１２】５１２－ＦＦＴのための周波数領域におけるＳＡ－プリアンブル構造を示す図である。
【図１３】多重アンテナシステムにおけるＳＡ－プリアンブル構造を示す図である。
【図１４】多重アンテナシステムにおけるＳＡ－プリアンブル構造を示す図である。
【図１５】多重アンテナシステムにおけるＳＡ－プリアンブル構造を示す図である。
【図１６】ＩＥＥＥ　８０２．１６ｍシステムでレンジングチャネル構造の例を示す図である。
【図１７】本発明に一実施例に係る送信機及び受信機を示すブロック図である。
【発明を実施するための形態】
【００５４】
添付の図面を参照しつつ説明される本発明の好ましい実施例から、本発明の構成、作用及び他の特徴が容易にわかるであろう。以下に説明される実施例は、本発明の技術的特徴が適用された例である。便宜上、本発明は、ＩＥＥＥ　８０２．１６システムを用いて説明するが、これは例示に過ぎず、本発明は、シーケンスを使用するいずれの無線通信システムにも適用されることができる。例えば、本発明は、３ＧＰＰ（３ｒｄ　Ｇｅｎｅｒａｔｉｏｎ　Ｐａｒｔｎｅｒｓｈｉｐ　Ｐｒｏｊｅｃｔ）システムに適用されることができる。
【００５５】
無線通信システムにおいてシーケンスが使用される例は、次の通りであるが、次の例は例示に過ぎないもので、シーケンスは様々なチャネル及び信号などに使用されることができる。
【００５６】
ダウンリンク同期チャネル（ＤＬ　Ｓｙｎｃ　ｃｈａｎｎｅｌ）
－　ダウンリンクに対する時間及び周波数同期を行い、セル探索（ｃｅｌｌ　ｓｅａｒｃｈ）を行うためのチャネルである。このチャネルを通じて受信されたシーケンスとの相関（ｃｏｒｒｅｌａｔｉｏｎ）演算によって同期を行い、物理セル識別子（ｐｈｙｓｉｃａｌ　ｃｅｌｌ　ＩＤ）を識別する。セルＩＤを識別しなければならないから、シーケンスの個数が多いほどセルプランニング側面では有利である。
【００５７】
－　システムによってＳＳ（Ｓｙｎｃｈｒｏｎｉｚａｔｉｏｎ　Ｓｉｇｎａｌ；３ＧＰＰ　ＬＴＥ）、プリアンブル（Ｐｒｅａｍｂｌｅ；ＩＥＥＥ　８０２．１６ｅ）、アドバンスドプリアンブル（Ａｄｖａｎｃｅｄ　Ｐｒｅａｍｂｌｅ；ＩＥＥＥ　８０２．１６ｍ）などとも呼ばれる。
【００５８】
－　受信端が端末であるから、受信端における複雑度の問題が重要である。
【００５９】
アップリンク同期チャネル（ＵＬ　Ｓｙｎｃ　ｃｈａｎｎｅｌ）
－　アップリンクに対する時間及び周波数同期を行い、ネットワーク登録（ｎｅｔｗｏｒｋ　ｒｅｇｉｓｔｒａｔｉｏｎ）のための接続（ａｃｃｅｓｓ）、スケジューリング要請（ｓｃｈｅｄｕｌｉｎｇ　ｒｅｑｕｅｓｔ）、帯域幅要請（ｂａｎｄｗｉｄｔｈ　ｒｅｑｕｅｓｔ）などを行うためのチャネルである。このチャネルを通じて伝送されたシーケンスのそれぞれが一つの機会（ｏｐｐｏｒｔｕｎｉｔｙ）として認識される。基地局は、シーケンスを検出して、いかなる機会（ｏｐｐｏｒｔｕｎｉｔｙ）で端末が伝送したかがわかる。また、検出されたシーケンスから、タイミング追跡（ｔｉｍｉｎｇ　ｔｒａｃｋｉｎｇ）や残存周波数オフセット（ｒｅｓｉｄｕａｌ　ｆｒｅｑｕｅｎｃｙ　ｏｆｆｓｅｔ）などを推定することができる。機会（ｏｐｐｏｒｔｕｎｉｔｙ）が多いほど衝突（ｃｏｌｌｉｓｉｏｎ）が減るので、シーケンス個数は多い方が有利である。また、セルプラ

ンニング側面でもシーケンス個数は多い方が有利である。
【００６０】
－ システムによってＲＡＣＨ（Ｒａｎｄｏｍ Ａｃｃｅｓｓ ＣＨａｎｎｅｌ；３ＧＰＰ ＬＴＥ）、レンジングチャネル（Ｒａｎｇｉｎｇ ｃｈａｎｎｅｌ；ＩＥＥＥ ８０２．１６ｅ／ｍ）などとも呼ばれる。
【００６１】
－ 受信端における複雑度の問題がある。
【００６２】
ダウンリンク／アップリンク基準信号（ＤＬ／ＵＬ ｒｅｆｅｒｅｎｃｅ ｓｉｇｎａｌ）
－コヒーレント変調（例、Ｐｈａｓｅ Ｓｈｉｆｔ Ｋｅｙｉｎｇ（ＰＳＫ）、Ｑｕａｄｒａｔｕｒｅ Ａｍｐｌｉｔｕｄｅ Ｍｏｄｕｌａｔｉｏｎ（ＱＡＭ））を用いて信号が伝送された場合、受信端は、信号の復調のために、当該信号が経験したフェーディングチャネルを推定して補償しなければならない。一般に、フェーディングチャネルの推定のために基準信号（Ｒｅｆｅｒｅｎｃｅ Ｓｉｇｎａｌ；ＲＳ）を共に伝送する。また、基準信号は、自身の属するセルまたは他のセルに対するチャネル品質（ｃｈａｎｎｅｌ ｑｕａｌｉｔｙ）を測定するのに使用されることができる。また、基準信号は、タイミング／周波数追跡（ｔｉｍｉｎｇ／ｆｒｅｑｕｅｎｃｙ ｔｒａｃｋｉｎｇ）に使用されることができる。また、基準信号は、スリープモード（ｓｌｅｅｐ ｍｏｄｅ）から覚めた端末が同期を行うのに使用されることができる。このように、基準信号は様々な分野に使用されることができる。一般に、基準信号は、シーケンスを用いて伝送され、セルプランニング側面でシーケンス個数が多い方が有利である。
【００６３】
－ システムによってＲＳ（Ｒｅｆｅｒｅｎｃｅ Ｓｉｇｎａｌ；３ＧＰＰ ＬＴＥ）、パイロット（Ｐｉｌｏｔ；ＩＥＥＥ ８０２．１６ｅ／ｍ）などとも呼ばれる。
【００６４】
－ 受信端における複雑度の問題がある。
【００６５】
ダウンリンク／アップリンク制御チャネル（ＤＬ／ＵＬ ｃｏｎｔｒｏｌ ｃｈａｎｎｅｌ）
制御チャネルを通じて搬送される情報をシーケンスを用いて伝送することができる。例えば、ＣＱＩ（Ｃｈａｎｎｅｌ Ｑｕａｌｉｔｙ Ｉｎｄｉｃａｔｏｒ）、ＡＣＫ／ＮＡＫ（Ａｃｋｎｏｗｌｅｄｇｅｍｅｎｔ／Ｎｅｇａｔｉｖｅ Ａｃｋｎｏｗｌｅｄｇｅｍｅｎｔ）の場合、該当の情報をシーケンスに変えて伝送することができる。多い情報を伝送するにはシーケンスの個数が多い方が有利である。
【００６６】
－ 受信端における複雑度の問題がある。
【００６７】
スクランブリング（Ｓｃｒａｍｂｌｉｎｇ）
スクランブリングは様々な用途に使用される。例えば、スクランブリングは、ランダム化（Ｒａｎｄｏｍｉｚａｔｉｏｎ）を提供したりＰＡＰＲ（またはＣＭ）を減少させるために使用されることができる。スクランブリングは、信号とシーケンスをエレメント対エレメント（ｅｌｅｍｅｎｔ－ｂｙ－ｅｌｅｍｅｎｔ）で掛けることによって行うことができる。また、スクランブリングは、信号とシーケンスをエレメント対エレメントで足した後にモジューロ（ｍｏｄｕｌｏ）演算をすることによって行うことができる。スクランブリングの適用例は、特定チャネルに限定されない。セルプランニング観点でシーケンスの個数は多い方が有利である。
【００６８】
－ 受信端における複雑度の問題がある。
【００６９】

ユーザーまたはチャネルの多重化（Ｍｕｌｔｉｐｌｅｘｉｎｇ　ｆｏｒ　Ｕｓｅｒ　ｏｒ　Ｃｈａｎｎｅｌ）

－　一つのチャネルに複数のユーザーをＣＤＭ（Ｃｏｄｅ　Ｄｉｖｉｓｉｏｎ　Ｍｕｌｔｉｐｌｅｘｉｎｇ）で多重化する場合にシーケンスを用いることができる。また、複数のチャネルをＣＤＭで多重化する場合にシーケンスを用いることができる。多重化可能な容量（ｃａｐａｂｉｌｉｔｙ）は、シーケンスの個数と関連する。

【００７０】

－　受信端における複雑度の問題がある。

【００７１】

ミッドアンブル（Ｍｉｄａｍｂｌｅ）

－　ミッドアンブルは、フレームのうち、共通パイロット（ｃｏｍｍｏｎ　ｐｉｌｏｔ）として使用される一部領域である。ミッドアンブルを通じて伝送されるシーケンスは、チャネル推定、ＭＩＭＯ（Ｍｕｌｔｉｐｌｅ　Ｉｎｐｕｔ　Ｍｕｌｔｉｐｌｅ　Ｏｕｔｐｕｔ）チャネル推定、ＣＱＩ推定などの用途に使用することができる。

【００７２】

－　受信端における複雑度の問題がある。

【００７３】

以下に説明する本発明の実施例は、上記のいずれのチャネル（例えば、パイロット、制御チャネル、アップリンク同期チャネル等）にも単純適用されることができる。したがって、特に言及しない限り、説明の便宜のために、ダウンリンク同期チャネル（例えば、プリアンブル、ＳＣＨ）を中心に本発明の実施例について具体的に説明する。

【実施例】

【００７４】

第１実施例：シーケンス生成

ダウンリンク同期チャネルのための好ましいシーケンス特性は、下記の通りである。

【００７５】

Ａ．低いＰＡＰＲ（またはＣＭ）：カバレッジ拡張のためのチャネルブースティング（ｂｏｏｓｔｉｎｇ）のために。

【００７６】

Ｂ．低い複雑度：端末での相関演算量の減少を通じてバッテリー消耗を節約するために。

【００７７】

Ｃ．小さいメモリーサイズ：シーケンス保存に必要なメモリー量の減少のために。

【００７８】

Ｄ．相関特性（Ｃｏｒｒｅｌａｔｉｏｎ　ｐｒｏｐｅｒｔｉｅｓ）

－　低い相互相関（ｃｒｏｓｓ－ｃｏｒｒｅｌａｔｉｏｎ）：セルＩＤの検出時の誤警報（ｆａｌｓｅ　ａｌａｒｍ）を減少させる。チャネル推定時に隣接セル成分と区別するためである。

－　低いディファレンシャル相互相関（ｄｉｆｆｅｒｅｎｔｉａｌ　ｃｒｏｓｓ－ｃｏｒｒｅｌａｔｉｏｎ）：ワイドバンド上にシーケンスが伝送される場合に、実際の周波数選択的フェーディング（ｆｒｅｑｕｅｎｃｙ　ｓｅｌｅｃｔｉｖｅ　ｆａｄｉｎｇ）上で検出できるノンコヒーレント検出に対する相互相関特性。

－　周波数領域における低い自己相関サイドピーク（ａｕｔｏ－ｃｏｒｒｅｌａｔｉｏｎ　ｓｉｄｅ　ｐｅａｋ）：整数周波数オフセット（ｉｎｔｅｇｅｒ　ｆｒｅｑｕｅｎｃｙ　ｏｆｆｓｅｔ）を補正するために。

－　周波数領域における低いディファレンシャル自己相関サイドピーク：周波数領域で具現可能なようにディファレンシャル自己相関を通じて整数周波数オフセットを補正するためである。

－　時間領域における低い相互相関：時間領域における相互相関と周波数領域における相互相関は等価であるから、周波数領域における相互相関に代替可能である。

－　時間領域における低い自己相関サイドピーク：正確なシンボルタイミングのために重要である。この場合、知っているシーケンスを用いて相互相関方法でタイミング同期を行う場合には、非周期的な自己相関特性が重要である（例、３ＧＰＰ系列）。一方、波形（ｗａｖｅｆｏｒｍ）の特性（例、反復構造）によって粗い（ｃｏａｒｓｅ）タイミング同期を行い、セルＩＤ検出後にＣＰ区間内で微細（ｆｉｎｅ）タイミング同期を行う場合には、時間領域で周期的な自己相関特性が重要である（例、ＩＥＥＥ　８０２．１６ｅ／ｍ、ＩＥＥＥ　８０２．２０等）。周波数領域でフラットスペクトル（ｆｌａｔ　ｓｐｅｃｔｒｕｍ）を有するシーケンスの場合、時間領域における周期的な自己相関は、サイドピークがゼロ－自己相関を有する（すなわち、デルタ関数）。したがって、周波数フラット強度（ｆｒｅｑｕｅｎｃｙ　ｆｌａｔ　ａｍｐｌｉｔｕｄｅ）を有するシーケンスに対してはこの特性の調査を省略しても良い。

【００７９】

図４は、本発明の一実施例によってＰＡＰＲ（またはＣＭ）が低く、基本特性（例、自己／相互相関、ディファレンシャル自己／相互相関）に優れたシーケンスを生成するフローチャートである。シーケンス生成段階は、三段階に大別することができる。

【００８０】

段階１：ランダムに生成したシーケンスの中から低いＰＡＰＲを有するシーケンスを選択する。まず、シーケンスの目的に応じて適合なシーケンス生成基準を設定する（４０２）。その後、長さＮのシーケンスを生成するが、この場合、各エレメントは、大きさが一定であり、位相がランダムフェーズ（ｒａｎｄｏｍ　ｐｈａｓｅ）を有するようにする（４０４及び４０６）。ランダムフェーズは、ユニフォーム（ｕｎｉｆｏｒｍ）またはガウス（Ｇａｕｓｓｉａｎ）分布を有するランダム変数（ｒａｎｄｏｍ　ｖａｒｉａｂｌｅ）を用いて生成されることができ、この方法は当業界において公知のものである。シーケンスの伝送されるチャネルを考慮して、長さＮのシーケンスを周波数領域の副搬送波にマッピングする（４０８）。例えば、シーケンスは、副搬送波に連続的にまたは不連続的にマッピングされることができる。具体的に、シーケンスは、２個の副搬送波間隔で挿入されたり（２ｘマッピング）、３個の副搬送波間隔で挿入されることができる（３ｘマッピング）。また、シーケンスは、小さいブロック単位で副搬送波にマッピングされることができる。また、シーケンスは、擬似ランダム（ｒａｎｄｏｍ　ｌｉｋｅ）マッピング方式によって副搬送波に挿入されることができる。その後、オーバーサンプリングまたはガード搬送波を考慮して、ヌル（ｎｕｌｌ）副搬送波を挿入することによって長さＮｄｆｔのエレメント列を生成する（４１０）。Ｎｄｆｔ－ポイントＩＤＦＴ（Ｉｎｖｅｒｓｅ　Ｄｉｓｃｒｅｔｅ　Ｆｏｕｒｉｅｒ　Ｔｒａｎｓｆｏｒｍ）によって副搬送波にマッピングされたシーケンスを、時間領域信号に変換する（４１２）。その後、生成された時間領域信号に対してＰＡＰＲ（またはＣＭ）を計算する（４１４）。計算されたＰＡＰＲ値が以前の反復（ｉｔｅｒａｔｉｏｎ）のＰＡＰＲ値よりも小さいと、ＤＦＴ変換を用いて上述の反復（ｉｔｅｒａｔｉｏｎ）を続ける（４１６、４１８ａ、４１８ｂ、４２２、４２４及び４２６）。計算されたＰＡＰＲ値が以前の反復におけるＰＡＰＲ値よりも大きいと、ループ（ｌｏｏｐ）から抜け出る（４１６、４１８ｂ、４２０、４２２、４２４及び４２６）。その後、ＤＦＴ（Ｄｉｓｃｒｅｔｅ　Ｆｏｕｒｉｅｒ　Ｔｒａｎｓｆｏｒｍ）によって得たシーケンスを種類（例、ＢＰＳＫタイプ、ＱＰＳＫタイプ、８ＰＳＫタイプ、ポリフェーズタイプ等）に応じて量子化（ｑｕａｎｔｉｚａｔｉｏｎ）を行って最終シーケンスを獲得する（４２８及び４３０）。例えば、ＤＦＴから得たシーケンスは、タイプによって下記のように両者化することができる。

【００８１】

【化８－１】
－ＢＰＳＫタイプシーケンス：＋１、－１
－ＱＰＳＫタイプシーケンス：＋１、－１、＋ｊ、－ｊ
－ポリフェーズタイプシーケンス：$e^{j\phi}=\frac{a_I+ja_Q}{\sqrt{a_I^{\,2}+a_Q^{\,2}}}$

ここで、ＢＰＳＫタイプシーケンスとＱＰＳＫタイプシーケンスは同じ演算量を要求するが、通常、ＱＰＳＫタイプシーケンス（エレメント当たり２ビット）がＢＰＳＫタイプシーケンス（エレメント当たり１ビット）に比べて２倍のメモリーを必要とする。

【００８２】
段階２：段階１で生成された母集団のシーケンスから、ＰＡＰＲ＜ＰＡＰＲ＿ＴＨＲＥＳＨＯＬＤ（または、ＣＭ＜ＣＭ＿ＴＨＲＥＳＨＯＬＤ）を満たすシーケンスセットを選択する。ここで、ＰＡＰＲ＿ＴＨＲＥＳＨＯＬＤまたはＣＭ＿ＴＨＲＥＳＨＯＬＤは、シーケンスが使用されるチャネルで許容される最大値を意味する。

【００８３】
段階３：段階２で選択されたシーケンスセットから、ＣＯＲＲ＜ＣＯＲＲ＿ＴＨＲＥＳＨＯＬＤのシーケンスセットを最終的に選択する。ここで、ＣＯＲＲ＿ＴＨＲＥＳＨＯＬＤは、シーケンスが使用されるチャネルに最適化された自己／相互相関値及び／またはディファレンシャル自己／相互相関値になりうる。段階２及び３は順序を取り替えてもよい。また、段階２及び３で用いた基準に限定されず、他の基準を用いて該当するシーケンスセットをさらに選択することもできる。

【００８４】
第２実施例：逆演算（ｒｅｖｅｒｓｅ　ｏｐｅｒａｔｉｏｎ）を用いたシーケンス拡張
本実施例は、時間または周波数領域シーケンスを問わずに適用可能であるが、便宜上、周波数領域シーケンスを中心に説明する。説明のために、長さＮを有するＭ個のシーケンスがあると想定する。便宜上、ｍ（＝０，１，…，Ｍ－１）番目のシーケンスのｎ番目のエレメントを

【００８５】
【化８－２】
$a^m(n)$

と表示する。逆演算を用いて、数学式１に表示されたＭ個のシーケンスを、数学式２のように２×Ｍ個のシーケンスに拡張することができる。

【００８６】
【化９】
【数１】
$$\left\{a^m(n)\right\}$$
$$m=0,1,\cdots,M-1$$
$$n=0,1,\cdots,N-1$$

【００８７】

【化１０】
【数２】

$$\left\{a^{m}_{ext_rev}(n)\right\}$$
$$=\left\{a^{m}(n);\ rev\left(a^{m}(n)\right)\right\}$$
$$m=0,1,\cdots,M-1$$
$$n=0,1,\cdots,N-1$$

ここで、逆演算ｒｅｖ（・）は、数学式３のように定義することができる。
【００８８】
【化１１－１】
【数３】

$$a^{m_1}(n)=rev\left(a^{m_0}(n)\right)$$
$$=a^{m_0}\left(N-1-n\right),\quad n=0,1,\cdots,N-1$$

逆演算を用いたシーケンス拡張の利点は、下記の通りである。
【００８９】
第一、一般に、本来の複素シーケンスが十分にランダムであれば、逆の関係にあるシーケンス及びそれらのシーケンスセットも十分にランダムである。この場合、逆の関係にあるシーケンスの特性が良好なものを選択することによって、より最適化することも可能である。
【００９０】
第二、本来のシーケンスとそれと逆関係にあるシーケンスは、ＰＡＰＲ（またはＣＭ）特性が同一である。すなわち、本来のシーケンスのＰＡＰＲ（またはＣＭ）特性が良好であると、それと逆関係にあるシーケンスも、同一のレベルの良好なＰＡＰＲ（またはＣＭ）を有する。
【００９１】
第三、逆関係により拡張されたシーケンスは、メモリーを必要としない。すなわち、メモリーサイズが半分に減少することができる。
【００９２】
第３実施例：複素共役演算（ｃｏｍｐｌｅｘ　ｃｏｎｊｕｇａｔｅ　ｏｐｅｒａｔｉｏｎ）を用いたシーケンス拡張
本実施例は、時間または周波数領域シーケンスを問わずに適用可能であるが、便宜上、周波数領域シーケンスを中心に説明する。説明のために、長さＮを有するＭ個のシーケンスがあると想定する。便宜上、ｍ（＝０，１，…，Ｍ－１）番目のシーケンスのｎ番目のエレメントを
【００９３】
【化１１－２】

$$a^{m}(n)$$

と表示する。複素共役演算を用いて、数学式４に表示されたＭ個のシーケンスを、数学式５のように２×Ｍ個のシーケンスに拡張することができる。
【００９４】

【化１２】
【数４】

$$\left\{a^m(n)\right\}$$
$$m=0,1,\cdots,M-1$$
$$n=0,1,\cdots,N-1$$

【００９５】
【化１３】
【数５】

$$\left\{a^m_{ext_conj}(n)\right\}$$
$$=\left\{a^m(n);\left(a^m(n)\right)^*\right\}$$
$$m=0,1,\cdots,M-1$$
$$n=0,1,\cdots,N-1$$

ここで、複素共役演算（・）＊は、ａ＋ｊｂの複素信号をａ－ｊｂの複素信号に変更し、ａ－ｊｂの複素信号をａ＋ｊｂの複素信号に変更する。

【００９６】
複素共役演算を用いるシーケンス拡張の利点は、下記の通りである。
第一、通常、本来の複素シーケンスが十分にランダムであれば、複素共役関係にあるシーケンス及びそれらのシーケンスセットも十分にランダムである。この場合、複素共役関係にあるシーケンスの特性が良好なものを選択することによって、より最適化することも可能である。

【００９７】
第二、本来のシーケンスとそれと複素共役関係にあるシーケンスは、ＰＡＰＲ（またはＣＭ）特性が同一である。すなわち、本来のシーケンスのＰＡＰＲ（またはＣＭ）特性が良いと、それと複素共役関係にあるシーケンスも、同一レベルの良好なＰＡＰＲ（またはＣＭ）を有する。

【００９８】
第三、本来のシーケンス及び該シーケンスと複素共役関係にあるシーケンスの相互相関は、一回の演算で同時に計算することができる。通常、Ｍ個のシーケンスに対する仮定（ｈｙｐｏｔｈｅｓｅｓ）はＭ個であって、Ｍ回の相互相関演算が必要である。具体的に、長さＮを有するＭ個のＱＰＳＫタイプシーケンスのＭ回の仮定（ｈｙｐｏｔｈｅｓｅｓ）に対する相関演算量は、Ｍ×Ｎ回の複素加算を必要とする。これに対し、複素共役演算によってＭ個のシーケンスを２×Ｍ個のシーケンスに拡張すると、情報量は２倍となるが、演算量はＭ×Ｎ回の複素加算であって同一である。これについては、図６を参照して詳細に後述する。

【００９９】
第四、複素共役関係によって拡張されたシーケンスは、メモリーを必要としない。すなわち、メモリーサイズが半分に減少することができる。

【０１００】
表２は、既存のシーケンス及び本発明の一実施例によって拡張されたシーケンスにおける演算複雑度及び必要なメモリーサイズを比較したものである。送受信端で使用可能な総シーケンスの個数はＭ個であり、各シーケンスの長さはＮであるとする。

【０１０１】

【化１４】

【表２】

	BPSK type	QPSK type	Proposed QPSK type (conjugate and reverse)
Number of real-value multiplications	0	0	0
Number of real-value additions	M(2N-2)	M(2N-2)	M(2N-2)/2
Normalized complexity to BPSK type (%)	100%	100%	50%
Required memory size for M-set [in Bytes]	$\left\lceil \frac{M \cdot N}{8} \right\rceil$	$\left\lceil \frac{2 \cdot M \cdot N}{8} \right\rceil$	$\left\lceil \frac{2 \cdot M \cdot N}{8} \right\rceil / 4$
Normalized memory size to BPSK type (%)	100%	200%	50%

図５は、本発明の一実施例によって送信端で複素共役演算を用いてシーケンスを拡張するように構成されたブロック図である。アップリンク伝送において送信端は端末の一部とし、ダウンリンク伝送において送信端は基地局の一部とすることができる。

【０１０２】

図５を参照すると、第１シーケンス提供器５０２は、内部設定によって、第１シーケンス（以下、母シーケンス）をコンステレーションマッピング（ｃｏｎｓｔｅｌｌａｔｉｏｎ　ｍａｐｐｉｎｇ）モジュール５０４に提供する。具現例によって、母シーケンスは、メモリーにあらかじめ保存されたシーケンスセットから選択されたり、特定パラメータを用いてシーケンス生成器で生成されることができる。コンステレーションマッピングモジュール５０４は、シーケンスタイプによってビットストリームを複素値として順次にマッピングさせる。シーケンスタイプは、ｎ－ＰＳＫタイプ、ｎ－ＱＡＭタイプ、ポリフェーズタイプなどを含むことができる（ｎ：０以上の整数）。より具体的に、シーケンスタイプは、ＱＰＳＫタイプ、８－ＰＳＫタイプ、１６－ＱＡＭ、６４－ＱＡＭ、ポリフェーズタイプなどを含むことができる。特に、ＱＰＳＫタイプは、演算量がＢＰＳＫタイプと同一であるから、より好ましい。一具現例として、母シーケンスが１６進数形態のＱＰＳＫタイプのシーケンスである場合、コンステレーションマッピングモジュール５０４は、１６進数シーケンスである$W_i^{(p)}$を、２個のＱＰＳＫシンボルである$w_{2i}^{(p)}$及び$w_{2i+1}^{(p)}$にマッピングすることができる。数学式６は、$W_i^{(p)}$を２個のＱＰＳＫシンボルにマッピングする例を表す。

【０１０３】

【化１５】
【数６】

$$w_{2i}^{(p)} = \exp\left(j\frac{\pi}{2}\left(2\cdot a_{i,0}^{(p)} + a_{i,1}^{(p)}\right)\right)$$

$$w_{2i+1}^{(p)} = \exp\left(j\frac{\pi}{2}\left(2\cdot a_{i,2}^{(p)} + a_{i,3}^{(p)}\right)\right)$$

ここで、

【０１０４】
【化１６－１】

$$W_i^{(p)} = 2^3\cdot a_{i,0}^{(p)} + 2^2\cdot a_{i,1}^{(p)} + 2^1\cdot a_{i,2}^{(p)} + 2^0\cdot a_{i,3}^{(p)}$$

である。この式により、２進数００、０１、１０及び１１はそれぞれ、１、ｊ、－１及び－ｊに変換される。

【０１０５】
コンステレーションマッピングモジュール５０４は、複素値に変調された母シーケンスを第２シーケンス生成器５０６及び／または副搬送波マッパー５０８に提供する。母シーケンスそのものが伝送されるべき場合は、コンステレーションマッピングモジュール５０４は、複素値に変調された母シーケンスを副搬送波マッパー５０８に提供することができる。一方、母シーケンスから拡張された第２シーケンス（以下、拡張シーケンス）が伝送されるべき場合、コンステレーションマッピングモジュール５０４は、複素値に変調された母シーケンスを第２シーケンス生成器５０６に提供することができる。また、コンステレーションマッピングモジュール５０４は、母シーケンスを伝送するか否かによらず、ＱＰＳＫで変調された母シーケンスを第２シーケンス生成器５０６に提供することもできる。すなわち、母シーケンスと拡張シーケンスの両方が生成された状態で、受信端に伝送するシーケンスを選択することもできる。

【０１０６】
第２シーケンス生成器５０６は、複素値に変調された母シーケンスに対して複素共役演算及び／または逆演算を行って拡張シーケンスを生成することができる。もし、拡張シーケンスを生成することが要求されないとすれば、送信端で第２シーケンス生成器５０６は省かれて良い。送信端で使用可能な母シーケンスの総個数をＭ個とすれば、送信端で使用可能な総シーケンスの個数は、複素共役演算及び逆演算によって最大４×Ｍ個と拡張される。説明のために、長さＮを有するＭ個の母シーケンスがあるとする。便宜上、ｍ（＝０，１，…，Ｍ－１）番目のシーケンスのｎ番目のエレメントを

【０１０７】
【化１６－２】

$$a^m(n)$$

と表示する。複素共役演算及び逆演算を用いて、数学式７に表示されたＭ個の母シーケンスを、数学式８のように４×Ｍ個のシーケンスに拡張することができる。

【０１０８】
【化１７】
【数７】

$$\left\{a^m(n)\right\}$$
$$m = 0,1,\cdots,M-1$$
$$n = 0,1,\cdots,N-1$$

【０１０９】
【化１８】
【数８】

$$\left\{a^{m}_{ext_hybrid}(n)\right\}$$
$$=\left\{a^{m}(n);\left(a^{m}(n)\right)^{*};rev\left(a^{m}(n)\right);\left(rev\left(a^{m}(n)\right)\right)^{*}\right\}$$
$$=\left\{a^{m}(n);\left(a^{m}(n)\right)^{*};rev\left(a^{m}(n)\right);rev\left(\left(a^{m}(n)\right)^{*}\right)\right\}$$
$$m=0,1,\cdots,M-1$$
$$n=0,1,\cdots,N-1$$

ここで、複素共役演算（・）＊及び逆演算ｒｅｖ（・）は、上に定義した通りである。
【０１１０】
副搬送波マッパー５０８は、変調器５０４から出力された複素変調値を、周波数領域内の副搬送波にマッピングする。複素変調値は、シーケンスが伝送されるチャネルを考慮して周波数領域内で連続的にまたは不連続的にマッピングされることができる。その後、ＩＦＦＴモジュール５１０は、副搬送波にマッピングされたシーケンスを時間領域信号に変換する。以降、時間領域信号に変換されたシーケンスは、ＣＰ（Ｃｙｃｌｉｃ　Ｐｒｅｆｉｘ）付加、デジタル対アナログ変換、周波数アップコンバージョン、電力増幅などの過程を経て受信端に伝送される。
【０１１１】
図６は、本発明の一実施例によって受信端でシーケンスを検出するように構成されたブロック図である。アップリンク伝送において受信端は基地局の一部とし、ダウンリンク伝送において受信端は端末の一部とすることができる。
【０１１２】
図６を参照すると、インデックスマッパー６０２は受信信号を第１加算器６０４，６０６，６０８及び６１０に分配する。受信信号は、数学式９で表現することができる。
【０１１３】
【化１９】
【数９】

$$r(n)=r_{I}(n)+jr_{Q}(n)$$

ここで、下付き文字Ｉは、同相（Ｉｎ－ｐｈａｓｅ）成分を表し、下付き文字Ｑは、直角位相（Ｑｕａｄｒａｔｕｒｅ－ｐｈａｓｅ）成分を表す。下付き文字Ｉ及びＱは、以下の数学式でも同一に使用される。
【０１１４】
第１加算器６０４、６０６、６０８及び６１０は、全体の母シーケンスから選択された各シーケンス及びその拡張シーケンスに対する相関値を計算するのに必要な予備演算を行う。それぞれの母シーケンスm_0及びその拡張シーケンスm_1は、数学式１０で表現することができる。
【０１１５】

【化２０】
【数１０】

m_0番目のシーケンス：$a^{m_0}(n)=a_I^{m_0}(n)+ja_Q^{m_0}(n)$

m_1番目のシーケンス：$a^{m_1}(n)=a_I^{m_1}(n)+ja_Q^{m_1}(n)$

$$a^{m_1}(n)=\left(a^{m_0}(n)\right)^*$$

一具現例として、それぞれの第１加算器６０４、６０６、６０８及び６１０は、数学式１１を用いて相関値を計算するのに必要な予備演算を行うことができる。

【０１１６】
【化２１】
【数１１】

$$R_{II}(d)=\frac{1}{N}\sum_{n=0}^{N-1}\left(r_I(n+d)a_I^{m_0}(n)\right)$$

$$R_{QQ}(d)=\frac{1}{N}\sum_{n=0}^{N-1}\left(r_Q(n+d)a_Q^{m_0}(n)\right)$$

$$I_{QI}(d)=\frac{1}{N}\sum_{n=0}^{N-1}\left(r_Q(n+d)a_I^{m_0}(n)\right)$$

$$I_{IQ}(d)=\frac{1}{N}\sum_{n=0}^{N-1}\left(r_I(n+d)a_Q^{m_0}(n)\right)$$

ここで、ｄは遅延（ｄｅｌａｙ）値を表し、以下の数式に同一に適用される。数学式１０を参照すると、母シーケンスm_0及び拡張シーケンスm_1の相関値を計算するのに必要な予備演算は、母シーケンスm_0のみを用いて行うことができる。

【０１１７】
第１加算器６０４、６０６、６０８及び６１０から出力された予備演算値は、第２加算器６１２、６１４、６１６及び６１８に入力される。第２加算器６１２、６１４、６１６及び６１８は、予備演算値を適切に組み合わせて最終相関値を計算する。具体的に、２つの第２加算器６１２及び６１６は、母シーケンスm_0に対する相関値の実数及び虚数を計算し、残り２つの第２加算器６１４及び６１８は、拡張シーケンスm_1に対する相関値の実数及び虚数を計算する。第１加算器６０４、６０６、６０８及び６１０と第２加算器６１２、６１４、６１６及び６１８との関係は、数学式１２及び１３で説明することができる。

【０１１８】
数学式１２は、受信信号と母シーケンスm_0の相互相関値を表す。

【０１１９】

【化２２】
【数１２】

$$R^{m_0}(d)=\frac{1}{N}\sum_{n=0}^{N-1}r(n+d)\cdot\left(a^{m_0}(n)\right)^*$$
$$=\frac{1}{N}\sum_{n=0}^{N-1}\left[\left(r_I(n+d)a_I^{m_0}(n)+r_Q(n+d)a_Q^{m_0}(n)\right)+j\left(r_Q(n+d)a_I^{m_0}(n)-r_I(n+d)a_Q^{m_0}(n)\right)\right]$$
$$=\left(R_{II}(d)+R_{QQ}(d)\right)+j\left(I_{QI}(d)-I_{IQ}(d)\right)$$

上記式の最終形態におい、各成分は、第１加算器６０４、６０６、６０８及び６１０の出力に該当し、実数部及び虚数部は、第２加算器６１２及び６１６の出力に該当する。
【０１２０】
数学式１３は、受信信号と拡張シーケンスｍ$_1$との相互相関値を表す。
【０１２１】
【化２３】
【数１３】

$$R^{m_1}(d)=\frac{1}{N}\sum_{n=0}^{N-1}r(n+d)\cdot\left(a^{m_1}(n)\right)^*$$
$$=\frac{1}{N}\sum_{n=0}^{N-1}r(n+d)\cdot a^{m_0}(n)$$
$$=\frac{1}{N}\sum_{n=0}^{N-1}\left(\left(r_I(n+d)a_I^{m_0}(n)-r_Q(n+d)a_Q^{m_0}(n)\right)+j\left(r_Q(n+d)a_I^{m_0}(n)+r_I(n+d)a_Q^{m_0}(n)\right)\right)$$
$$=\left(R_{II}(d)-R_{QQ}(d)\right)+j\left(I_{QI}(d)+I_{IQ}(d)\right)$$

上記式の最終形態において、各成分は、第１加算器６０４、６０６、６０８及び６１０の出力に該当し、実数部及び虚数部は第２加算器６１４及び６１８の出力に該当する。
【０１２２】
図６に例示したブロックは、受信信号に対してディファレンシャル相関値を求める時にも使用することができる。各ブロックの機能については詳細に上述したので、数学式を中心にしてディファレンシャル相関値を計算することについて説明する。
【０１２３】
ディファレンシャル形態の受信信号は、数学式１４のように表現することができる。
【０１２４】
【化２４】
【数１４】

$$\left(r(n)\right)'=\left(r_I(n)\right)'+j\left(r_Q(n)\right)'$$

$$\left(r(n)\right)'=\left(r(n)\right)^*\cdot r(n+1),\ n=0,1,\cdots,N-2$$

ディファレンシャル形態の母シーケンスｍ$_0$及び拡張シーケンスｍ$_1$は、数学式１５のように表現される。
【０１２５】

【化２５】
【数１５】

m_0番目シーケンス：$\left(a^{m_0}(n)\right)' = \left(a_I^{m_0}(n)\right)' + j\left(a_Q^{m_0}(n)\right)'$

$$\left(a^{m_0}(n)\right)' = \left(a^{m_0}(n)\right)^* \cdot a^{m_0}(n+1),\ n = 0,1,\cdots,N-2$$

m_1番目シーケンス：$\left(a^{m_1}(n)\right)' = \left(a_I^{m_1}(n)\right)' + j\left(a_Q^{m_1}(n)\right)'$

$$\left(a^{m_1}(n)\right)' = \left(a^{m_1}(n)\right)^* \cdot a^{m_1}(n+1),\ n = 0,1,\cdots,N-2$$

$$\left(a^{m_1}(n)\right)' = \left(\left(a^{m_0}(n)\right)'\right)^*$$

この場合、それぞれの第１加算器６０４、６０６、６０８及び６１０は、数学式１６を用いて相関値を計算するのに必要な予備演算を行うことができる。

【０１２６】
【化２６】
【数１６】

$$\left(R_{II}(d)\right)' = \frac{1}{N-1}\sum_{n=0}^{N-2}\left(\left(r_I(n+d)\right)'\left(a_I^{m_0}(n)\right)'\right)$$

$$\left(R_{QQ}(d)\right)' = \frac{1}{N-1}\sum_{n=0}^{N-2}\left(\left(r_Q(n+d)\right)'\left(a_Q^{m_0}(n)\right)'\right)$$

$$\left(I_{QI}(d)\right)' = \frac{1}{N-1}\sum_{n=0}^{N-2}\left(\left(r_Q(n+d)\right)'\left(a_I^{m_0}(n)\right)'\right)$$

$$\left(I_{IQ}(d)\right)' = \frac{1}{N-1}\sum_{n=0}^{N-2}\left(\left(r_I(n+d)\right)'\left(a_Q^{m_0}(n)\right)'\right)$$

第１加算器６０４、６０６、６０８及び６１０で計算された予備演算値は、第２加算器６１２、６１４、６１６及び６１８に入力される。第１加算器６０４、６０６、６０８及び６１０と第２加算器６１２、６１４、６１６及び６１８との関係は、数学式１７及び１８によって説明される。

【０１２７】
数学式１７は、受信信号と母シーケンスm_Oとのディファレンシャル相関値を表す。

【０１２８】

【化２７】
【数１７】

$$\left(R^{m_0}(d)\right)' = \frac{1}{N-1}\sum_{n=0}^{N-2}\left(r(n+d)\right)'\cdot\left(\left(a^{m_0}(n)\right)'\right)^*$$

$$= \frac{1}{N-1}\sum_{n=0}^{N-2}\begin{bmatrix}\left(\left(r_I(n+d)\right)'\left(a_I^{m_0}(n)\right)' + \left(r_Q(n+d)\right)'\left(a_Q^{m_0}(n)\right)'\right) + \\ j\left(\left(r_Q(n+d)\right)'\left(a_I^{m_0}(n)\right)' - \left(r_I(n+d)\right)'\left(a_Q^{m_0}(n)\right)'\right)\end{bmatrix}$$

$$= \left(\left(R_{II}(d)\right)' + \left(R_{QQ}(d)\right)'\right) + j\left(\left(I_{QI}(d)\right)' - \left(I_{IQ}(d)\right)'\right)$$

上記式の最終形態において、各成分は、第１加算器６０４、６０６、６０８及び６１０の出力に該当し、実数部及び虚数部は、第２加算器６１２及び６１６の出力に該当する。
【０１２９】
数学式１８は、受信信号と拡張シーケンスｍ$_1$とのディファレンシャル相関値を表す。
【０１３０】
【化２８】
【数１８】

$$\left(R^{m_1}(d)\right)' = \frac{1}{N-1}\sum_{n=0}^{N-2}\left(r(n+d)\right)'\cdot\left(\left(a^{m_1}(n)\right)'\right)^*$$

$$= \frac{1}{N-1}\sum_{n=0}^{N-2}\left(r(n+d)\right)'\cdot\left(a^{m_0}(n)\right)'$$

$$= \frac{1}{N-1}\sum_{n=0}^{N-2}\begin{pmatrix}\left(\left(r_I(n+d)\right)'\left(a_I^{m_0}(n)\right)' - \left(r_Q(n+d)\right)'\left(a_Q^{m_0}(n)\right)'\right) + \\ j\left(\left(r_Q(n+d)\right)'\left(a_I^{m_0}(n)\right)' + \left(r_I(n+d)\right)'\left(a_Q^{m_0}(n)\right)'\right)\end{pmatrix}$$

$$= \left(\left(R_{II}(d)\right)' - \left(R_{QQ}(d)\right)'\right) + j\left(\left(I_{QI}(d)\right)' + \left(I_{IQ}(d)\right)'\right)$$

上記式の最終形態において、各成分は第１加算器６０４、６０６、６０８及び６１０の出力に該当し、実数部及び虚数部は、第２加算器６１４及び６１８の出力に該当する。
【０１３１】
図６に例示した方法を用いることによって、一回の相関演算（またはディファレンシャル相関演算）によって母シーケンスｍ$_0$及びその拡張シーケンスｍ$_1$の両方に対する相関値（または、ディファレンシャル相関値）を共に計算することができる。図６は、母シーケンスと複素共役演算によって拡張されたシーケンスを中心にして説明した。しかし、これは一例に過ぎず、図６に例示した方法は、逆演算によって拡張されたシーケンスの相関値を計算するときにも容易に適用することができる。例えば、インデックスマッパー６０２は、逆演算の行われた受信信号を第１加算器６０４、６０６、６０８及び６１０に配分することができる。他の例として、第１加算器６０４、６０６、６０８及び６１０は、逆演算の行われた母シーケンスを用いて備演算を行うことができる。
【０１３２】
シミュレーション：母シーケンス及びその拡張シーケンスに対する特性分析
表３は、本発明の一実施例によって生成した６個の母シーケンスを表すものである。母シーケンスは、インデックスｐによって０乃至５として示され、１６進数フォーマットで示した。
【０１３３】

副搬送波にマッピングされる変調シーケンスは、１６進数シーケンスである$W_i^{(p)}$を、２つのＱＰＳＫシンボルである$w_{2i}^{(p)}$及び$w_{2i+1}^{(p)}$に変換することによって得られる。ここで、ｉは、０乃至１０７の整数を表す。数学式１９は、$W_i^{(p)}$を２つのＱＰＳＫシンボルに変調する例を表す。

【０１３４】

【化２９】

【数１９】

$$w_{2i}^{(p)} = \exp\left(j\frac{\pi}{2}\left(2\cdot a_{i,0}^{(p)} + a_{i,1}^{(p)}\right)\right)$$

$$w_{2i+1}^{(p)} = \exp\left(j\frac{\pi}{2}\left(2\cdot a_{i,2}^{(p)} + a_{i,3}^{(p)}\right)\right)$$

ここで、

【０１３５】

【化３０】

$$W_i^{(p)} = 2^3\cdot a_{i,0}^{(p)} + 2^2\cdot a_{i,1}^{(p)} + 2^1\cdot a_{i,2}^{(p)} + 2^0\cdot a_{i,3}^{(p)}$$

である。上記式により、２進数００、０１、１０及び１１はそれぞれ、１、ｊ、－１及び－ｊに変換される。しかし、これは一例に過ぎず、$W_i^{(p)}$は、類似の他の式を用いてＱＰＳＫシンボルに変換することもできる。

【０１３６】

【化３１】

【表３】

p	Sequence to modulate, $W_i^{(p)}$ (in hexadecimal format)
0	0CCF02E8216E980A50A62D0FCDC9A88BCF078AC6EAF8DD70A8D5E0EEE33E360458EAF42EA89C35271F8413615F74E50FFC6DB1084EF8
1	21C3C0B6A4A1653023111E274F8AFD4D88481B116B8D0B54673CE50D4E9AA67BAC6DB6EA8E72180A204F5A7D6104A37E94CC35AD7007
2	0D684E2D0E360F81AEECE43EA204DA893D8B550C64667B58B7065F56C5BB8D369211F38A992707E298C375451437FF32ABC9DB1C4878
3	3F89C5F1E37F6D634DCEB42D0374CE82D0C81C41382FE890B468B4EA816FC63F322EAA367EB9063D478724756641EBF8114AFB4C1AA7
4	056320CC0B9AE2C5A4190BB1622B3A0F4FA23F41A2F2F79BC854CFCCC65343FE9739F7EB5E308A179349162E2502114259BE77CC312C
5	14422F9715FF0AD00C1F2FE0197BCA5E8B0944422D7382B5ABA3BF00DDCDF6572C77E13F93462E31F4901374093A677561F4AFE4B9E4

表３に例示された６個の母シーケンスは、複素共役演算及び逆演算を用いて総２４個のシーケンスに拡張されることができる。母シーケンスを除く１８個の拡張シーケンスは、インデックスｐにより６乃至２３で示され、数学式２０により得られることができる。

【０１３７】

【化３２】

【数２０】

$$w_k^{(p)} = \begin{cases} (w_k^{(p-6)})^* & for \quad 6 \le p < 12, \\ w_{215-k}^{(p-12)} & for \quad 12 \le p < 18, \\ (w_{215-k}^{(p-18)})^* & for \quad 18 \le p < 24, \end{cases}$$

ここで、ｋは、０乃至２１５の整数である。

【０１３８】

表３及び数学式２０を用いて生成した２４個のシーケンスの特性を、５１２　ＦＦＴを用いて測定した。ＩＥＥＥ　８０２．１６ｅシステムで用いられる１１４個のプリアンブルシーケンスを対照群とした（ＩＥＥＥＳｔｄ　８０２．１６Ｅ－２００５、Ｔａｂｌｅ　３０９ｂ参照）。

【０１３９】

シーケンス特性を調べるために相互相関値、ディファレンシャル相互相関値、自己相関値、ディファレンシャル自己相関値及びＣＭ値を測定した（数学式９乃至１８参照）。測定結果を、図７及び表４乃至６に示す。

【０１４０】

【化３３】

【表４】

	Cross-correlation		Differential cross-correlation	
	802.16e(114)	Examples(24)	802.16e(114)	Examples(24)
Min	0.000	0.000	0.000	0.005
Max	0.303	0.250	0.239	0.105
Mean	0.074	0.060	0.065	0.048
Median	0.070	0.056	0.056	0.043
std. dev.	0.039	0.032	0.049	0.023

【０１４１】

【化３４】

【表５】

	Auto-correlation		Differential auto-correlation	
	802.16e(114)	Examples(24)	802.16e(114)	Examples(24)
Min	0.091	0.083	0.127	0.144
Max	0.203	0.124	0.408	0.173
Mean	0.134	0.096	0.216	0.157
Median	0.133	0.091	0.211	0.153
std. dev.	0.020	0.015	0.044	0.011

【０１４２】

【化３５】

【表６】

	Cubic Metric	
	802.16e(114)	Examples(24)
Min	0.790	0.994
Max	1.389	1.205
Mean	1.128	1.085
Median	1.139	1.077
std. dev.	0.131	0.063

図７及び表４乃至６を参照すると、母シーケンスの他に、母シーケンスから複素共役演算及び逆演算によって拡張されたシーケンスも、実施例１で例示した様々な基準に照らして、優れた特性を有することがわかる。

【０１４３】

適用例：母シーケンス及びその拡張シーケンスを用いた信号の伝送

本発明の一実施例によるシーケンスを、ダウンリンク同期チャネル及びレンジングチャネルに使用する場合について具体的に例示する。ただし、これは説明のための一例に過ぎず、本発明の一実施例によるシーケンスは、様々なチャネル及び信号伝送に使用されることができる。例えば、本発明の一実施例によるシーケンスは、時間／周波数同期、チャネル推定（基準信号またはパイロット）、制御チャネル（例、ＣＱＩ、ＡＣＫ／ＮＡＣＫなど）、スクランブリング、ＣＤＭ多重化、ミッドアンブル、受信信号測定（例、ＲＳＳＩ（Ｒｅｃｅｉｖｅｄ Ｓｉｇｎａｌ Ｓｔｒｅｎｇｔｈ Ｉｎｄｉｃａｔｉｏｎ）、ＳＮＲ（Ｓｉｇｎａｌ ｔｏ Ｎｏｉｓｅ Ｒａｔｉｏ）、ＳＩＮＲ（Ｓｉｇｎａｌ ｔｏ Ｉｎｔｅｒｆｅｒｅｎｃｅ ａｎｄ Ｎｏｉｓｅ Ｒａｔｉｏ）など）に使用されることもできる。また、この適用例は、便宜上、ＩＥＥＥ ８０２．１６ｍを取り上げて説明するが、シーケンスを使用するいずれの通信システムにも適用することができる（例、３ＧＰＰシステムなど）。

【０１４４】

図８は、ＩＥＥＥ ８０２．１６ｍシステムの無線フレーム構造を示す図である。無線フレーム構造は、ＦＤＤ（Ｆｒｅｑｕｅｎｃｙ Ｄｉｖｉｓｉｏｎ Ｄｕｐｌｅｘ）、Ｈ－ＦＤＤ（Ｈａｌｆ Ｆｒｅｑｕｅｎｃｙ Ｄｉｖｉｓｉｏｎ Ｄｕｐｌｅｘ）、ＴＤＤ（Ｔｉｍｅ Ｄｉｖｉｓｉｏｎ Ｄｕｐｌｅｘ）などに適用することができる。

【０１４５】

図８を参照すると、無線フレーム構造は、５ＭＨｚ、８．７５ＭＨｚ、１０ＭＨｚまたは２０ＭＨｚ帯域幅を支援する２０ｍｓスーパーフレーム（ＳＵ０～ＳＵ３）を含む。それぞれのスーパーフレームは、同じ大きさを有する４個の５ｍｓフレーム（Ｆ０～Ｆ３）を含み、スーパーフレームヘッダー（Ｓｕｐｕｅｒ Ｆｒａｍｅ Ｈｅａｄｅｒ；ＳＦＨ）から始まる。それぞれのフレームは、８個のサブフレーム（ＳＦ０～ＳＦ７）を含み、それぞれ一つのダウンリンク同期チャネルを伝送する。サブフレームは、ダウンリンクまたはアップリンク伝送に割り当てられる。ＣＰ（Ｃｙｃｌｉｃ Ｐｒｅｆｉｘ）によって３タイプのサブフレームが存在する。具体的に、サブフレームは、５、６または７個のＯＦＤＭＡシンボルで構成することができる。ＯＦＤＭＡシンボルは、ＣＰと有用シンボル（Ｕｓｅｆｕｌ Ｓｙｍｂｏｌ）とから構成される。ＣＰは、一般に、有用シンボルの末尾部でコピーされて、有用シンボルの前に付加される。これによって、ＣＰと有用シンボル間に位相が連続する。ＣＰ長は、有用シンボルの１／８または１／１６に設定することができるが、これに制限されるわけではない。表７は、ＩＥＥＥ ８０２．１６ｍシステムに定義されたＯＦＤＭＡパラメータの一部を表すものである。

【０１４６】

【化３６】

【表７】

Nomial Channel Bandwidth (MHz)	5	7	8.75	10	20
Over-sampling Factor	28/25	8/7	8/7	28/25	28/25
Sampling Frequency, F_s (MHz)	5.6	8	10	11.2	22.4
FFT Size, N_{FFT}	512	1024	1024	1024	2048
Sub-Carrier Spacing, $\triangle f$ (kHz)	10.937500	7.812500	9.765625	10.937500	10.937500
Useful Symbol Time, T_b (us)	91.429	128	102.4	91.429	91.429

図９は、ＩＥＥＥ ８０２．１６ｍシステムで同期チャネルを伝送する例を示す図である。本実施例は、ＩＥＥＥ ８０２．１６ｍ専用モード（ｏｎｌｙ ｍｏｄｅ）を想定する。

【０１４７】
図９を参照すると、ＩＥＥＥ　８０２．１６ｍシステムにおいて一つのスーパーフレーム（ＳＵ１～ＳＵ４）には４個の同期チャネル（Ｓｙｎｃｈｒｏｎｉｚａｔｉｏｎ　ＣＨａｎｎｅｌ；ＳＣＨ）が伝送される。ＩＥＥＥ　８０２．１６ｍシステムにおいて、ダウンリンク同期チャネルは主動期チャネル及び副同期チャネルを含み、それぞれはＰＡ－プリアンブル（Ｐｒｉｍａｒｙ　Ａｄｖａｎｃｅｄ　Ｐｒｅａｍｂｌｅ）とＳＡ－プリアンブル（Ｓｅｃｏｎｄａｒｙ　Ａｄｖａｎｃｅｄ　Ｐｒｅａｍｂｌｅ）で構成される。ＦＤＤモード及びＴＤＤモードにおいてダウンリンク同期チャネルはフレームの最初のＯＦＤＭＡシンボルを通じて伝送されることができる。ＰＡ－プリアンブルは、通常、時間／周波数同期及び部分セルＩＤ、システム情報などのような一部情報を獲得するのに使用される。ＳＡ－プリアンブルは、通常、最終物理セルＩＤを獲得するのに使用され、ＲＳＳＩ（Ｒｅｃｅｉｖｅｄ　Ｓｉｇｎａｌ　Ｓｔｒｅｎｇｔｈ　Ｉｎｄｉｃａｔｉｏｎ）測定などの用途にも使用されることができる。ＰＡ－プリアンブルは、第１番目のフレーム（ＦＯ）を通じて伝送され、ＳＡ－プリアンブルは、第２番目乃至第４番目のフレーム（ＦＯ１～ＦＯ３）を通じて伝送されることができる。

【０１４８】
図１０は、ＰＡ－プリアンブルがマッピングされる副搬送波を示す図である。

【０１４９】
図１０を参照すると、ＰＡ－プリアンブルの長さは２１６であり、ＦＦＴサイズとは無関係である。ＰＡ－プリアンブルは、２個の副搬送波間隔で挿入され、残りの区間には０が挿入される。例えば、ＰＡ－プリアンブルは、４１，４３，…，４６９及び４７１の副搬送波に挿入されることができる。ＰＡ－プリアンブルは、基地局タイプに関する情報、システム帯域幅などに関する情報を搬送することができる。副搬送波インデックス２５６がＤＣと予約された場合、シーケンスのマッピングされる副搬送波は、数学式２１を用いて決定することができる。

【０１５０】
【化３７】
【数２１】

$$PAPreambleCarrierSet = 2\times k+41$$

ここで、ｋは０乃至２１５の整数を表す。

【０１５１】
例えば、表３で提示した長さ２１６のＱＰＳＫタイプシーケンスがＰＡ－プリアンブルに使用されることができる。便宜上、表８に、６個の母シーケンスを再び整理した。

【０１５２】

【化３８】
【表８】

p	Sequence to modulate, $W_i^{(p)}$ (in hexadecimal format)
0	0CCF02E8216E980A50A62D0FCDC9A88BCF078AC6EAF8DD70A8D5E0EEE33E360458 EAF42EA89C35271F8413615F74E50FFC6DB1084EF8
1	21C3C0B6A4A1653023111E274F8AFD4D88481B116B8D0B54673CE50D4E9AA67BAC6 DB6EA8E72180A204F5A7D6104A37E94CC35AD7007
2	0D684E2D0E360F81AEECE43EA204DA893D8B550C64667B58B7065F56C5BB8D369211 F38A992707E298C375451437FF32ABC9DB1C4878
3	3F89C5F1E37F6D634DCEB42D0374CE82D0C81C41382FE890B468B4EA816FC63F322E AA367EB9063D478724756641EBF8114AFB4C1AA7
4	056320CC0B9AE2C5A4190BB1622B3A0F4FA23F41A2F2F79BC854CFCCC65343FE9739 F7EB5E308A179349162E2502114259BE77CC312C
5	14422F9715FF0AD00C1F2FE0197BCA5E8B0944422D7382B5ABA3BF00DDCDF6572C7 7E13F93462E31F4901374093A677561F4AFE4B9E4

上記シーケンスの変換方法及びシーケンスに複素共役演算及び／または逆演算を行ってシーケンスを拡張することに関する詳細な事項は、表３に関する説明を参照すればいい。結論的にいうと、基地局は、表８に提示した６個の母シーケンスに基づいて総２４個のＰＡ－プリアンブルを伝送することが可能である。

【０１５３】

図１１は、ＳＡ－プリアンブルを周波数領域にマッピングする例を示す図である。

【０１５４】

図１１を参照すると、ＳＡ－プリアンブルの長さは、ＦＦＴサイズによって可変できる。例えば、ＳＡ－プリアンブルの長さは、５１２－ＦＦＴ、１０２４－ＦＦＴ及び２０４８－ＦＦＴに対してそれぞれ１４４、２８８及び５７６とすることができる。５１２－ＦＦＴ、１０２４－ＦＦＴ及び２０４８－ＦＦＴに対して２５６、５１２及び１０２４番の副搬送波がそれぞれＤＣ成分として予約された場合、ＳＡ－プリアンブルのマッピングされる副搬送波は、数学式２２によって決定されることができる。

【０１５５】

【化３９】
【数２２】

$$SAPreambleCarrierSet_n = n + 3\cdot k + 40\cdot\frac{N_{SAP}}{144} + \left\lfloor\frac{2\cdot k}{N_{SAP}}\right\rfloor$$

ここで、ｎは、ＳＡ－プリアンブルキャリアセットインデックスとして０、１または２

の値を有し、セグメントＩＤを表す。N_{SAP}はＳＡ－プリアンブルの長さを表し、ｋは０乃至N_{SAP}－１の整数を表す。

【０１５６】

それぞれのセルは、０乃至７６７の整数で表示されるセル識別子（ＩＤＣｅｌｌ）を有する。セル識別子は、セグメントインデックスとセグメント別に与えられるインデックスと定義される。セル識別子は、数学式２３により決定されることができる。

【０１５７】

【化４０】

【数２３】

$$IDcell = 256 \times n + Idx$$

ここで、ｎは、ＳＡ－プリアンブルキャリアセットインデックスとして０、１または２の値を有し、セグメントＩＤを表す。Ｉｄｘは、０乃至２５５の整数を表す。

【０１５８】

５１２－ＦＦＴの場合、１４４長のＳＡ－プリアンブルは、８個のサブブロックに分割され（すなわち、Ａ、Ｂ、Ｃ、Ｄ、Ｅ、Ｆ、Ｇ及びＨ）、各サブブロックの長さは１８である。それぞれのセグメントＩＤは、互いに異なるシーケンスサブブロックを有する。８０２．１６ｍシステムで、公知のＳＡ－プリアンブルはＢＰＳＫタイプであり、１６進数で表現される。各サブブロックに対して定義された１６進数シーケンスのうち、ＬＳＢ（Ｌｅａｓｔ　Ｓｉｇｎｉｆｉｃａｎｔ　Ｂｉｔ）の１８ビットが２進シーケンスを表すのに使用される。２進シーケンス｛０，１｝は、実数値である｛＋１，－１｝としてそれぞれマッピングされる。８０２．１６ｍシステムに定義されたＳＡ－プリアンブルの詳細は後述される。５１２－ＦＦＴの場合、Ａ、Ｂ、Ｃ、Ｄ、Ｅ、Ｆ、Ｇ及びＨは順次に変調された後、セグメントＩＤに対応するＳＡ－プリアンブル副搬送波セットにマッピングされる。ＦＦＴサイズが大きくなる場合、基本ブロック（Ａ、Ｂ、Ｃ、Ｄ、Ｅ、Ｆ、Ｇ、Ｈ）は、同一の順序で反復される。例えば、１０２４－ＦＦＴサイズの場合、Ｅ、Ｆ、Ｇ、Ｈ、Ａ、Ｂ、Ｃ、Ｄ、Ｅ、Ｆ、Ｇ、Ｈ、Ａ、Ｂ、Ｃ、Ｄが順次に変調された後、セグメントＩＤに対応するＳＡ－プリアンブル副搬送波セットにマッピングされる。

【０１５９】

巡回シフト（ｃｉｒｃｕｌａｒ　ｓｈｉｆｔ）は、数学式２２による副搬送波マッピングの後に、３個の連続した副搬送波に対して適用されることができる。それぞれのサブブロックは、同じオフセットを有し、それぞれのサブブロックに対する巡回シフトパターンは、［２，１，０，…，２，１，０，…，２，１，０，２，１，０，ＤＣ，１，０，２，１，０，２，…，１，０，２，…，１，０，２］のようになる。ここで、シフトは右巡回シフトは含む。５１２－ＦＦＴサイズの場合、ブロック（Ａ、Ｂ、Ｃ、Ｄ、Ｅ、Ｆ、Ｇ、Ｈ）はそれぞれ、（０、２、１、０、１、０、２、１）の右巡回シフトは経験することができる。図１２に、５１２－ＦＦＴのための周波数領域におけるＳＡ－プリアンブル構造を例示した。

【０１６０】

図１３乃至図１５には、多重アンテナシステムにおけるＳＡ－プリアンブル構造を例示する。図１３乃至図１５はそれぞれ、５１２－ＦＦＴ、１０２４－ＦＦＴ及び２０４８－ＦＦＴである場合を例示する。

【０１６１】

図１３乃至図１５を参照すると、ＳＡ－プリアンブルは、複数のアンテナ上でインタリーブ（ｉｎｔｅｒｌｅａｖｅ）されることができる。ＳＡ－プリアンブルをインタリーブする方法は、特に制されない。例えば、多重アンテナシステムが2^n個の送信アンテナを有する場合、ＳＡ－プリアンブルは、表９に例示した方式でインタリーブされることができる。便宜上、８個の連続したサブブロック｛Ｅ、Ｆ、Ｇ、Ｈ、Ａ、Ｂ、Ｃ、Ｄ｝をブロックと称し、記号を下記のように定義する。

－N_t：送信アンテナの個数

－N_b：ブロックの総個数
－N_s：サブブロックの総個数（８×N_b）
－N_{bt}：アンテナ別ブロックの個数（N_b／N_t）
－N_{st}：アンテナ別サブブロックの個数（N_s／N_t）
【０１６２】
【化４１】
【表９】

If(N_{bt}>=1)
連続したブロックをN_t個のアンテナに分散
与えられたアンテナでブロックはN_tの周期で反復
(t+1)番目のアンテナでブロックの位置=t+p×N_t
ここで、t=0, 1, 2, …, N_t-1、p=0, 1, 2, …, N_{bt}-1
Else If(N_{st}=4)
サブブロック{E, F, G, H, A, B, C, D}を２個の連続したアンテナにインターリビング
ブロック[E, 0, G, 0, A, 0, C, 0]をブロック位置 floor(i/2) でアンテナｉに割当
ブロック[0, F, 0, H, 0, B, 0, D]をブロック位置 floor((i+1)/2) でアンテナ i+1 に割当
ここで、i=0, 2, 4, …, N_t
Else If(N_{st}=2)
サブブロック{E, F, G, H, A, B, C, D}を４個の連続したアンテナにインターリビング
ブロック[E, 0, 0, 0, A, 0, 0, 0]をブロック位置 floor(i/4) でアンテナｉに割当
ブロック[0, 0, G, 0, 0, 0, C, 0]をブロック位置 floor((i+1)/4) でアンテナ i+1 に割当
ブロック[0, F, 0, 0, 0, B, 0, 0]をブロック位置 floor((i+2)/4) でアンテナ i+2 に割当
ブロック[0, 0, 0, H, 0, 0, 0, D]をブロック位置 floor((i+3)/4) でアンテナ i+3 に割当
ここで、i=0, 4, 8, …, N_t
Else
サブブロック{E, F, G, H, A, B, C, D}を４個の連続したアンテナにインターリビング
ブロック[E, 0, 0, 0, A, 0, 0, 0]をブロック位置 floor(i/8) でアンテナｉに割当
ブロック[0, F, 0, 0, 0, 0, 0, 0]をブロック位置 floor((i+1)/8) でアンテナ i+1 に割当
ブロック[0, 0, G, 0, 0, 0, 0, 0]をブロック位置 floor((i+2)/8) でアンテナ i+2 に割当
ブロック[0, 0, 0, H, 0, 0, 0, 0]をブロック位置 floor((i+3)/8) でアンテナ i+3 に割当
ブロック[0, 0, 0, 0, A, 0, 0, 0]をブロック位置 floor((i+4)/8) でアンテナ i+4 に割当
ブロック[0, 0, 0, 0, 0, B, 0, 0]をブロック位置 floor((i+5)/8) でアンテナｉ+5 に割当
ブロック[0, 0, 0, 0, 0, 0, C, 0]をブロック位置 floor((i+6)/8) でアンテナ i+6 に割当
ブロック[0, 0, 0, 0, 0, 0, 0, D]をブロック位置 floor((i+7)/8) でアンテナ i+7 に割当
ここで、ｉ=0, 8, …, N_t

それぞれのフレームで伝送される構造は、送信アンテナ内でローテーション（ｒｏｔａｔｉｏｎ）されることができる。例えば、４個のアンテナを有する５１２－ＦＦＴシステムを考慮すると、ｆ番目のフレームで、第１アンテナを通じて［Ａ，０，０，０，Ｅ，０，０，０］が伝送され、第４アンテナを通じて［０，０，０，Ｄ，０，０，０，Ｈ］が伝送されることができる。その後、（ｆ＋１）番目のフレームで、第１アンテナを通じて［０，０，０，Ｄ，０，０，０，Ｈ］が伝送され、第４アンテナを通じて［Ａ，０，０，０，Ｅ，０，０，０］が伝送されることができる。
【０１６３】
既に公知のＢＰＳＫタイプＳＡ－プリアンブル
表１０は、８０２．１６ｍシステムで既に公知のＳＡ－プリアンブルを表すものである。表１０は、セグメント０に対して定義された２５６個のＢＰＳＫタイプシーケンスを表す。セグメント１及び２に対するシーケンスは、ＩＥＥＥ　８０２．１６ｍ－０９／００１０ｒ２、Ｔａｂｌｅ　６５８及び６５９を参照することができる。各サブブロックでＬＳＢ　１８ビットが２進シーケンスを表すのに使用される。２進シーケンス｛０，１｝は、実数値である｛＋１，－１｝としてそれぞれマッピングされる。
【０１６４】

【化４２】
【表１０】

Table 657—SA Preamble for *n* = 0 (Segment 0)

Idx\blk	A	B	C	D	E	F	G	H
0	2A1FA	3DE76	2CCA0	15722	2A509	0E904	0C5D5	10774
1	23836	378C2	3BFDA	1A401	27FBD	1FA0E	02DA2	03949
2	211B7	2855B	25BCD	17F09	32910	090FB	07C8C	0CC20
3	3836C	22AD2	349DB	183CA	3B2CA	09CE3	12C6C	12282
4	26F2D	3DFF6	315B1	1234E	2A0AF	1BEAD	0CE1A	03B36
5	3D1C3	23AFF	22B8B	1A9DE	3E5A3	08235	1B7AF	136AD
6	30709	2FA42	31CBD	0F424	3E570	1D9A8	008AA	0F9D3
7	38E39	33279	2FF20	08825	3EBCB	1DCCD	15D61	0DECF
8	21779	264CB	3230D	0AE06	35140	1CA03	0E570	059BE
9	270A8	2ADE1	3B6B7	1A629	29B35	0C99D	0AC04	03C08
10	30F40	3363F	361F3	00A13	36A99	1CC91	0F8CB	1EDD2
11	28A18	2F6B4	20AE4	0BA1C	25EA6	063B1	1C5F4	1B85B
12	26821	3A5B3	3EE12	08B45	3C594	016FD	02A94	054F7
13	3AC52	33B19	3E9C6	1609E	2EB43	065DC	08E91	0B952
14	32B67	298C0	20ED5	1A699	343F1	1D965	17927	07EF0
15	3AC4D	35BBC	29713	06420	28132	0B1D1	16A5B	176B1
16	28B79	22EA0	341E6	088EF	23052	1944A	1452F	0176D
17	3F8D6	20E09	3791E	1762C	3E8DA	13B94	0D4DB	15807
18	2080F	2E4D0	291F6	153B4	368A2	1AD5C	161AD	06C1E
19	27DC1	21FEA	2B540	1F1BF	3C773	05585	11644	1A59A
20	34CAB	2FE84	3E702	02C06	3AEEC	0F583	0CD57	04AD1
21	24991	3CF91	2AEE1	0D6EB	32F0D	07E07	1BB88	0D321
22	30822	398DC	2F478	04B4D	3361B	156BE	0D5AC	11E4F
23	3C355	36EEE	35068	085B0	2FCBB	0855E	1466C	050CB
24	3ECC3	2A52B	3DFCC	03ADF	2DF1D	05C43	05A8A	19D9F
25	2FF61	2B725	37F3E	14092	3E129	16F47	0E8CC	1E8B8
26	235C9	275AC	22420	175DB	2118A	06177	0FB7A	00DF4
27	299F2	3D5DF	34668	12631	20E22	1BC59	049E8	1209C
28	2F3F4	34251	36429	0B0CF	2CCE6	109F4	0BA71	1D846
29	32816	25786	259F6	0CD01	3BA6A	1FC99	1DB12	1FED3

【０１６５】

【化４３】

30	3DF50	3EE78	2B708	19594	371DB	03C88	0794A	07B3C
31	3D053	3DF2C	273CC	165F6	2C436	09ED4	0C879	13571
32	3960E	26F45	33FBE	068B6	3C521	106C6	09C50	11A56
33	2B95B	385EE	3B804	03545	29D2E	01B2E	02F70	1C65A
34	3CC0F	201B2	28467	1D38A	258A4	0C37A	0F145	04C70
35	383EC	3A316	24A63	190FA	3AE63	0918B	1FE42	1DDD7
36	2C261	228F1	28B79	0D393	2DB97	1B131	105E9	1438A
37	2497F	292F3	2C371	12C8E	20A1D	14110	1A04F	0B028
38	372E6	304B6	2F16A	188E6	3688E	1D23F	0490A	1041F
39	34FFB	38DCD	25577	19DEF	251E4	00C71	01E27	15622
40	3D6FA	305DF	2AC73	1C8D6	3E5CA	00717	0851C	109B2
41	362C1	2723E	27046	134A2	3FCC3	0D635	0394C	02EE9
42	348E8	3972D	3D001	1315A	35EAE	1702C	11E63	0F600
43	2C7BB	2F28F	2015D	09325	24EE9	1F67B	1F377	1611E
44	2B3BE	27DA5	36FDF	0DD50	39C46	00D4E	1E49C	067C4
45	2614D	340BC	2B4F8	16369	31213	13F3F	0A130	1ECA1
46	26417	21306	33D64	130EF	39BC4	1751D	08580	13160
47	3F902	2A37D	361C8	19A54	3DB69	0C335	1171F	0F022
48	3AB24	3D551	3C977	1360A	3F0BC	021CF	14382	02E59
49	35E1E	26090	35738	158AF	3D8C2	1FAD3	01313	0868B
50	3AC9F	315BF	263B8	1C684	385D9	17DB0	0FDDD	1D8FF
51	2F482	3AC19	34498	0E65B	3D719	14DE7	17762	14F4D
52	2E248	348C5	35A9A	0D76F	3708E	1346E	1F653	1F281
53	2CFA2	28F3F	3A58F	15E30	3B0E7	1F67E	0187C	112E8
54	3DB3B	3D41B	3AC0A	0C7C3	2E71F	1946D	1C64B	06E3C
55	2C726	36DE4	252BF	1061D	25194	0FB2B	09B51	16744
56	229F2	32990	358C3	1BB30	2F008	0D0A2	051D3	17530
57	235C2	2EC63	2C3F8	16217	2183A	14406	0B8C8	10E19
58	25552	341AF	20810	073A1	2E1FB	1D58C	0F35C	0320E
59	39B09	209E8	35261	1D675	3A0DE	0A8A1	1EFF9	01F98
60	20A28	3792C	3F334	045D2	3D786	1A95C	08CB0	18DA1
61	29FE5	3E383	22DDB	14256	37B29	00FB1	10420	018A1
62	3F05B	30317	24779	1BB7B	269BC	0C785	04A86	118AA

【０１６６】

【化４４】

63	3739A	373CC	2C605	138A5	22112	00ABC	134D5	0FABE
64	339EC	3DA7E	2256C	10CFF	2593D	0DE36	032EC	1E199
65	3B3AD	264C2	3BDE5	11FDE	38AA1	1D1EF	1821E	0EE3E
66	3D528	38958	23331	0E8B9	26FCE	127B8	0DA80	1DCF8
67	3DA17	2AB6D	26ECE	0401A	3FBD8	17692	1E7F2	05FF2
68	21ED1	2F966	316F9	071F2	3ACF4	025A9	047E4	01DDC
69	2904C	3C712	2C41E	06801	2F9F2	076BA	112C6	09E1C
70	2726A	2F4B0	25E3D	15DE6	308B1	0D7FB	1196C	0BD53
71	289FD	3495C	2C772	0D1C6	2D855	1BA59	01297	00B23
72	2E936	37553	31EE9	1E026	27D7F	134DE	146D7	1FBB6
73	37A24	36101	34473	07695	2D6C2	1C05F	06FFB	1443E
74	3D1AF	29853	36B2C	0C23D	2B5BF	0647F	12084	09C1D
75	2964F	30824	236A0	11F14	3EF38	0342E	1F876	16A2F
76	351F8	32CA8	33583	141DC	26533	06DA9	0BD59	000BA
77	22160	2FDEA	33446	17661	23FA3	0D7FE	16C48	052E6
78	36995	36A68	336BB	0CE56	3FE11	12FFA	0BB3F	1B8E3
79	318E2	3E532	2FDA4	09CAE	3C3EF	0B3A7	0E451	0CA29
80	207EB	36723	2F1F5	0CCC9	3984A	0C153	1D629	1745B
81	3FE13	2CF97	2CA31	1B457	2BD86	06B5D	04999	066EC
82	3F9A3	22F77	3AB11	057AD	3E5EF	13D13	1F378	03B3F
83	2510E	248A3	341C6	06A43	27BC8	0842E	0C4A2	1413C
84	33B40	3EE48	28FF9	11ADD	3D7BC	0DD6F	10961	15406
85	3459E	3FC42	38114	166CA	34C25	01779	107E5	008E9
86	36C4F	309D7	390A8	18A58	24FD3	047F0	00AAD	132EF
87	39717	25556	28121	1266C	3BCB4	0C94B	16BD4	17B46
88	39AE3	37836	3D134	0E4C2	2FF8F	15803	1B9B2	0E48E
89	20F58	30F56	37826	0DBE9	25172	01A01	09AF7	0CF5D
90	364B3	2B0CA	2BE32	1AAE4	29D7D	05D93	1B9D3	021FD
91	35084	3E213	32EDB	0F527	20813	09A6A	1878A	15683
92	379C8	288ED	36C85	18C8D	31498	1C7B3	1E2E4	06ADF
93	22008	2CA3B	2B613	1D1E8	23142	1D141	1F1E3	1C8D1
94	20DFD	36D64	337D3	15C09	29B5A	1C75C	1FB06	0E75B
95	31671	231B5	26127	0A0E4	35797	00D1A	12AB4	187B8

【０１６７】

【化４５】

96	3EBB7	23D69	3D1F2	0EEFD	3AD47	1CC65	1C95B	03C78
97	25945	34B15	33E30	1127A	3B938	06A62	02D0D	1CB49
98	366BE	208F6	2DE7E	0713F	32D7A	1A0EC	06639	05F7F
99	31FF8	3A9D6	39DB2	1A1D9	3880C	011FE	1BE69	1F792
100	22535	3A2E2	298F0	0FE41	3E139	05858	101CA	1BC4D
101	3DDA5	23D87	32161	12156	2CA14	1F4E9	003D1	134CD
102	23F0D	231E8	316AD	147BF	21671	0AB19	141D3	130BA
103	3546F	251B4	33661	1B440	3827E	13FE7	0EAA5	1BCD6
104	39B3E	33A87	300B5	09DC0	2AC29	051E6	06706	179AA
105	372F2	3441D	34450	19F2C	22FF3	10C03	1A97E	16089
106	31287	394BD	329C7	0678B	2DE2E	0A8AF	1FD93	194E2
107	2AEC7	23388	293E7	0798F	27C06	0435B	1E169	11A0A
108	226E7	32E65	207B2	1DE2E	26B3D	178F7	15E56	16907
109	32A75	23B1C	35792	0FF8F	333D4	13399	0CD11	11C0D
110	21E53	3BF69	217F9	1E4CC	2FD44	0D3B4	08C04	17CFD
111	364A7	249A0	3273F	0B996	2FEBC	1ACEF	01EAB	0EDF3
112	34831	340E1	3C372	08432	253F5	1993C	0CA57	15BA3
113	3A7B8	2CFE0	31B37	0532D	2BD66	0B638	10C4F	02BA6
114	2CC36	33D15	354D3	0DCB9	34160	0E6A4	0A530	15AB7
115	36CD9	2B6B2	308A5	10C14	37DA2	14091	16635	09FC0
116	26390	3C089	20E90	198A0	3CF5A	0DA14	0B79E	00A81
117	35B16	2F4ED	329B7	0BABD	24957	071F8	1720B	00A51
118	21AEA	3CB09	3F850	1143F	26F6B	0B730	0A483	1C7B3
119	33300	2CDF0	23BE0	17190	33840	03912	1E470	07506
120	2CECA	2B8EE	227DA	1F9B9	3BE06	0F0C1	085D7	088DF
121	336A9	26C46	2A381	05AC3	3B3EF	1635F	02603	09A59
122	372BF	25ABE	3E1A1	02EBE	2797C	13647	14F10	056E9
123	2507B	269DD	393C9	14BC2	276FD	082A9	1E301	02204
124	2DAD4	233C2	24AE7	1A63E	3A4CD	19D27	00F38	1E632
125	3D94C	341EB	33B63	1E63F	20D60	0AA11	17730	040EC
126	314B1	21EEE	3A722	0D99D	2ADB6	1C749	0C11E	0300F
127	306CB	2D856	2B3E9	18998	3DCA7	00440	032D4	0AB14
128	2176F	2526A	2B8B8	03B7A	27F98	0C00A	15BC6	10BC4

【０１６８】

【化４６】

129	3502C	3381D	30162	0A91C	3723C	0BA48	13991	10007
130	205A9	20E77	236F0	1208E	333DB	1FD1D	0F663	1A2CD
131	29EFE	3165B	391FC	18A82	24FA5	13B49	0EA6A	1E7C5
132	3BC8F	35058	2B040	03175	21D63	080FD	10564	1943B
133	33856	31A6D	37FA5	10D6A	2778B	13BA8	17FCD	07D78
134	2462C	3126A	3DE29	0EFCE	2CE17	1F670	00A16	09992
135	31358	3A006	3D6C9	09C3F	2E42D	0757F	07DE5	13F2A
136	26FDC	25BF0	22AC3	0D92D	2CB72	17AF7	1761B	13F44
137	39282	3E781	2807B	055FE	316E0	16070	125E6	1595E
138	237D2	2FB31	3DFD9	03B7C	28F55	09601	09A26	1210C
139	3A13B	330D3	2C606	033B0	293B9	1D684	173DD	18858
140	27825	3A0FF	288D0	16B7E	31A53	1358C	03259	07CA5
141	246FE	35C69	32A82	14D6A	3CAFC	03A11	19D90	037DC
142	37170	2C096	22EB9	088D9	3F0AC	116D0	0AA84	07AAC
143	31081	30C8F	38264	0AF24	24325	15FE1	026C7	04115
144	234A3	28DB6	3A4CD	0545C	35272	19CBD	07F1F	009B7
145	21F32	3677D	35CFB	1D63F	293B0	1244F	00CDF	0D3CB
146	30318	2EDED	2F09A	15C54	329CC	0B24E	0D93A	0BC81
147	201CB	2DBD1	3E4A5	0E7A3	2C50A	0A4BC	15412	182CC
148	26E83	3E68F	3D675	031A9	2EDD8	1AA4F	02443	16BD9
149	38C83	3892F	3E237	10FC3	26F2E	1FADD	19F56	191B2
150	2181D	26EFC	240B6	1224B	3BD01	0AB64	080DA	1BEAE
151	39273	26387	3BF09	1AF9D	37D3D	1A42A	09DE7	05D2C
152	3ECE9	380EB	2DD42	0F762	3D03E	1A53C	0687D	002A2
153	2ABB7	2FC33	234C2	1E30C	2DE4E	0DF46	1B022	0F06E
154	33D0E	2861C	2F481	0D8E2	3B345	18AFF	142B3	13ECD
155	2A691	39F50	3907C	18306	2999E	0826F	0F5C2	1C1E8
156	3F10D	2E86C	35EAF	0C23D	30BBF	1C939	142A2	1D1AE
157	30888	334D8	2F54E	095C0	22591	0A2A9	03575	07E27
158	2C05B	3A3A2	2B9E1	043FD	26767	0B509	152FC	05B3A
159	3F536	363C2	39C31	0A348	3EC9C	074E0	1E6C9	0A359
160	34212	2B602	25538	1D949	3110B	09D01	17649	030E5
161	27DA4	25283	33CB0	00F26	2F77A	0428B	19C1F	03A2B

【０１６９】

【化４７】

162	29516	294A8	34D82	03B87	27025	03C98	13676	043DD
163	212A3	2BEB5	3A929	0EEB0	3C43E	18D49	013EE	07B2A
164	327A2	265B8	3E069	0615E	23B65	085AA	077FC	18161
165	26BC6	2D590	3213C	16691	20E7E	13460	1E439	079FB
166	353C0	26830	305A3	057BC	394DA	192E4	0F382	0867E
167	293AB	20EF0	22707	0816D	216A4	07B67	09B67	01B88
168	29915	2DEB9	3CE98	14D96	26F9B	15D4A	00853	1DE0C
169	36E40	3C7E1	3DE6B	0D335	39671	06EBA	18B85	07A81
170	36DBA	218AC	26D28	1BC51	37AF3	1635F	1B82C	0061A
171	33C22	3F96A	33645	05F3B	2AF82	16800	1630A	10F03
172	3EEEF	318D9	276E1	03FCD	34D35	05272	1B329	1D755
173	3D442	37142	3B3DC	1C93E	32C36	0DA72	05EE5	1D8BB
174	34B1B	2A7A5	2AA15	0CB44	3D239	08C8D	130BA	0BF9A
175	3E04B	3FF31	2B8B6	14832	2D5BA	01588	1F533	1FCF6
176	35613	2E44A	36AE7	186C8	2450D	00BAA	05F60	03973
177	2D44C	3C74B	21D8B	08900	21DB9	129AB	1C563	100D6
178	31176	2D23F	27D5C	11F23	23B1C	0803B	18D88	0EB94
179	3A4F7	3DC0C	3D797	0E67A	3281F	09BC7	03BF5	0F8B6
180	21F13	2DB72	2B9AD	10C4E	39523	1F841	07D9A	04F1B
181	26639	3613F	296F1	0B3F3	344F5	18059	175ED	0E5DE
182	3E770	2B61B	211C1	1AB8C	2BC76	1449F	09942	0F505
183	3548A	39519	3BC29	059E9	2AEDE	12581	0B2D0	0DC32
184	3177E	23D07	2440D	17B42	200DA	0C89E	16386	0B4D2
185	201A7	2797D	2A402	18C40	39516	042F6	1C339	0287C
186	37ED0	20BC2	20E2B	137F4	21262	19E9F	0A112	0C910
187	24EBC	2B01A	39C23	0A029	26819	02519	1694F	088A8
188	2EAED	3AFD0	364CB	1518B	2B3D2	1CA75	14337	1B365
189	2808C	3BAFC	2CDC2	0BFE2	20C06	193A3	1233B	14A7A
190	36EF7	37D4A	28F07	18BB0	2862F	09A95	0D154	1E3E6
191	33D1A	2C6B7	341BB	0CF28	2F438	154C3	0A2C7	15A5B
192	3F426	30FD5	2C7CE	07C50	2D1A0	06569	04B31	05FD0
193	303D5	27A8A	356D3	0FEF6	363EA	08562	0ED7A	175B4
194	3EC32	398EC	2CC89	0C404	3907C	1B759	1A587	03175

【０１７０】

【化４８】

195	39F93	30E4C	35A26	07AF9	3797B	0EB5E	1AFF5	1A672
196	2BAD0	2EEA0	21BBA	1B7CA	32264	0F0B9	131FA	0E97E
197	38127	31582	36BBE	1FE4F	25DF2	07EA9	0565A	1698D
198	3DC73	25F38	33B0F	04B20	3B4BE	0F73D	1D9DB	1029C
199	33FB6	2F281	3EB2E	0D90A	37AB9	1579A	1994A	1EFC4
200	3C0F6	3566A	3DFD7	14834	22577	04383	034D3	1D63E
201	32C8E	39FE9	25309	0E783	22ED6	14413	182D0	1D94D
202	36BA4	278F4	3E3FB	049F4	34B51	10EB3	0AF98	1A3BE
203	23E59	3AC99	221F4	0BC4F	31DD7	07190	01735	0CF52
204	227C2	2BED6	30C21	1CC8D	317EF	16B4C	1629F	16DC8
205	300C3	28EAF	2A68F	0E941	2C3DD	163A5	09BD6	05CCA
206	21159	3D839	2365D	0856C	20C00	1AFEC	0674B	0AF29
207	2DF8E	36078	3C37B	1F5B8	32D1A	1D705	02B88	13BF3
208	3A2EB	3CA5E	277CB	19169	37018	1221E	17283	06BFE
209	3663E	38132	3DDC6	0620F	331D3	1AD84	0B417	0A02A
210	3883A	3448E	221A9	0FB88	3D9BD	0B119	1F0DD	18264
211	296BE	28C22	309D2	0E577	384E5	0F074	04077	06E5D
212	39B37	36C83	3E5D5	10C02	3E880	18FE2	03D7A	1E433
213	392BC	282EA	237CF	08F89	35EBE	04733	0F765	0A2F5
214	2D434	3254C	2E816	1F529	20AD8	111DD	0B23C	0CEF0
215	27A5B	3630B	2FAD9	1DB40	2B485	1D5F4	0D95E	0CFEC
216	30B51	39851	2A1E3	0A6DB	28299	18837	06E57	10018
217	31FBC	2E171	3DD23	18189	29A2A	1F5BE	1027B	05C6B
218	3B7EE	3B4AA	3A6D1	1063A	25E5F	17B00	01626	0FA77
219	2EB6B	27CA2	2A739	108DF	2BC9F	0DC9D	18257	0E2C3
220	305AC	221B1	37F7F	0777C	20BE4	12BB5	12E57	0794D
221	32ED1	2E012	3C456	08DCC	28693	17865	11892	1F6D4
222	33A3E	3EF38	29619	12828	2F785	0D1D9	02A7C	19C4B
223	277CA	2BAC3	20F0B	0E3CF	3E30B	17CF2	0C66F	0670D
224	38EB9	2027C	3D0AF	19FAD	2D3DE	0FEE5	1C843	08902
225	21C7F	2029B	3BED4	1E1DE	36F6C	0DD85	165A7	13637
226	2A986	3EEAF	2E182	164AE	26B0E	0FE0F	1A485	0EB33
227	38177	2A44F	2B222	0CD6D	32C15	06B95	14D30	00E7A

本発明の一実施例によって提案されたＱＰＳＫタイプＳＡ－プリアンブル

表１１～１３はそれぞれ、本発明の一実施例によって生成された１２８個の母シーケンスを例示する。母シーケンスは、インデックスｑにより示され、１６進数フォーマットで表示された。表１１～１３のシーケンスはそれぞれ、セグメント０～２に対応することが

できる。表１１～１３で、ｂｌｋは、それぞれのシーケンスを構成するサブブロックを表す（Ａ、Ｂ、Ｃ、Ｄ、Ｅ、Ｆ、Ｇ、Ｈ）。

【０１７１】

変調シーケンスは、１６進数シーケンスである$X_i^{(q)}$（Ｘ＝Ａ、Ｂ、Ｃ、Ｄ、Ｅ、Ｆ、Ｇ、Ｈ）を、２個のＱＰＳＫシンボルである$v_{2i}^{(q)}$及び$v_{2i+1}^{(q)}$に変換することによって得られる。ここで、ｉは、０乃至８の整数を表し、ｑは、０乃至１２７の整数を表す。数学式２４は、$X_i^{(q)}$を２つのＱＰＳＫシンボルに変換する例を表す。

【０１７２】

【化４９】

【数２４】

$$v_{2i}^{(q)} = \exp\left(j\frac{\pi}{2}\left(2\cdot b_{i,0}^{(q)} + b_{i,1}^{(q)}\right)\right)$$

$$v_{2i+1}^{(q)} = \exp\left(j\frac{\pi}{2}\left(2\cdot b_{i,2}^{(q)} + b_{i,3}^{(q)}\right)\right)$$

ここで、

【０１７３】

【化５０】

$$X_i^{(q)} = 2^3\cdot b_{i,0}^{(q)} + 2^2\cdot b_{i,1}^{(q)} + 2^1\cdot b_{i,2}^{(q)} + 2^0\cdot b_{i,3}^{(q)}$$

である。上記式により、２進数００、０１、１０及び１１はそれぞれ、１、ｊ、－１及び－ｊに変換される。ただし、これは一例に過ぎず、$X_i^{(q)}$は、類似の他の式を用いてＱＰＳＫシンボルに変換されることができる。

【０１７４】

例えば、ｑ＝０の場合、サブブロックＡのシーケンスは、３１４Ｃ８６４８Ｆであり、このシーケンスは、［＋１－ｊ＋１＋ｊ＋ｊ＋１－ｊ＋１－１＋１＋ｊ－１＋ｊ＋１－１＋１－ｊ－ｊ］のＱＰＳＫ信号に変調される。

【０１７５】

一方、それぞれの表に例示された１２８個のシーケンスは、複素共役演算を用いて２倍に拡張されることができる。すなわち、複素共役演算によってさらに１２８個のシーケンスを生成することができ、生成されたシーケンスには、１２８乃至２５５のインデックスを与えることができる。数学式２５は、複素共役演算によって母シーケンスから拡張されたシーケンスを表す。

【０１７６】

【化５１】

【数２５】

$$v_k^{(q)} = \left(v_k^{(q-128)}\right)^* \quad for\ 128 \le q < 255$$

ここで、ｋは、０乃至N_{SAP}－１の整数を表し、N_{SAP}は、ＳＡ－プリアンブルの長さを表し、複素共役演算（・）*は、ａ＋ｊｂの複素信号をａ－ｊｂの複素信号に変更し、ａ－ｊｂの複素信号をａ＋ｊｂの複素信号に変更する。

【０１７７】

また、それぞれの表に例示された１２８個のシーケンスは、逆演算を用いて２倍に拡張することができる。すなわち、逆演算によって１２８個のさらなるシーケンスを生成する

ことができ、生成されたシーケンスには、１２８乃至２５５のインデックスを与えることができる。複素共役演算及び逆演算が共に使用される場合、３８４個のさらなるシーケンスを生成することができ、生成されたシーケンスには１２８乃至５１１のインデックスを与えることができる。

【０１７８】

【化５２】

【表１１】

n=0: (Segment 0)

q＼blk	A	B	C	D	E	F	G	H
0	314C8648F	18BC23543	06361E654	27C552A2D	3A7C69A77	011B29374	277D31A46	14B032757
1	281E84559	1A0CDDF7E	2473A5D5B	2C6439AB8	1CA9304C1	0AC3BECD0	34122C7F5	25362F596
2	00538AC77	38F9CBBC6	04DBCCB40	33CDC6E42	181114BE4	0766079FA	2DD2F5450	13E0508B2
3	3BE4056D1	2C7953467	0E5F0DE66	03C9B2E7D	1857FD2E3	15A276D4F	210F282AF	27CE61310
4	3DBAAE31E	254AE8A85	168B63A64	05FDF74FB	3948B6856	33656C528	1799C9BA1	004E0B673
5	177CE8FBC	21CEE7F09	397CD6551	01D4A1A10	1730F9049	067D89EA9	3AC141077	3D7AD6888
6	3B78215A1	17F921D66	385006FDC	011432C9D	24ED16EA6	0A54922F1	02067E65D	0FEC2128D
7	01FF4E172	2A704C742	3A58705E1	3F3F66CD2	07CA4C462	1854C8AA3	03F576092	06A989824
8	1A5B7278E	1630D0D82	3001EF613	34CCF51A1	2120C250A	06893FA2D	156073692	07178CFA7
9	032E31906	2DD318EAA	1DE55B14D	0EF4B6FB3	27DED0610	1BC8440D3	0ED86BF8D	14FAFDE2C
10	174725FFD	0D2FB1732	124470F56	292D9912B	1571408A7	227197AE9	2430BC576	0B67304E0
11	1F1DCD669	293DD1701	0C34F1B84	28496EE51	3DC41327F	071C06523	28E1657B6	02588EFDA
12	22E4AA041	3810362F1	1955F1DE7	0D6D2F8BE	11F31358E	3EB27BB12	1F4E60111	119BDA927
13	14300B522	152E6D482	168DF6E43	0740B7AE0	14FE7DCDD	0FA092626	23697615A	1F1331EB8
14	12C65ED00	317643CD7	2C637A415	15E3E5185	0F5CBB9E0	23290B156	26F37EFE8	1AA174793
15	1DD6453F0	032C4BD39	082659BD5	320C5E691	224E555B2	3A9615A8D	1BED03424	28E6A9CED
16	068AE7EE9	16F724910	3803DD9BD	2A31A2FFB	010BF5237	33CB067E6	0280C28B7	184417B94
17	1D651280A	2C7BCF443	17324EFB0	236E5C411	381215183	2F076E64E	0A6F2EE74	3DA4196B7
18	27341650F	1B520099C	09AC91114	000A5F48B	30AB4B9B6	2D0DB0DE6	1CF57978A	2D424406B
19	3A01E2FB2	0DF5B257B	019D1C63A	0EA7DCDDB	242D96605	2DA675F15	1DEC54193	3B6341C16
20	2DDFAEB05	21D0A1700	0FA09BB78	17DA7F8BB	06E883B3F	02E6B929B	2C1C413B4	030E46DD1
21	1B625E3F9	0F708F756	00CD97B18	3F036B4DF	2CF08C3E5	213A5A681	14A298D91	3D2ED63BC
22	2DA48D5A9	0C085BD17	01903428A	3DF2A30D9	29061309A	16F7DC40E	2AF88A583	27C1DA5E9
23	30DBAC784	20C3B4C56	0F1538CB7	0DDE7E1BE	2C312903B	0FF21E6C2	032C15DE3	26C9A6BA4
24	3188E8100	385FEFE2D	3967B56C7	3F62D246B	1826A755E	2CDA895EA	2FAB77825	1B525FF88
25	339467175	2DE49506B	27B7282A9	0254470A3	3374310AF	2DF20FD64	3848A6806	11C183E49
26	02AFA38DC	0F2AFDDF4	1A05650E2	061439F88	11C275BE0	30C41DEC9	119E070E9	1E76542C1
27	1B364E155	086FF808C	29F1BA9DC	0A830C788	2E70D0B3A	34EA776B1	3D13615C0	15FC708D4
28	38ECFC198	07034E9B3	2340F86B3	07562464C	22823E455	1F68D29E9	257BB66C6	1083992F1
29	375C4F5AB	3C0F5A212	0EA21BC30	13E8A26F2	17C039773	283AD6662	1F63AB833	2DE933CAF
30	2B773E3C5	3849BBE6C	1CAD2E5AB	0405FA1DE	1B27B4269	3B3BF258F	300E77286	39599C4B1
31	1E878F0BE	0AE5267EC	376F42154	1CD517CC2	302781C47	123FEC7E0	16664D3D8	24B871A55
32	20E200C0A	1C94D2FF1	213F8F01B	369A536E0	161588399	29389C7FC	259855CAC	06025DCE2
33	28D2E001C	3C51C3727	106F37D0E	1FB0EFDD1	2CD9D33C3	1EA190527	0BB5A6F9E	074867D50
34	08EFC44B5	1B484EABE	05FEB2DE2	211AF91B5	0CF52B1E1	002B5C978	11D6E5138	0D402BDD2
35	337C618F4	0A4C31DDA	1D93003D6	006D7D088	348043A6D	325E05758	2C53EEEB8	15ED8E614
36	38375C2FF	18C78FD02	30C11EF53	3916581DD	1B75263FF	2D8DFD6A9	00C4E8482	1D201F96A
37	2E10B0D05	2EF203893	2491D95F1	34D995B51	32214BDF5	3E45674B1	3E74AC66E	1B813A999
38	153E7269D	2391C7BFC	1ADD3A595	0EFD3086E	00AD88A8E	0D8B007CA	0F22C5F9D	010E86385
39	3B58C7BFF	0BA76496E	3AD0B7BBF	1D6D10FB3	3A607BEFC	28F122A95	057950727	179449CB7
40	37AC5194A	390BD9C00	3A48C0461	12FBCE4C6	2A8DD4171	10E9F1E34	251F5D167	1124E96B1
41	0FEF20C67	31EC9EA3F	275B31143	22DA4F02B	352C0F648	21FF5B9F3	3E5BC2372	0A1AE08FE
42	080EDC49B	17AD7F7BA	390775B3C	1380B00DA	2477FF17C	2E6D9E5AF	05381F2DD	26143CC17
43	2DB485795	1B3252799	39AD0211C	3AAE31B76	30532A187	1C8EA5F5A	2EA6E4D6B	30570A2E4

【０１７９】

【化５３】

44	11BB4F78A	12CCE1428	2C67EEF99	20E3F841A	20CFCD5F2	1618A7B94	111FF6092	2ED034E06
45	1C66335E5	0CA9B9BD2	3213028AE	15542DD28	290F7DAE2	2137F02D5	17DF9445D	24F162FFB
46	360FB966B	17D878955	1C1D67093	065B84F3A	1A1D955E3	24C73C11E	270EA9EB2	114DCA02C
47	002CE84DD	0616DD253	3EB188345	1FF852926	37E160F00	040DF51EC	1857A33BA	230FD8A0D
48	233C0A71F	22E428104	0325F8170	39566B188	32DA16A4A	039FDF1DC	27A3E946C	0D69F26D9
49	0583F9F73	378380CB6	059D8A960	3E3442C7F	026138ADB	25F370F1E	09D3EB2CC	2D37D50C0
50	08DF9CC66	2C2E7AA8F	3CB241ED2	03216B4D2	39736B451	25F6F113F	08FD2AC3C	1974574FD
51	3D1FF6041	2CE2AB97F	01A734F3B	1DCF9F3C5	268D595CA	1FBD2A8B8	0F1449F86	370C352FD
52	123218E40	3AA057589	20F73A16F	26E3BCA5F	3A7330DC6	12C659384	39D99FF1B	276DFC540
53	185AEDEA4	0418B3643	382F7700A	3FC35ED60	07BA2F838	1BC840C93	2469A41EC	0CE7B4CB0
54	2E194E2BF	3302A0B28	1836001EE	154A4738A	36A3BBD72	23CCD0EB1	044B3A13B	2B50C8057
55	0B76405D3	231AAA728	0EE05E9B6	0093A21F2	2065A01D0	1F2B810D4	1082F3A73	1DAFEA492
56	07AD23A3A	2091957F1	3B9D8CBF0	21E4160BE	1BFB25224	3D9085D16	03076DD39	1DBCF8D03
57	226D70EBF	3ED15246C	364130C46	22F6D4AA3	3FCC9A71B	3B9283111	0484F0E58	14574BD47
58	3F49B0987	305231FA6	0CF4F6788	3B9296AED	2346190C5	3365711F4	078900D4A	352686E95
59	1D62AC9A4	104EDD1F5	1B0E77300	1CED8E7F0	388E8002C	1FE6199F4	02239CB15	1FE5D49A2
60	21314C269	28600D12A	22E4F1BAA	044E211B1	0DECFE1B4	3E5B208CC	1CFC91293	21E7A906B
61	02C029E33	1BA88BE4D	3742AE82F	21EF0810F	17D23F465	240446FB5	17CCE51D9	2C0B0E252
62	16F9D2976	10185ECE6	2821673FD	02674271C	3A8A75B7C	226D4BF0F	2216004E5	0E8605674
63	06E4CB337	32A31755D	062BE7F99	1417A922D	2271C07E5	24D6111FA	3F2639C75	0CE2BB3A0
64	18D139446	2426B2EA8	352F18410	1133C535E	10CC1A28F	1A8B54749	22A54A6F4	2F1920F40
65	22443017D	2265A18F5	14E1DAE70	11AC6EA79	31A740502	3B14311E7	3AA31686D	26A3A961C
66	2018F4CA9	3A0129A26	39BDA332E	1941B7B49	03BBCE0D8	20E65BD62	2E4A6EE6C	3B095CCB3
67	0CC97E07D	11371E5FF	31DFF2F50	17D46E889	352B75BEA	1F1529893	21E6F4950	1BD034D98
68	275B00B72	125F0FE20	0FB6DE016	0C2E8C780	3026E5719	119910F5F	3B647515B	1D49FED6F
69	250616E04	0882F53BF	11518A028	3E9C4149D	09F72A7FB	0CC6F4F74	2838C3FD1	08E87689B
70	212957CC2	03DD3475B	044836A0B	2463B52C0	0342FB4B0	34AD95E9B	2936E2045	3B0592D99
71	2922BD856	22E06C30C	390070AED	09D6DC54F	3485FA515	064D60376	07E8288B3	3DD3141BF
72	29CB07995	007EE4B8B	16E787603	07C219E93	1031B93DD	23DEFF60B	30F1D7F67	0EFE02882
73	11F3A0A2F	38C598A57	3FE72D35B	1F655E0D1	0B3AC0D92	3430DDB1A	3BAADBF42	02D6124C0
74	05FC8085D	345A5C470	07DAAE1E9	0D7150B88	25D2A5B10	16F8E5021	3240EFC71	0F0F5922D
75	399F32F6E	2EEB17A8E	0D61665D0	2138EE96F	3F8119063	01B5048F7	27075153D	265DF8280
76	3962CC581	2337D2983	286FD7BBA	185126E0E	1F95AD927	0F7EBC374	1E3A4B6FF	20CA9B9BD
77	1C85C13AF	290C37167	1FDD26E8F	0C38736B8	0174DB972	0A921E3CC	097557C9D	09452C1E6
78	2D48D6C00	2D9BC8DFE	10FF1E128	25C96BA85	0FB071B8E	0F09B3C9C	1A3E11441	38EDDA03D
79	396B88B2F	0029F4BDB	30D098CAD	0D54D12CB	1D0823F55	2DC53B9AA	11BCF7438	33F6EC091
80	21E03CD65	1A2FE5B92	2851F8445	0251E386C	1468950D8	1A8B39748	001B42236	26CD82DA5
81	2CEA1E6BB	006C97E74	00C2B887D	23461AF95	0E9CB2BD2	0B0EA3022	1FB56A7A3	25A7FA625
82	208FC2A1F	381C5733A	03F11D7E3	07ED6A7B7	1FEC85E09	3D61E0440	356F4B1C3	3756E5042
83	2061E47F0	22EAA0AD3	24796BB65	03C59B4D8	32A75E105	22155381B	23E5F041C	155D2D7F9
84	381AFFB73	212B5E400	1F1FE108E	04BF2C90D	3C1A949D9	2854A9B45	001B09322	3A9372CC1
85	058B23433	0904C6684	158CADB9E	11BA4B978	1854368F4	1919ECEA7	147F1FD34	2E228AA3C
86	34857F3DB	2CB44F7BF	111A065D3	1BEAB392E	27F081ED8	3E67D1186	0F6265AC5	27716FAF9
87	38EBB8BF1	32ED6E78F	2B0BA4966	2188282AA	00D49B758	1765BA752	2B50AFDCC	068C82450
88	234F0B406	02FB239CD	15AD61139	2250A5A05	1CD8117E0	0D849163F	268C7A5A6	22A802020
89	2D0FE8D16	0C14E3771	07DE5320C	0640C2762	1CBD9FF4E	37A91986D	2024DA401	164D4A84C
90	3225B4D60	3013B75F2	2A77AE5C5	2C25377EE	03C8DF835	346E80FCB	116B79FA5	356D2B604

【０１８０】

【化５４】

91	0D55231FD	247907F31	0CFA0B049	36D069A95	10D4CDE71	1A32544D7	38336885F	173ECC08D
92	207420EAC	26FCFE182	3FE7B31C6	15B320E13	187AA34A8	1B52253BF	1FA16669D	3725A81A5
93	3C9C7404A	092B77FEB	3B9865B46	349456F61	39B7C6A66	3075EC990	01BE637DF	330897B17
94	1CA4C048D	2B4D50621	2BF917627	3EA2CC5E1	33EC0A1E3	05FE0F747	349553D72	396077301
95	04CEC1C82	1F828DD00	30122C790	1AD8A7895	1CE0912C0	298382F37	2D4D33F06	001364B36
96	37F8BB035	2F0897994	333F5F096	0F28AB363	20036829F	338017E2D	3A5A05D76	0CC02E5E0
97	02FD351E6	03E316288	2FCAEB4F8	1C5A80CE3	3D3AC3FDD	3E456746D	119A5381F	1581C894E
98	1623B3D0F	103224DB0	0FB936BC8	2EED7F082	26C91513A	2F12E4C31	290F3AEF2	392CBFF67
99	02F75DE8F	2E61A834D	02A692866	1F21044A3	2D7881A95	18651EE05	11FE3D308	39EED56DA
100	3A858659E	2F7A87BE0	135FD561D	27B3B651A	05E131CB9	0D5865123	2CD6991E5	3EE6DF705
101	3F3B247E1	32D02B245	16B98A593	1E4CCFF18	0C4A9D285	06D519FE2	023A336CD	1B20E999E
102	3A9E8B49B	239656AD1	3396D1C51	06F4DCF40	15D819D3F	2A3061144	20BD2A33E	2FFB139CD
103	38622F3AF	24BF9BB7F	1D2729010	15877B93A	00376B0E7	0FF064887	3505CFD9B	354C366B6
104	2A0AB7033	1AFA65DE1	1198D0AD6	38E80C86A	27693D541	3BB26F3D4	39154881C	0E7DD6B6B
105	1B0DE4333	27FE0F6D1	0F00B2888	0BDA322FF	2759B5A4F	0543A2D27	0C36DD1E5	04E9A262D
106	1C7E636BF	000E9C271	2B44F4F30	28255BF77	1CC4D69CE	03F4C57B2	3E926D59B	00AA39BDB
107	1FDE98AE0	0CD076B07	171124FB5	33F098288	1E0B3043E	39731D117	3E7ABC2C8	19CC50279
108	28EE855ED	2A704C371	03288F4B0	3C83E26C2	0A905148B	18C66BB94	1BCC32537	10D71AB44
109	26238A065	0FBD7BCDD	02507CF76	059F69484	3FE0D6F77	2466A50DB	3C07A75B2	2DC0F099E
110	3CDCD6CBE	1446783DA	1626C83F9	2FD4C4DF3	13A59A2D1	2C903D2A3	0FD37F076	0B1039EDD
111	043B07DD7	28D9C2155	2CCEF57A8	34254C1B7	09B933B2F	1FA410127	10BD5E9E6	010EC6389
112	345E8FCAC	226BD7EFA	27341A51C	23854F031	04C297212	044DED8E8	319B3BFB8	37DBBBF57
113	16FBEFA72	1B5EF9484	2DEE7A5BF	097695C12	08AEAD5E8	3DA7C1327	2B81F3E2D	31AFBED32
114	3484086B1	2DFA56B9E	226E8AFE5	285F45484	3E69AC8E1	1CB33645F	2DE53BC30	2F6ED567E
115	1117B5E7D	122A4D471	1AC936544	267010D71	10428CA47	24B72A000	2E27FE185	1E62C1403
116	0B3161E37	038C3DC98	100793647	1A95D8D36	399668787	06C0D4922	25F48AA58	2DFFF1789
117	04FEF7231	381910B63	298783078	30CE5EC1C	29F6F299D	3C34CA770	37BAAB139	3D2069B65
118	18F644052	2051880EC	23ADBF949	04237280A	18304E663	287364EFF	314698D78	149A21E51
119	39E14BBCB	1DBDA9EF4	3ECCAD8D3	1BA3EF99D	26D85CEBF	270547292	0FB3C7826	0131E73D6
120	2DD6F3F93	0FC282088	14A143DDD	0AB840813	0B973037C	29535C9AB	0DF8DA2AC	271CBC095
121	1C1D063F9	3F4EF6DCC	00128D932	145E31F97	0B21590D1	38F1602D8	3AC2EBB74	2320957C5
122	3383C846F	12128F29B	19985CE7D	2834CBBF2	1E1513B3D	364DB5800	33EE3F46C	01A865277
123	0129D260B	238A85BA0	2D81AA924	3917048B6	36F857692	1D2F813C3	0505FB48B	3DC438BC5
124	05E0F8BDC	3D978C1F1	266F83FCA	0E89D715A	01821DEA4	12D9AE517	22F8EAC2C	3C098DA58
125	1575D1CE9	26F291851	3A7BB6D2C	12CC21A3A	2975589B0	39CF607FF	388ABF183	3D3BAAB0B
126	101E5EC7A	0B75BCF3B	13ED25A86	35FC032B6	2F6209FF0	13C7B2041	1F2791466	3A759A6C2
127	1EF89091A	11A653D2C	223FC1F42	2F7B97B31	2CA4EE011	00F68767D	10FE34682	018339212

【０１８１】

【化５５】

【表１２】

n=1(Segment 1)：

q＼blk	A	B	C	D	E	F	G	H
0	20A601017	10D0A84DE	0A8C74995	07B9C4C42	23DB99BF9	12114A3F5	25341EDB0	362D37C00
1	1364F32EC	0C4648173	08C12DA0C	19BD8D33A	3F5F0DDA6	24F99C596	026976120	3B40418C7
2	1C6548078	0A0D98F3C	0AC496588	38CBF2572	22D7DA300	1CCEAF135	356CA0CCF	093983370
3	03A8E3621	2D2042AF5	2AB5CC93B	05A0B2E2E	0B603C09E	117AC5C94	2D9DEA5A0	0BDFF0D89
4	07C4F8A63	3E6F78118	32CCD25F2	1792A7B61	0A8659788	1F9708C04	086AF6E64	040B9CD78
5	2D7EE485A	2C3347A25	3B98E86AF	242706DC3	1CEF639AF	2E1B0D6A9	3E9F78BC1	0FB31275F
6	0307936D0	21CE15F03	392655B2D	17BE2DE53	3718F9AB8	01A986D24	077BDA4EB	1D670A3A6
7	05A10F7B7	31900ACE0	28DCA8010	2D927ABE5	370B33E05	31E57BCBE	030DC5FE1	093FDB77B
8	092C4FED1	268BF6E42	24576811F	09F2DAA7F	24EFFC8B1	21C205A90	1E7A58A84	048C453EB
9	29F162A99	1F739A8BF	09F684599	1BEC37264	38ED51986	286325300	344FC460A	3907B1161
10	0E4616304	0FABDCD08	0F6D6BE23	1B0E7FEDD	0047DE6C2	36742C0C6	2D7ABB967	10D5481DF
11	32DD51790	237D6ACFA	2F691197A	16724EA58	149143636	3810C6EE1	3A78B3FC6	1B1259333
12	1BB0FD4D3	235F10A55	1C7302A27	1148B18E5	04F25FBC8	2A0A8830C	3646DBE59	2F25F8C30
13	0FB38C45B	069DF29E9	00F93771B	3AA35746D	2CAF48FD0	0A42CDD55	19A23CE8F	26318A30F
14	365FBEDAC	27710945F	2AA367D61	05A484318	2563F27D9	2D37D5C00	287D18FBB	3ADB44805
15	3038BC77D	2A45D29EC	156173792	03EC7679E	07577E1A4	1B6A94A74	1D26E5A94	0FD878D5A
16	1F22158E4	3F02A1D37	2767EC03F	1C8CD535A	23DA2E5AB	2D5F25A59	0971AA889	3E78C1846
17	16521E709	12C2DB8FE	3A596C221	1562D5C27	1D9E1F39A	345B96872	301C7894E	2797F032D
18	2EC951A24	1ED768F3F	11217930A	39DB44855	36E41B3FC	0F6E48C44	36254C517	14493C673
19	3EA159E72	24ADE96FE	3458C73A6	30674E1FB	242109AF2	24DAF32B6	24B1EDFFE	291CB9D15
20	2AD0E6696	04F4077D9	1BB279A53	38957605B	379B7A6A0	0BAD35616	1285EAE51	37425C7FF
21	083637980	34F2ED66F	282846A88	19D5E40A6	21205942C	27AC551E9	0F3F4C262	0505FB522
22	3E7D64856	1DB0E599E	159120A4B	1FC788139	235C454FB	3CE5B67C8	339EADB32	0F9F7DDC1
23	3956371B8	1D67BE6E5	1EFCF7D53	041A5C363	2E281EB3F	00AF8A1ED	2DE24A56F	1332C0793
24	0818C47A9	1F945634B	1C5ED3403	1043B5BF4	149702D22	024CBB687	34B01FA8B	1E9F5992F
25	3A6618167	3A0007886	3EDB5756B	2F2FA6FCD	21A5252B8	396FFAD9D	05347B60C	2E0ECA200
26	0D45F89A1	3F9C2C26E	1CBCF809E	3CBE5FCD0	3D2DCF245	14F351A1E	224F5B3FF	2AA6ED34B
27	3BA85ADF8	282005732	3AD7C0223	2E73D1800	23DEA3F46	2275280F6	1586270F9	0CEF4287B
28	07DFE662E	314B74F2F	397BDDC4C	223A8071F	1F5BE3BB4	093BB1F33	0FCA2D129	21B3526A9
29	39FEADC12	0ECE1CD67	206228FAA	38FCCA606	0C5EEE08F	1C1BBDD4E	1459E42ED	11FD64ADF
30	2735FFB20	2AE9B244A	1A5AED974	38FCFD5CB	20310DB81	1C5FC3E24	19FB3BA17	3785BE865
31	24FF6B7EC	01C682673	19CB14113	2C8CD3C2A	066725853	02CD0A23B	279B54315	0CD571063
32	015E28584	30B497250	127E9B2E1	2C675E959	05F442DEE	394AEF6E2	079E5C840	12703D619
33	3CE4B1266	35270B10F	03549C4B3	3B3E6C375	1DBEF270E	0042C9737	049522EC6	24961653E
34	34176CD90	2B5E9EAE1	1C95E3C2B	1EF541D4D	26D1450E6	3B9D895AB	1B0C84349	104B6B428
35	07A813421	2B39EAADC	33553571C	0F8046CDF	2CF6A7F23	0AE3BE8C8	308BFF531	2DBC0F9E3
36	168276972	2CF41744F	3CF2512E0	0F8B68ABC	2E609F6AF	04E03AC8C	0F9B66F49	3AFE28736
37	03456021F	1982574F3	0BB2B3F49	15A4A1CDE	15487D58E	2907C9ABB	15C0D2D73	28D8CFEC3
38	3D3FD677C	33AF2628F	3D217FDCF	30027E85F	0A463F23B	2F2AE8324	1D1E945E0	2EB355D28
39	3BCAF9076	3A7D2FF70	3C541F38B	249BD8A94	287BC4833	141391EB7	05B6443D0	2FEACC5E7
40	275F118FA	3A96B346D	0C713CDE5	02F394A28	3EBB1D18D	1BE7A9FDD	223C53CA1	2BF040F77
41	1161DE4F5	0544F9DB7	230847E45	322AF4E17	26944A0B4	3299F1420	1C9405B8E	2DBABD4CE
42	33165C531	268FE9B9B	081A914B4	39100772B	27DBF03E9	3E3A18AB0	13F2D2B83	2CEEE5FF4
43	275F97006	0A578F2EF	16CEE7EC8	38A5B0084	00DC9A1F5	1B88CFA3D	0D8B0B8EF	29FC4CCF2

【０１８２】

【化５６】

44	04BBE4F2C	1546C3988	237105A43	339042B36	3A5DEBE2B	1BD09449D	38EFF588B	1CDD3A6C0
45	002E32D38	1E85D3125	3F51120D7	00420ED63	3384713AF	1D941BD34	2B39EA9CF	05B6D9E94
46	2B3100F7B	335EDB2E6	1AC8C8EE4	337FF7139	0672D7995	38A54856E	0124753F2	3A3560851
47	046207CE9	0FE1BC312	09BA5B289	39376EF2B	33F826C2C	2F6531496	3933B8616	23125B50F
48	3E5849C45	01EEDB390	141D9A024	2DE07E565	1813D12BB	36DB8D404	0E8A272AB	3A66B71AD
49	1A2A88A4C	3F0C9B4DB	266CFBDF9	163420CA5	281ABBE99	34771C295	3AC051848	3C53CB875
50	16F795184	3466F1FFA	1F433B456	1DDF13810	25F58CF69	1DD6CFE4E	10A236FDF	12AE697ED
51	1C8D17F4F	07C43B7D1	1C8DAD395	28F6C112E	3A336ADB3	0EB6889AB	2783A6A1F	2CDA40458
52	16044624E	252AA04B2	11484E85C	07F5024B7	286E3A67F	2EE6BACE4	277F1F864	22F3CF57D
53	2D1A3F4CF	0EEB6DEC1	30CD76F42	20403D1AC	3A72EF9D6	1DAAF2A39	03AB76CE0	0A2856267
54	0FA2A786B	38273EDF2	228A45016	0309DF52D	093BDAEDC	1B11E9300	1DA9C5324	03365EB1E
55	24DCFDC06	11CF909D6	2FF693F4C	366338F1F	22E641569	0ACA60D55	32D1B009E	035472E09
56	17F5D6662	062FCF913	35B211035	21ACE73FB	3B4148706	2D0CD106F	2CAB457A4	103E1E49B
57	21859E8DA	2F1E3B3D9	1F1014BE2	062A3DEB5	354C0C786	05A8982D4	35A758943	346EBA72A
58	00CB49E5F	211B1034A	3A5D2DAF1	21D3F3EB0	24B2D1150	1097C3685	2AA3671CE	0E5DC1308
59	24C8401BE	217B1F994	1FB9664A8	3D5057708	05A506088	1314842B9	3C8657064	14B1FA77F
60	2AD698E2E	3C129D1F6	2C744FF4E	1C1C052F8	18C38A9FE	252168A10	2EB68D098	3A001CBD2
61	2AF71324C	2BF41D408	0FC498E18	149A1A407	0FDC2C4A3	19D00C4A1	0F6B0DD29	268CF8E86
62	19F4D82A5	342C73FD5	0F5AEEDE7	21A2A8953	15ADB7A94	11DBE038D	0A5B6634A	0FA382B77
63	0A5985778	35AC3032D	35691C85D	2829D55EE	04A3FBD8C	2C85BFA8E	0F459B864	3E878F0BC
64	10C785EB0	054D4CE18	1BF657A8E	101DC64EF	0B4E3032A	24ECFD9C2	00C98BE0A	2A1F82444
65	300E8B09C	31A079FB3	0C41DEC5F	216CCFE4D	226C5A693	3C31A41DD	3A019974C	23B64EAFC
66	249BDC80F	0316ED79E	1E42B5567	0CFF04A4B	310678543	34D986980	1E3195429	280966E65
67	359A72B64	186A3999D	065825DDF	2D28E6000	10964C1E1	1468C970E	34C8B606A	33CC94DB1
68	370B29C05	12841A9E8	2147E7160	1835345EE	06DB43F37	33854A725	065E6614C	151E2D7B1
69	0EAADDB27	004EC6DDD	30AA39B8B	2AEB34AD4	2A13D6649	00EC67B83	1176417CE	0E3683151
70	0832BA87B	3B67515B9	0FD34BC87	1688F83CB	370B52AD5	3A2CD6F3F	3343BF461	37BD48546
71	16EA2751C	1799D9C42	24055CEC9	226A907D4	133C68F80	22CA03BF0	05F723395	2D35008AF
72	122A5C67D	3E46230BC	09F475BA9	15B4B6754	11DE75C50	28C17544F	1D85FAB8D	0D5AD9537
73	1C5497CD9	3D405F487	05535D737	06952087B	1C4744AF4	3E0EF881C	3CED3D1BB	1D91157CE
74	1D276153D	14604EA77	1661FB979	3BAC5E9FB	089F41406	283154122	2AFDCE892	1FD5E0810
75	2A620F4C2	0DE484180	2D05E6458	3E6D15A27	0A92FF0B7	2CBF7BF53	25A2F28FA	19A10CE02
76	3A77B1FBE	2B262F810	2BEEA0F46	39706BBA2	09257163F	1026D5D74	2E2483EBF	1D6527C1E
77	0DC1EBA02	383C59C77	28C7ED115	06FED31D4	16F610DC3	000890B82	2FAD16A3A	35C9AD95F
78	3E5C1EBE2	3C65A7691	2394005B6	251B1BB49	1F42BFA23	0E8608C07	24666F55C	11A5214DF
79	323E882C5	2DBFF5E13	3638BC43F	38CC5CBB5	1DBF783FB	0499418C7	2285E5A40	1A61D17E7
80	1E508F19D	0CF345F97	0E5648601	0A0951DF3	1194EE717	0A6C0B374	03C4E19EC	06F725799
81	0B54F4AEF	186A12343	04C4A60C6	27C2CC0E9	3973075A1	392C5EEB7	3933C99B1	005F98CB2
82	021B6635A	3764D0696	20942B266	0155C4EDD	3FDBF7497	37356D442	374F3DB06	2718357FE
83	120DF6F80	0E41F376A	03544C7B2	2D6795EFD	29E8811F1	1B3EFD388	01CA4C48D	2067E8033
84	07703D649	35221AB50	22141A0D7	268061A59	2D9192B05	3834711FF	3A07258C0	36253B5AA
85	1C4A564C1	26804247A	16A4DB29D	0BEF93C88	37A3EAB6C	25547B136	3FC935878	250E3BF1C
86	17049BB43	0D6426761	2BF3A471E	1665820E9	14412A13D	30D5744B0	2ECE5CAE6	01395189C
87	29615B890	0A2C5A664	216DA64F4	3D4AA9D2C	07B98342C	2603F0D76	0574BDFA8	3F9B35D5D
88	3A0414B22	0A8BE885E	155C220E4	2D3B17AA6	3017E1B48	26508C6C8	3FF25EC63	240EFF072
89	2ACD81CE3	0468D7943	2A4108121	1F2E8E67F	3AB446179	33325CA24	3006DD3A5	1A33F3A2C
90	2B038BAF7	070660C4E	30953C7B7	3E7375D04	1D6A39944	001BE5C8D	199A89253	0A82087BB

【０１８３】

【化５７】

91	03BF7C836	2CBF9FC48	38EAB1C98	11C303993	3D748807F	1EBD41D17	351085EF2	1C55B94D3
92	116E0BE61	17BC8C403	31BD1EAA2	1CF87C049	2A41CC04D	3883EFEC1	3971BBBE2	190CAE3B7
93	172799BB5	3301DB193	2480B569B	34DBEFE9C	003287827	38DAEA1CB	0B0E25BB4	1972B37E3
94	3EF1F9EF4	189D8C3E0	1941998D3	259838BC9	28E545988	33BFC60D8	3572B10F3	197913B6B
95	24CF96D66	285347801	22BC70E5E	394231BCC	077583F4E	0364420AF	278FBF5CB	3850AFC8B
96	1B38C4A50	04439E0B5	3A7BEB18B	3003A36CD	329D5A2B6	1BB123AFA	049C2CC94	0F604D1DC
97	28D47EF33	24CF66B6B	24B716FA9	34ED7F6BB	186AE44B4	1380D0726	1CC51324E	16BA74F62
98	04422E60A	3424BA16C	3FF1B39DD	1A1E658F7	33457317D	14E822151	3EC02F279	28593D11D
99	0F2DF0912	21BBFA838	32D634EBF	2061148FD	09A565B74	2BCE430B7	34DAAD9FA	228ADAFE5
100	2D7EE0544	25D57B7CA	0FADAF20D	19B4F6444	3A75DF1C1	0AD3EDD56	0A4D61EEA	28C1262A5
101	1B6AEE253	0BFE02772	24AB19547	186A377A5	03089B4E8	128955F60	3A8DA9AC8	2931648B3
102	21BE0200F	00F34B4F5	34FF3261B	1A0E27AED	0A821AEFB	21B0BA404	1C6A644A4	1734EBB33
103	201FBFD73	0592E9D86	053D87C9D	3CAFC7479	22F1BA3FA	3DB25DD15	31D468990	22FF2B539
104	06C77404E	18AE64252	3963D899A	37179C03C	0FD2E3D04	191E64DBB	380B841FB	368E1DEAA
105	3A561759B	156243DE8	04325D217	33993D0B0	0CEAC2109	002242D1B	33C1D9F5E	1EC4195D3
106	17D7A9B74	1F44ABA75	17B572FE3	096008B9B	1F1E00AAE	05489F7A1	17A4C131D	1C018E923
107	0A4ACCEC8	1F294A30D	19CAEE64E	002787A1B	03EB3238D	27C10F626	1C9E656A0	3F73609F0
108	1E0E3C802	1B52D12AA	2F4E003B7	23BA7A6F1	3CAA0998A	32E96C916	168EFA1EE	28147EE33
109	1CEC9799E	215D9302B	176BB6639	003D5E371	12FE4ADB3	3106B64E2	001D9C28E	0F39059DC
110	31570792D	2260D7FEF	1AC830374	118FE7C78	08F982159	23BB2B13A	2C7944305	376396F3C
111	2D340540B	272E94D06	097C70995	0E70DDADA	1DBD644E5	341A72A58	01CBF5334	2C7999AF9
112	3FF17764D	0701DFAD3	146BDBB97	229D2D7F0	03C5DA21D	3A5916EC7	2390AC01D	197D64233
113	3E9759D5A	00B237425	0B7E646B9	190CB4D16	2646AA1D4	1A373103D	337E5EFB1	0199DE4A1
114	3FD5ADE8A	26B843860	0A2D0AA7B	3C351E07F	1B25376AE	05C553CDD	1DBC3F38D	019823A2A
115	30FF187B4	112F9D7A1	1AE977517	3760AF555	004F86368	3700975C2	0518029DE	032427D9B
116	3A86D49BB	057E649D8	2FDE33D7E	31254217C	30E05CE12	10BCC1CD7	1889C5139	38A163ECF
117	2610F5174	02A7ACB27	208B84FF0	14609CA80	0F3526318	38EBC7384	287C57BAA	279661A9C
118	014F6D77B	1036B3D2C	294F1999A	33A059187	26CCE0507	180DF3129	00A6CAE22	2AC0F23A2
119	347C62997	1912A710D	2260C531F	2F54BBEBB	0A2D90305	1BBEE20E4	0AF79997E	2376F3D0F
120	04484EB82	181977944	1C1CC2693	227ECAB0F	23F32982B	19E2F290C	1BA2300F8	0EFB06247
121	0EC048AD8	3B2168495	34FC02DA1	2C0CDEF52	0553CA222	25DFA4581	29CF66B6B	0AB9C21CD
122	2AF502148	3B00632F9	387CDC4BF	3F8B9F716	19084CD65	0354918C7	39D1FD9AA	0F5ABDB77
123	2C6E2557A	3E8A19D6B	3E6756A28	237E6E5BF	24CA57004	1D52401AD	0237F1D80	0FB2B335D
124	228F4B540	07532BF5D	101F67F52	29D8598EE	0421A0E23	2D89C2AFF	0963D2F3B	24C472A63
125	0CF3598E8	196A40BD2	00E63B26D	088A0BFCA	1C78E9016	03835236C	33071A836	3949DC586
126	3E815D747	1588D4E96	073C8D44A	303281AE4	095D31EC8	1F10F69DC	200F057D8	1F270128F
127	34F9ACB6B	384870FF1	257A863DE	34B36BA0F	3FA3D216B	27425041B	0E0DD0BAD	2E95AD35D

【０１８４】

【化５８】

【表１３】

n=2(Segment 2)：

q＼blk	A	B	C	D	E	F	G	H
0	13F99E8EC	3CF776C2A	3300A482C	0B2BF4791	17BECDFE8	35998C6D4	05F8CB75C	259B90F0B
1	116913829	05188F2A4	2DB0A8D00	2F770FE4A	185BE5E33	0F039A076	212F3F82C	116635F29
2	004EE1EC6	18EF4FDD9	26C80900E	1A63FB8A7	1DAA917D4	0E6716114	02690646D	0CC94AD36
3	06D4FF377	2716E8A54	16A1720C8	08750246F	393045CCB	1DBCCDE43	114A0CAD6	181690377
4	3DC4EF347	1F53452FC	01584B5D3	11D96034F	1FA62568E	11974FACA	191BE154D	397C9D440
5	05A1B6650	29835ADAD	2F6DDABE4	0976A607B	11BA92926	2456B1943	3E3FD608B	095E7584B
6	00CC66282	0560BE767	21EBAA7C6	2D8E9ACE3	198A9E285	05F3E73DD	13DA751A2	176B75E43
7	03D08ADC1	2254606FC	3C695D892	1DA9E0280	2CD4FF589	19B78A5A4	0CE67A7C6	12535A61C
8	0984647CF	0822BA46B	3EB2BC076	212596F54	11CC2E64E	120BADF9F	0DA72CEDE	30D0E106F
9	083CE5726	1F05DA925	169D93EF6	1FCADF3D3	08A5CF0BC	317C8508F	19BDCCFE7	0FACE3631
10	27583A466	1CB1634D5	03C7849F7	38C6CED00	1161C173A	15A645D3E	281A7ED92	076ADA797
11	33BA1AE8F	187F578EE	32473D69A	2458B703B	267E59071	0F317883B	3E7DEDBF1	3B9859BA7
12	0322609A3	20C4C957C	3FD638746	3FB716D79	36BD0CF1C	333B11B8F	0027ED1F2	3E7471BF3
13	3529922B1	0ECECBE04	1980B9B9E	38D60363F	18904BCED	108E3E5F1	34B95C446	338F51DAC
14	21FD50527	0EA2F7A31	1E294A159	114734A02	120B90BF3	3F3617C92	0129071E2	106640936
15	2B59354BB	275BF9761	39C6FF332	2004B3902	053F9DCB0	19D79A902	2B3125038	20649B43E
16	03A8A7A2B	091AE6721	18651FD9E	1F5415ECD	1B38EA62E	07FB0F422	3EB58896B	077FE4C7C
17	06A13CB38	340099B18	2AE6D6385	1669631F9	28E51A676	19A023391	261855F39	3E518F0BC
18	2A88F831B	09D295831	294C468DF	1477F0A13	37725C6EB	00E7DB222	27D610157	349A8FAB6
19	163E1C44D	3F98B6F4A	1805538DD	01EE3DB4A	22AA1797E	27568753E	16090F219	2C9838C01
20	34B0543DC	121B8EA82	00873B4A0	220FE7C05	2EDBEAE34	1104BDB93	0711E8C0E	0E1C107BD
21	226183AFF	15643DE71	04A4CDECB	2E67FDF8A	26D2A6D40	25E7695F1	1A99778F5	20FE0C1A3
22	0F7EAC09D	12BB72B2A	182E44301	2962EB85A	3477C1B69	3E3CF56F7	29C9D00C6	39788600C
23	31084BEB5	1DC90E345	391736CC1	3C8292AE1	38A0D515C	3977012F6	25D1F6055	36A7D3F8B
24	229D3ABAC	1044BA05F	0C391B88A	0636A90A6	0B14322AB	21ADC33E4	2DC1A3BFE	0D7FF6D1F
25	33C85B393	37BFA31B6	134F872F0	0C5EA36E1	286956ED1	1632092FA	382B4BB10	23DC3EF14
26	38E8B9BF6	0A0CE666B	207D98054	23FF360AD	121BFDA4E	347D442FD	242922C07	23C6E4115
27	263EA8516	36138BD6A	0ED9C55E7	3F0937876	03232BC24	18E5FFF26	3530CF206	3981B7414
28	1D9AC2E79	051B220E9	3F3B09EC8	0D3F6C366	0201A7CB9	3D5477092	22185FF9F	1C5AA5348
29	208D85694	22104E7C5	14BCFD3DD	3592DF665	1F4EC3265	24358076A	2D20A8000	017F2D489
30	36B3A9A2C	3F8E0F162	13ACDCCF2	16951F727	271E73555	1B3EDCDE7	162B45352	1CAFA635A
31	2D30FE705	3EC9BFC8D	1B10F8349	34F973F31	1CA96A349	1A28B4543	1C5367CE6	2DFAB0AE7
32	21D93EB5A	0E49D6211	3C6FCF774	09F44CACF	2D8CD2BEA	037DDAD3D	3BBD06D1D	39CBB996F
33	159B1F948	0183E8DCD	3A484866C	21F8DF1A5	219A58193	2D1B3C399	2275F19BA	0EFF4C612
34	22EB93A82	15047E272	15428D77B	38FFC612E	20609BE54	3226C8254	3E5568DB2	159284EED
35	34529707C	2E84585F4	20DFFB4C5	28288AA00	10EFC1E07	3C4D211FC	379087C3F	25716A7DD
36	20106354F	22AEB9FD7	3A6BAC67D	3126294C6	0FBC874AC	2DFE5675A	391B1DDAA	06BAA74D8
37	348F831C5	2E44BF3C2	3D9F6F454	20746A30E	08D183029	35C6BFEA7	2729B552B	263BB2EBD
38	202D7F08F	0DBE1C144	132F4EC09	184CD9B93	2596F5884	2A55B8217	2BEAE02D8	235A19A43
39	2DDE3FF5F	23932555C	001ED92D7	22FCD3D60	2C0737593	0B27E62FF	0693CFBDC	284D5B33F
40	1DB9AB8E9	2995EE0A1	1ACFE9892	0D41BCB9D	2E3806507	25CCD5D60	3536DF04C	0BB0A5E3B
41	3FFD4DD82	3E69CC1C1	2BC30FB74	3462F70FC	164FAE762	09B83F8AD	1DF593F3C	2DB478034
42	16E24E9B6	0A9FCFBD2	3A018544C	1ED8E2855	0037681E4	05950E1F8	1107DA097	377A25C65
43	03C9318B8	0C70A7749	0D58708C2	0CA2808C4	219E02554	39315B2F2	2E089B00F	302E135C7

【０１８５】

【化５９】

44	04DC211E8	1DD20A505	21A50649F	2CA438C04	39CAD66AE	2E1BD969F	002748760	069924211
45	2E84BCF09	226F5D43C	37BE7EB10	07CDC854A	06FB50D48	08966435B	01BA5E5D2	1D34057FA
46	2D8DFD565	0A30D633F	33F93B7C6	0B330E9D2	0E659B262	130669024	19A9D5F64	38059132D
47	17E4777AE	1308F9046	2F7C0483E	1859E0943	0982C9101	05453D92C	001F53877	388A571AB
48	00D29CC63	0A6D3BDED	1CA44D2AF	388C002CA	2A3D70EF7	2DD3F5A6F	39FEAF0B6	11DFE385F
49	3E3A6CEC4	122F5E8BE	360B96301	0632CF244	2E8985A9F	0FD256C87	0449C29D4	26B713C90
50	238150687	3D96F7F7B	0091E6D18	21802352A	02F7A466E	0A5BB6648	350DA85DB	1C97F4544
51	306BA76DE	379A88697	3F0DA31E1	0EBF48C71	27F8A46EB	3F75A19F6	277002F97	275B43715
52	24D946CC1	38DF102DC	3EFE1F5B3	3C316E148	2735B20CF	0688E430F	0316DC923	24919BEA1
53	0EEAF72D2	3C7248573	1087A7BD6	08EDA9BF6	2B5D97BF4	26733DC60	1190D275B	2EC7ABD30
54	37C6AB63E	2FFC9C790	02CAA37A7	1B34A3F84	0022CD5F6	3ECF891BF	193D545E2	0172C674E
55	0848A41C3	1D8150EE7	3D8A8549A	2595F707B	00640B276	2D44EBDAE	1CAF37453	377EF590A
56	16B7A5F7D	1F5AA7998	382300A8B	218916E53	19D00E728	1EDA11790	0BBDEF9C4	1DEB15796
57	3EFB3368D	392AA88AD	29CF3CACD	03F59ED8A	1042098CA	1721B8F3A	2B5DE9312	0CB5E6F23
58	1A8B0FB9E	3FBC09C8B	3D7F3E248	034C9BCB5	1BDD89300	3392476C0	0C10AED4B	23BECA42A
59	0EBC749B6	33453C7F6	304735F5C	334628143	1DAF6E7A9	11BB9C393	226C5E4FF	170372039
60	3F9262CBC	0693308C8	21B563415	09BDCC403	0112C79D4	2DA9F1134	36AA1CD7D	3A1608BFC
61	218AC590E	0FACC734D	02132C9A3	27087557E	076B3ECE7	2EA16BA3D	0E1D452F1	3F70B027A
62	004F9DC68	25BE3AD9C	2CBD3C07B	3F9DECD71	3E771E15A	11FF2F24D	2AEA5DF67	1E838955D
63	3A04BC376	1D19254F1	00F92DD2B	3C57484F3	181D0973E	319F9CEEA	053ADEEDB	1A3C22150
64	0F78BA6BC	2DFE0E681	3035BD77D	0A0FFD148	275F50C66	2246E9053	27B2BF3E9	1741894F8
65	1ACCD0F79	22F0AEA4F	32796ADB5	134A4A876	183D989E3	204C4BF97	22300E86F	3F18744A3
66	3EB6E19EF	1B24EAB88	2E318F810	3F07B618E	26B4C0C87	31CC10EA8	169E1B650	017DF88ED
67	2BD9E8FED	0AB104122	30C9D81A0	09EA73C7F	141357B1D	000A7DB48	1DD06FD41	0AFA8EF72
68	19CA5678F	28A89AA43	1DB945917	262AF69C3	3145A4473	3742CBFF5	1BCD965E9	1B0E7FC84
69	077838B25	2BF7032F8	23DC2E014	028544277	37B411B5F	392FF6CDC	1D66F2BE9	011372DA0
70	39596216C	05A651F63	183A6AE26	0D1FCA203	0FF6F0D22	2FEB8364B	05A438ED8	32D045F13
71	3711AD513	290B237FF	20E2A9B26	0C72A0234	2F1ABBE93	19B505378	354ED915D	0C359F272
72	1D7786BA4	1CCDF053A	36828B333	0ED27AFB6	241326FC4	1A9C37F8B	0A9C3C372	05937E898
73	1053B9CDB	040B97B1D	0D4FF481D	23AD465A8	2906EBDE2	0C4F6C09D	2189C5FEA	2D90D305A
74	39073122B	35FEAA236	1B38B7A90	2E02AB9F7	219FEEA0A	36B3B2EF8	39A3F4C8B	15A42C9DD
75	2C6326A9E	33F7536C1	2A120C75F	37030CAA0	3A011882C	098C8504E	3B92D756B	175811CF9
76	38A0F736B	2BD9E9C32	3B989715A	2A646ADF4	2D02FE38C	11AC7E9E6	3F5464862	0F382B0D8
77	26897D80C	145B21D3E	143F5E320	30549707E	28126710C	122CA92BE	3AF47270C	0B544128F
78	00E931208	2E1E75EAA	374C36E5F	21724DFC5	1DFCD2028	1B3FF774E	3A826A68B	1781CDCA4
79	0C3D7268D	0B7A26BF9	1587CE5CD	1D04E1E60	36240C07D	1AC403449	0417F9622	02B9F8BED
80	1B569F488	08A3F3A46	377F03A18	2DE416045	1ED96E381	33F4F16DC	2C8DAAE4F	33E384AC7
81	13F709786	02A4E32CB	14C7F849E	09EA16987	06C849EA4	219E4B995	243CB7F07	253513BC6
82	09B83FDF2	119D60439	278290BFF	2483E6F2C	0EDEC175D	242A669C1	3EB639EF0	31EBB4CA0
83	22CAEF0E4	0B2FCDED0	19BA79607	343F81C7B	289AA213E	358AC9FFA	23956ADA1	00BC725E7
84	1186F95E3	2F95F4048	3CFBF41E2	1D1E4BE96	26B38BA65	2F715E590	2235C0029	2C89AF93F
85	33437ED6C	12F14DB69	2E70F5611	183752704	142BC8B34	3B90ECD86	1C11EB493	1022D4782
86	248457F60	05B9A28A5	0A2A5DD56	16002D9E7	34C87FB16	2E32BAE0C	21065BD64	1CCE92BB0
87	1DCE3941A	1D940ACE3	30D331B98	3D5A3BAB6	119791607	10FB0D788	2C78E9015	100B598E4
88	39C0BC811	1B886594E	27AF50C73	2DCEA05E6	0805EDCA9	3A5989B08	18AD24255	1683B7CF2
89	186A3D233	09E8B95DA	1ED9F3DBE	1B19A74F8	356CA7443	316C9FBE9	3F8A3162A	3A0BC11CC
90	02F039B63	2F02D3E75	0F5B5E89E	3D062255C	222C6AA4E	25DEA06FB	39488C071	139318BFB

【０１８６】

【化６０】

91	27B5B6EE8	22154E0BD	3FF7729F1	1052B1947	3D477BF2B	3EDB6745A	1B30CF849	030F84AF4
92	27B2D40BC	01EE5E9B6	24B0ACF84	3370F65E0	067D8DFA9	1C01B9327	26FF8FDB5	3809C0CA6
93	11F581193	07B9B7A7D	1CA56B4A3	3D088CC6C	11D52C38A	344760F0A	3D3AA336D	0118CBD93
94	096990784	2960D1672	3BFD7D847	2BC297EEE	32168CF28	3912FFF6C	08ED9BAB1	34452C6E5
95	02CD48DC2	186403849	24C6EE1EA	12ED5268A	2718C00E9	27E8F18CF	145913E2D	0B09009BB
96	06B97DD08	2880C9B96	37EB87E03	14C4ED01D	17041E5DC	347A412CB	088CE591B	0BE926B22
97	116250DF7	1745B4329	1102B7093	1CA549C5A	25244AB6C	374E0F19B	274F76015	0FB738F16
98	12841B9E9	1F9C4AEEB	1445F0C98	39FFB6307	02AB688E7	0FD8B499E	28D533072	138F162EA
99	22BD9525E	2030E58C6	25F2CD033	157D93437	1442E92D2	3D6EE9DF3	3CA5B469D	0588A0FAE
100	0FDEC177D	2606157BE	2224E556C	0C6F33897	0F830DE1B	3C3F9C1D8	2AF576923	0D4173E27
101	376EF82C2	30E3C582E	0A82DE29A	1B8D454D9	079ACE6D9	2579984C6	392F28400	24CEAEDF1
102	1CD4AA9D2	1DD6F4DA5	3485B7150	105DE02F9	22168E0FA	24F48AA6C	003771A39	306890843
103	1F8303786	2C981AAE4	0819F22E9	0A1D88D55	3B4C012FD	0214CDF52	19DF3BE8F	02364E19A
104	1364A15C0	16E9F9961	17E598810	2654E5A2C	09B43C7C8	3A5E2AF45	14FC71E26	2B4BA69F4
105	12E128BEF	19166342E	04A1404B7	283D17B66	014836F64	13BE0B4B5	2F8583C08	2B19A7FB4
106	19F83FDE2	361D25170	36354011B	3FF4EC74B	1B2128FF9	0C849EB1B	096B991D8	1CA7A74AA
107	32E0BEF35	11A61714D	34C56D40B	0742C52FE	00ED2F1C4	3997FC7B7	06E414374	180DCD64F
108	18399ED59	224E6C2FF	3450F1BB7	27A1CA959	21B5E00F8	13B67DAE8	0B14C022E	0E41BBEE2
109	318D94D05	2EBB53B17	331C3E6F4	0FBCD71ED	380FF18B8	3E3C75B26	0E0088A18	17553D2A2
110	37AC7E5D5	27C9EADFA	3FC47B5E4	38699BB57	1564F8B27	3579C7FEB	13401BD88	0DB519DE0
111	0FF4D6F22	3C84242F3	2DEAE40AD	305F320A5	244CB97B0	0892DA905	3F09D5CB5	332E7DB02
112	31479E580	1B6AD13E0	16A1CF9E2	33A0A119A	1AC8388E9	3D4105F37	226501835	27AF1310F
113	1CBDAFE39	3E5A30C1C	236E9A029	063430D97	0CD91A825	02F335D7E	1989FE0BE	13C4E2A20
114	10B393370	33CB79316	2CEB44FC0	236019420	248F95ACB	35034B6F0	365691771	34A8FBCB6
115	25463FC5F	082FC0ED2	038ACE1CC	3E959B49D	21B8C04F5	08633F3A0	3A5D18159	12B3EC4C7
116	167B32C3E	06FF88387	34C3F468B	3239005B2	121C913AF	21C90CE16	28B54D557	3811CB0A9
117	221BD0503	0AF619499	21F8D40C1	1B3DA7AEE	3FA2E3B05	348466C50	10F12A28D	0E70B26AB
118	1D79A57C5	315D2460F	1402B8222	28DC66FEA	1BCF748F9	2AD5D4227	0094D2CAD	25EA22A58
119	062B39CFB	310E8818D	0F2D0A235	3F6468866	33F86F342	39CAB5BBC	2E7D6A8BF	3E9218162
120	2FCDEA0E0	1BDD766A4	2827B99BB	0B5F04CC9	1C9E02A9A	1A6675ED4	033497A06	07D4ADD44
121	3CD46CD9D	311A64A85	24DDFE6FF	3411C6FE5	0D0613CDA	0E9276056	178ACC4F8	23DEA3CB0
122	2762D6A40	306FE3843	1402589C8	382B07654	160BA3DEA	3815B54C8	273960105	2076A15E5
123	1C593A744	1562487F6	0C38617B4	2CA68266A	071C4BF93	2593F0BDC	1562436E5	199BEEA49
124	35B8C7503	278F57EAA	34A804061	19C657A74	385734710	3FAC27628	0707BED4E	32F20F45E
125	34994C46C	1C6B99499	1AF24D850	11AD795D3	19288BFE9	1360C1B96	3B5D8DBC0	2554E72D6
126	22D7095A4	34B70502A	3F0CB27D2	04FC214E6	24C0B80C5	03D6F4DC8	1432A099E	26300D70E
127	21C33416F	18B894695	3AC062614	3537CF601	00A20A8B8	1CD10BAF5	394DF1DC0	0925851ED

シミュレーション：本発明で提案されたＳＡ－プリアンブルの特性

本発明で提案した表１１～１３のシーケンス及び複素共役演算によって拡張されたシーケンスの特性を調べた（セグメント別２５６個）。対照群としては、ＩＥＥＥ　８０２．１６ｅシステムで既に公知のプリアンブルシーケンス（１１４個）及びＩＥＥＥ　８０２．１６ｍシステムで既に公知のＳＡ－プリアンブルシーケンス（セグメント別２５６個；表１０及びＩＥＥＥ　８０２．１６ｍ－０９／００１０ｒ２、Ｔａｂｌｅ　６５８及び６５９を参照）を使用した。相互相関値、ディファレンシャル相互相関値（タイプ１）、ディファレンシャル相互相関値（タイプ２）、自己相関値、ディファレンシャル自己相関値及びブースティングレベルを測定した。ディファレンシャル相互相関値（タイプ２）は、数学式２６の方法で計算した。ブースティングレベルは、時間領域で最大ピーク値が９ｄＢを超えないようにする最大値を測定した。残りの測定方法は、数学式９乃至１８を参照

する。
【０１８７】
【化６１】
【数２６】

$$R^{a,b}=\frac{1}{N-1}\sum_{n=0}^{N-2}\left(a_d(n)\right)^{*}b_d(n)$$

ここで、
【０１８８】
【化６２】

$$z_d(n)=\left(z(n)\right)^{*}z(n+1)$$

であり、Ｎはシーケンス長を表す。
【０１８９】
表１４～１９は、本発明で提案されたシーケンス（Ｅｘ，ｓｅｇ＿０～Ｅｘ，ｓｅｇ＿２）及び対照群（１６ｅ及び１６ｍ、ｓｅｇ＿０～１６ｍ、ｓｅｇ＿２）に対する特性試験結果を表す。
【０１９０】
【化６３】
【表１４】

	Cross-correlation						
	16e[a](114)	16m[b],seg_0 (256)	Ex[c],seg_0 (256)	16m,seg_1 (256)	Ex,seg_1 (256)	16m,seg_2 (256)	Ex,seg_2 (256)
Min	0.000	0.000	0.000	0.000	0.000	0.000	0.000
Max	0.303	0.403	0.301	0.361	0.303	0.347	0.303
Mean	0.074	0.074	0.074	0.074	0.074	0.074	0.074
Median	0.070	0.069	0.069	0.069	0.069	0.069	0.069
std. dev.	0.039	0.039	0.039	0.039	0.039	0.039	0.039
*a: IEEE 802.16e システムで既に公知のプリアンブル(144 個) *b: IEEE 802.16m システムで既に公知の BPSK タイプ SA-プリアンブル(256 個) *c: 本発明で提案された QPSK タイプ SA-プリアンブル(256 個)							

【０１９１】

【化６４】

【表１５】

	Differential cross-correlation (type 1)						
	16e[a](114)	16m[b],seg_0 (256)	Ex[c],seg_0 (256)	16m,seg_1 (256)	Ex,seg_1 (256)	16m,seg_2 (256)	Ex,seg_2 (256)
Min	0.000	0.000	0.000	0.000	0.000	0.000	0.000
Max	0.236	0.329	0.235	0.310	0.234	0.319	0.235
Mean	0.041	0.041	0.042	0.041	0.042	0.041	0.042
Median	0.037	0.037	0.038	0.037	0.038	0.037	0.038
std. dev.	0.025	0.025	0.025	0.025	0.025	0.025	0.025

*a: IEEE 802.16e システムで既に公知のプリアンブル(144 個)
*b: IEEE 802.16m システムで既に公知の BPSK タイプ SA-プリアンブル(256 個)
*c: 本発明で提案された QPSK タイプ SA-プリアンブル(256 個)

【０１９２】

【化６５】

【表１６】

	Differential cross-correlation (type 2)						
	16e[a](114)	16m[b],seg_0 (256)	Ex[c],seg_0 (256)	16m,seg_1 (256)	Ex,seg_1 (256)	16m,seg_2 (256)	Ex,seg_2 (256)
Min	0.000	0.007	0.007	0.007	0.007	0.007	0.007
Max	0.239	0.315	0.237	0.301	0.239	0.315	0.238
Mean	0.065	0.067	0.077	0.067	0.077	0.067	0.077
Median	0.056	0.063	0.073	0.063	0.073	0.063	0.073
std. dev.	0.049	0.050	0.040	0.050	0.040	0.050	0.040

*a: IEEE 802.16e システムで既に公知のプリアンブル(144 個)
*b: IEEE 802.16m システムで既に公知の BPSK タイプ SA-プリアンブル(256 個)
*c: 本発明で提案された QPSK タイプ SA-プリアンブル(256 個)

表１４～１６を参照すると、本発明で提案されたＱＰＳＫタイプＳＡ－プリアンブルが、最大値の側面において、ＩＥＥＥ　８０２．１６ｍシステムで既に公知のＢＰＳＫタイプＳＡ－プリアンブルよりも常に低い相互相関値を有する。

【０１９３】

【化６６】

【表１７】

	Auto-correlation						
	16e[a](114)	16m[b],seg_0 (256)	Ex[c],seg_0 (256)	16m,seg_1 (256)	Ex,seg_1 (256)	16m,seg_2 (256)	Ex,seg_2 (256)
Min	0.091	0.139	0.126	0.139	0.126	0.139	0.119
Max	0.203	0.333	0.250	0.306	0.237	0.361	0.264
Mean	0.134	0.213	0.178	0.206	0.173	0.212	0.177
Median	0.133	0.222	0.175	0.194	0.169	0.194	0.176
std. dev.	0.020	0.034	0.024	0.034	0.022	0.038	0.023
*a: IEEE 802.16e システムで既に公知のプリアンブル(144 個) *b: IEEE 802.16m システムで既に公知の BPSK タイプ SA-プリアンブル(256 個) *c: 本発明で提案された QPSK タイプ SA-プリアンブル(256 個)							

【０１９４】

【化６７】

【表１８】

	Differential auto-correlation						
	16e[a](114)	16m[b],seg_0 (256)	Ex[c],seg_0 (256)	16m,seg_1 (256)	Ex,seg_1 (256)	16m,seg_2 (256)	Ex,seg_2 (256)
Min	0.127	0.133	0.128	0.133	0.134	0.119	0.144
Max	0.408	0.315	0.253	0.357	0.244	0.357	0.264
Mean	0.216	0.214	0.181	0.218	0.184	0.216	0.184
Median	0.211	0.217	0.179	0.217	0.183	0.217	0.183
std. dev.	0.044	0.035	0.024	0.039	0.023	0.036	0.023
*a: IEEE 802.16e システムで既に公知のプリアンブル(144 個) *b: IEEE 802.16m システムで既に公知の BPSK タイプ SA-プリアンブル(256 個) *c: 本発明で提案された QPSK タイプ SA-プリアンブル(256 個)							

表１７～１８を参照すると、本発明で提案されたＱＰＳＫタイプＳＡ－プリアンブルが、最大及び平均値の側面において、ＩＥＥＥ　８０２．１６ｍシステムで既に公知のＢＰＳＫタイプＳＡ－プリアンブルよりも常に低い自己相関値を有する。

【０１９５】

【化６８】

【表１９】

SA-preamble signal boosting levels			
	Ants/FFT	512	2048
16m[a]	1	1.59 dB	1.49 dB
(FSTD)	2	2.18 dB	2.09 dB
	4	2.84 dB	3.11 dB
	8	3.54 dB	4.40 dB
Examples[b] (FSTD[c])	1	1.87 dB	1.69 dB
	2	2.51 dB	2.42 dB
	4	4.38 dB	3.50 dB
	8	8.67 dB	4.95 dB
a: IEEE 802.16m で既に公知の BPSK タイプ SA-プリアンブル b: 本発明で提案された QPSK タイプ SA-プリアンブル c: Frequency Switched Transmit Diversity			

表１９を参照すると、本発明で提案されたＱＰＳＫタイプＳＡ－プリアンブルは、５１

２－ＦＦＴ及び２０４８－ＦＦＴに対する８つの場合のいずれにおいても、既に公知のＢＰＳＫタイプＳＡ－プリアンブルに比べて高いブースティングレベルを有する。特に、５１２－ＦＦＴ、４－アンテナ及び８－アンテナの場合、本発明で提案されたＱＰＳＫタイプＳＡ－プリアンブルは、既に公知のＢＰＳＫタイプＳＡ－プリアンブルに比べて少なくとも２倍高いブースティングレベルを有する。この結果から、本発明で提案されたＱＰＳＫタイプＳＡ－プリアンブルは、既に公知のＢＰＳＫタイプＳＡ－プリアンブルに比べてより低いＰＡＰＲを有するということがわかる。

【０１９６】

表２０には、ＦＦＴサイズ及びアンテナ個数による電力ブースティングを例示する。表２０に例示した電力ブースティングは、表１１～１３に例示したシーケンスに最適化されたもので、時間領域で最大ピーク値は９ｄＢブースティングを越えない。

【０１９７】

【化６９】

【表２０】

Ant＼FFT	512	1024	2048
1	1.87	1.75	1.69
2	2.51	2.33	2.42
4	4.38	3.56	3.50
8	8.67	6.25	4.95

上記表で、単一アンテナ及び５１２－ＦＦＴの場合、ＳＡ－プリアンブルは、１．８７の強度でブースティングされる。この場合、ｋ番目の副搬送波のブースティングされたＳＡ－プリアンブルは、$c_k = 1.87 b_k$で表現することができ、b_kは、ブースティング前のＳＡ－プリアンブル（＋１，－１，＋ｊ，－ｊ）を表す。

【０１９８】

表２１は、ＳＡ－プリアンブル構造でそれぞれのサブブロックに対するブロックカバーシーケンスを表すものである。２進シーケンス｛０，１｝に変換されたブロックカバーシーケンスは、｛＋１，－１｝としてマッピングされる。

【０１９９】

【化７０】

【表２１】

(FFT, number of antennas)＼Segment ID	0	1	2
(512,1)	00	00	00
(512,2)	22	22	37
(512,4)	09	01	07
(512,8)	00	00	00
(1024,1)	0FFF	555A	000F
(1024,2)	7373	3030	0000
(1024,4)	3333	2D2D	2727
(1024,8)	0F0F	0404	0606
(2048,1)	0F0FFF00	00000FF0	0F000FFF
(2048,2)	7F55AA42	4438180C	3A5A26D9
(2048,4)	1A13813E	03284BF0	391A8D37
(2048,8)	0D0EF8FA	0C0BFC59	03000656

図１６は、ＩＥＥＥ　８０２．１６ｍシステムにおけるレンジングチャネル構造の例を示す図である。レンジング手順は、様々な目的のために用いられる。例えば、レンジング手順は、アップリンク同期、アップリンクリソース要請などに用いられる。

【０２００】

図１６を参照すると、レンジングチャネル構造は、時間領域で長さT_{RCP}のレンジン

グＣＰ（Ｒａｎｇｉｎｇ Ｃｙｃｌｉｃ Ｐｒｅｆｉｘ；ＲＣＰ）と、長さ$Ｔ_{ＲＰ}$のレンジングプリアンブル（Ｒａｎｇｉｎｇ Ｐｒｅａｍｂｌｅ；ＲＰ）とを含む。$Ｔ_{ＲＰ}$は、レンジング副搬送波スペーシング（$△ｆ_{ＲＰ}$）の逆数に比例する。表２２は、レンジングチャネル構造の構成を表すものである。

【０２０１】

【化７１】

【表２２】

Format No.	Ranging Channel Structure	T_{RCP}	T_{RP}	Δf_{RP}
0	Structure 1	$T_g+k\times T_b^{(a)}$	$2\times T_b$	$\Delta f/2$
1	Structure 3			
2	Structure 2	$m\times T_g+n\times T_b^{(b)}$	$2\times 2\times T_b^{(c)}$	
3	Structure 3	$7\times T_g+T_b$	$8\times T_b$	$\Delta f/8$
4	Structure 4	T_g	T_b	Δf

上記表で、$Ｔ_{ｂ}$は、有効シンボル期間を表し、$Ｔ_{ｇ}$は、ＣＰ期間を表し、△ｆは、副搬送波スペーシングを表す。詳細な事項は、表７及びその説明を参照すればいい。ｋは、数学式２７のように表現することができる。

【０２０２】

【化７２】

【数２７】

$$k = \lceil \{[N_{sym} \cdot T_s - 2 \cdot (T_{RP} + T_g)]/3\} \cdot F_s \rceil / N_{FFT}$$

ここで、$Ｎ_{ｓｙｍ}$は、サブフレーム内のＯＦＤＭＡシンボル個数を表し、$Ｔ_{ｓ}$は、ＯＦＤＭＡシンボル期間を表し、$Ｆ_{Ｓ}$は、サンプリング周波数を表し、$Ｎ_{ＦＦＴ}$は、ＦＦＴサイズを表す。ｍは、（$Ｎ_{ｓｙｍ}$＋１）／２を表し、ｎは（$Ｎ_{ｓｙｍ}$－４）／２を表す。詳細な事項は、表７及びその説明を参照すればいい。

【０２０３】

レンジングチャネルフォーマット０で、反復されたＲＣＰ及びＲＰは、サブフレーム内で一つの時間レンジング機会（ｏｐｐｏｒｔｕｎｉｔｙ）として使用される。フォーマット２は、サブフレーム内で一つのＲＣＰ及び反復されたＲＰで構成される。フォーマット１は、１個のＲＣＰ及び２個のＲＰで構成される。フォーマット１が使用される場合、サブフレーム内に２個のレンジング機会が存在する。フォーマット４は、フォーマット１と同じ構造を有するが、長さは異なる。フォーマット４のＲＰ１、ＲＰ２、ＲＰ３及びＲＰ４はそれぞれ、レンジングシーケンスの最初の部分、二つ目の部分、三つ目の部分及び最後の部分で構成される。

【０２０４】

図１７は、本発明の一実施例による送信機及び受信機の構成を示すブロック図である。ダウンリンクにおいて、送信機１８１０は基地局の一部であり、受信機１８５０は端末の一部である。アップリンクにおいて、送信機１８１０は端末の一部であり、受信機１８５０は基地局の一部である。

【０２０５】

図１７を参照すると、送信機１８１０において、シーケンスプロセッサー１８２０は、シーケンス生成、シーケンス選択、シーケンス拡張などと関連した様々な動作を直接行ったり、これらの動作を行うように他のモジュールを制御することができる。シーケンスプロセッサー１８２０は、メモリーから母シーケンスを選択したり、シーケンス生成器を用いて母シーケンスを生成したりすることができる。また、シーケンスプロセッサー１８２０は、複素共役演算及び／または逆演算によって母シーケンスから新しいシーケンスを生成することができる。シーケンスプロセッサー１８２０は、選択／生成／拡張されたシーケンスを変調器１８３０に伝達することができる。変調器１８３０は、シーケンスプロセッサー１８２０から伝達されたシーケンスを、ＢＰＳＫ、ＱＰＳＫ、８－ＰＳＫなどのよ

うなシーケンスタイプによって変調させる。変調器１８３０は、シーケンスプロセッサー１８２０の制御の下に、変調シーケンスに複素共役演算及び／または逆演算を行うことができる。複素共役演算及び／または逆演算を行う機能は、別のモジュールで行うように構成することもできる。変調シーケンスは、変調器１８３０または別のモジュールで副搬送波にマッピングされ、伝送しようとするチャネルに応じて副搬送波に連続的または不連続的にマッピングされることができる。無線周波数（ＲＦ）モジュール１８３２は、副搬送波にマッピングされたシーケンスを無線インターフェースに適合するように処理（例、アナログ変換、増幅、フィルタリング及び周波数アップコンバージョン）してＲＦ信号を生成する。ＲＦ信号は、アンテナ１８３４から受信機１８５０に伝送される。受信機１８５０は、アンテナ１８５２を通じて送信機１８１０から伝送される信号を受信し、受信した信号は、ＲＦモジュール１８５４に提供される。ＲＦモジュール１８５４は、受信された信号を処理（例、フィルタリング、増幅、周波数ダウンコンバージョン、デジタル化）して入力サンプルとして提供する。復調器１８６０は、入力サンプルを復調してシーケンスを提供する。チャネル推定器１８８０は、受信したパイロット値に基づいてチャネル推定値を誘導する。復調器１８６０は、チャネル推定値を用いて受信したシーケンスに等化を行い、送信機１８１０のためのシーケンス推定値を提供する。シーケンス検出器１８７０は、図６に例示した方法などを用いて、送信機１８１０から伝送したシーケンスを検出または推定する。

【０２０６】

制御器／プロセッサー１８４０及び１８９０はそれぞれ、送信機１８１０及び受信機１８５０に含まれる種々の処理モジュールの動作を監督及び制御する。メモリー１８４２及び１８９２はそれぞれ、送信機１８１０及び受信機１８５０のためのプログラムコード及びデータを保存する。

【０２０７】

以上の実施例は、本発明の構成要素及び特徴を所定の形態として結合したものである。各構成要素または特徴は、別の明示的な言及がない限り、選択的なものとして考慮しなければならない。各構成要素または特徴は、他の構成要素や特徴と結合しない形態として実施することもできる。また、一部の構成要素及び／または特徴を結合して本発明の実施例を構成することもできる。本発明の実施例で説明される動作の順序は変更可能である。ある実施例の一部構成や特徴は、他の実施例に含まれることもでき、他の実施例の対応する構成または特徴に取って代わることもできる。特許請求の範囲で明示的な引用関係を有しない請求項を結合して実施例を構成することもでき、出願後の補正により新しい請求項として含めることもできることは明らかである。

【０２０８】

本明細書において、本発明の実施例は、基地局と端末間のデータ送受信関係を中心に説明された。本文書で、基地局により行われると説明された特定動作は、場合によっては、基地局の上位ノード（ｕｐｐｅｒ　ｎｏｄｅ）により行われることもできる。すなわち、基地局を含む多数のネットワークノード（ｎｅｔｗｏｒｋ　ｎｏｄｅｓ）からなるネットワークにおいて端末との通信のために行われる種々の動作は、基地局または基地局以外の別のネットワークノードにより行われることができる。‘基地局’は、固定局（ｆｉｘｅｄ　ｓｔａｔｉｏｎ）、Ｎｏｄｅ　Ｂ、ｅＮｏｄｅ　Ｂ（ｅＮＢ）、アクセスポイント（ａｃｃｅｓｓ　ｐｏｉｎｔ）などの用語に代替可能である。また、‘端末’は、ＵＥ（Ｕｓｅｒ　Ｅｑｕｉｐｍｅｎｔ）、ＭＳ（Ｍｏｂｉｌｅ　Ｓｔａｔｉｏｎ）、ＭＳＳ（Ｍｏｂｉｌｅ　Ｓｕｂｓｃｒｉｂｅｒ　Ｓｔａｔｉｏｎ）などの用語に代替可能である。

【０２０９】

本発明の実施例は様々な手段、例えば、ハードウェア、ファームウェア（ｆｉｒｍｗａｒｅ）、ソフトウェアまたはそれらの結合などにより具現することができる。ハードウェアによる具現の場合、本発明の一実施例は、一つまたはそれ以上のＡＳＩＣｓ（ａｐｐｌｉｃａｔｉｏｎ　ｓｐｅｃｉｆｉｃ　ｉｎｔｅｇｒａｔｅｄ　ｃｉｒｃｕｉｔｓ）、ＤＳＰｓ（ｄｉｇｉｔａｌ　ｓｉｇｎａｌ　ｐｒｏｃｅｓｓｏｒｓ）、ＤＳＰＤｓ（ｄｉｇｉ

ｔａｌ ｓｉｇｎａｌ ｐｒｏｃｅｓｓｉｎｇ ｄｅｖｉｃｅｓ）、ＰＬＤｓ（ｐｒｏｇｒａｍｍａｂｌｅ ｌｏｇｉｃ ｄｅｖｉｃｅｓ）、ＦＰＧＡｓ（ｆｉｅｌｄ ｐｒｏｇｒａｍｍａｂｌｅ ｇａｔｅ ａｒｒａｙｓ）、プロセッサー、コントローラー、マイクロコントローラー、マイクロプロセッサーなどにより具現することができる。

【０２１０】

ファームウェアやソフトウェアによる具現の場合、本発明の一実施例は、以上で説明された機能または動作を行うモジュール、手順または関数などの形態で具現することができる。ソフトウェアコードはメモリーユニットに記憶されてプロセッサーにより駆動されることができる。メモリーユニットは、プロセッサーの内部または外部に設けられて、既に公知の様々な手段によりプロセッサーとデータを交換することができる。

【０２１１】

本発明は、本発明の特徴を逸脱しない範囲で他の特定の形態として具体化できることは当業者には自明である。したがって、上記の詳細な説明は、いずれの面においても制約的に解釈してはならず、例示的なものとして考慮しなければならない。本発明の範囲は、添付した請求の範囲の合理的な解釈により決定しなければならず、本発明の等価的範囲内における変更はいずれも本発明の範囲に含まれる。

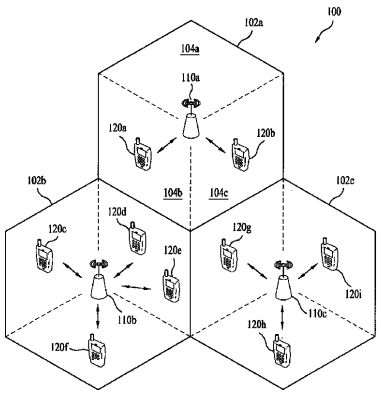
【産業上の利用可能性】

【０２１２】

本発明は、無線通信システムに適用されることができる。本発明は、ＳＣ－ＦＤＭＡ、ＭＣ－ＦＤＭＡ及びＯＦＤＭＡのうちの少なくとも一つを支援する無線通信システムに適用することができる。特に、本発明は、無線通信システムでシーケンスを送受信する方法及びそのための装置に適用することができる。

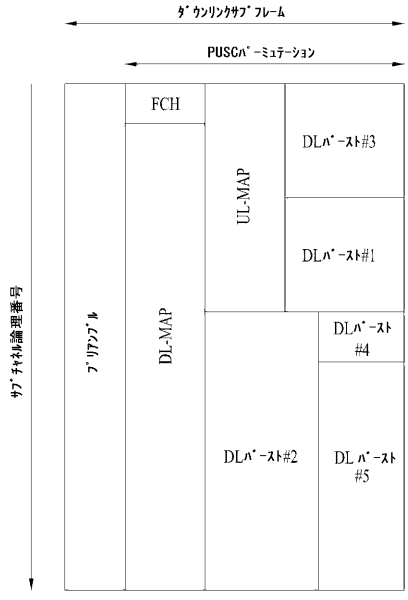
【図１】

[도 1]



【図２】

FIG. 2



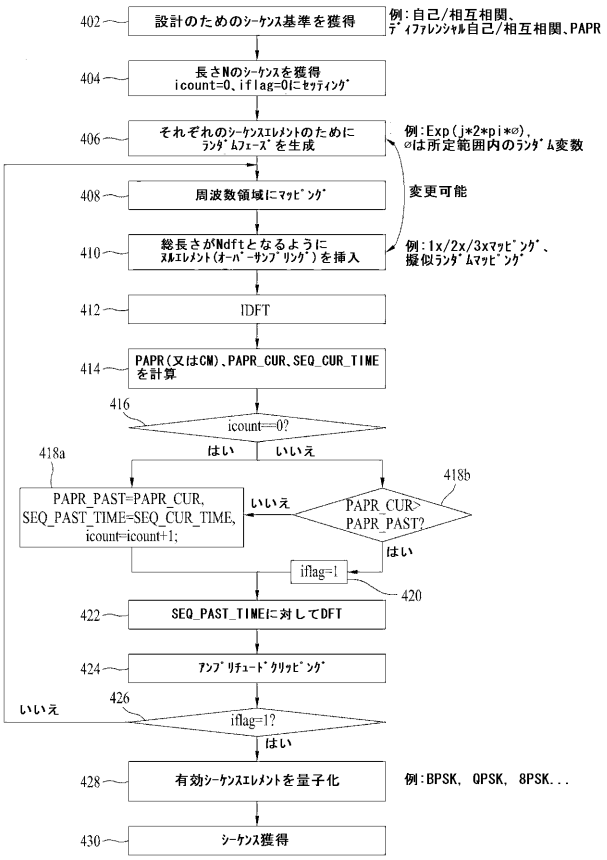
【図３】

[도 3]



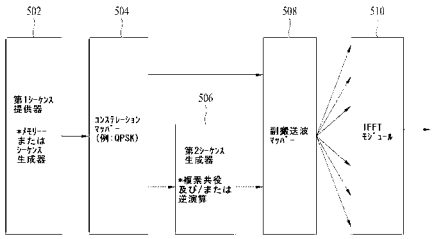
【図４】

FIG. 4



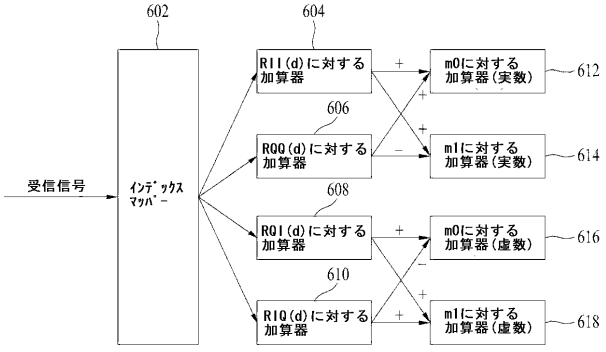
【図５】

FIG. 5



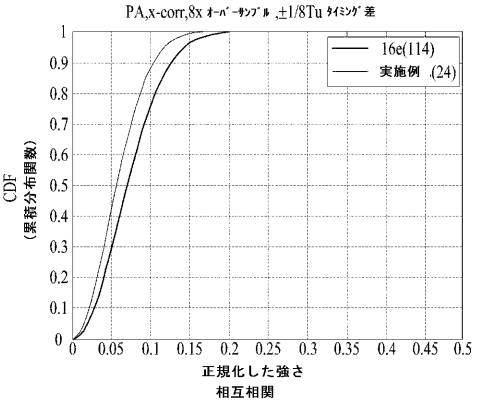
【図６】

FIG. 6



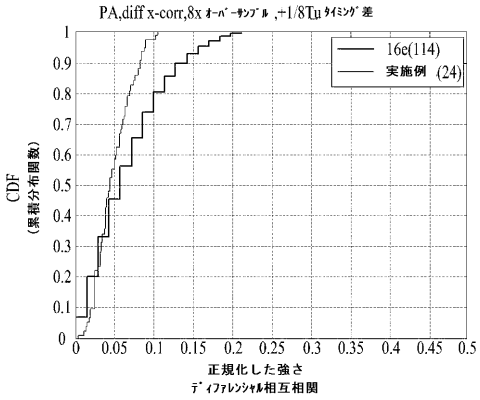
【図７Ａ】

FIG. 7A



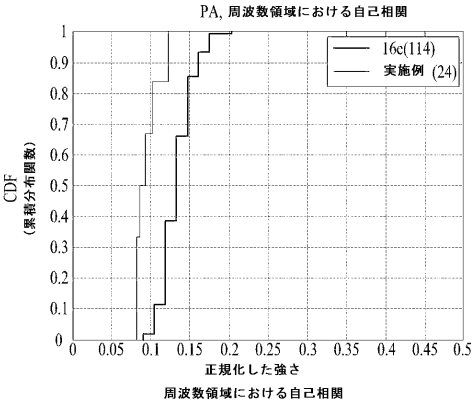
【図７Ｂ】

FIG. 7B



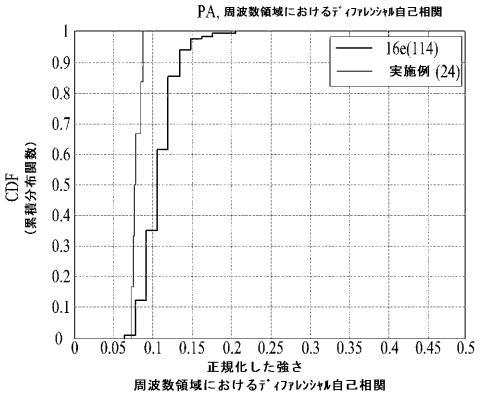
【図７Ｃ】

FIG. 7C



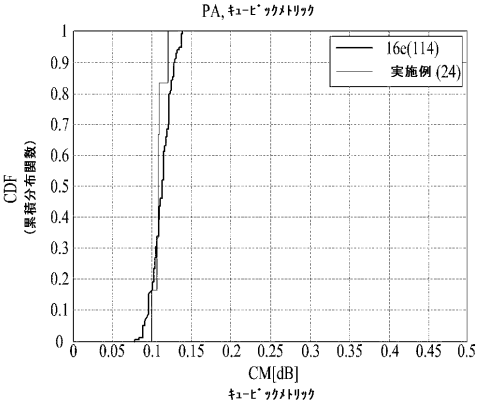
【図７Ｄ】

FIG. 7D



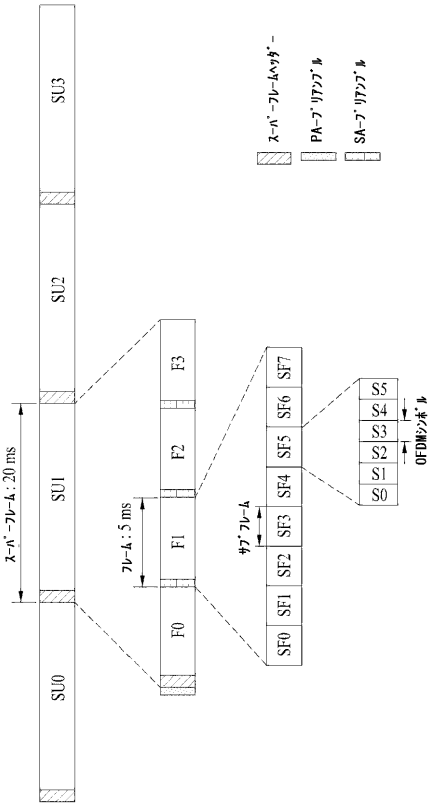
【図７Ｅ】

FIG. 7E



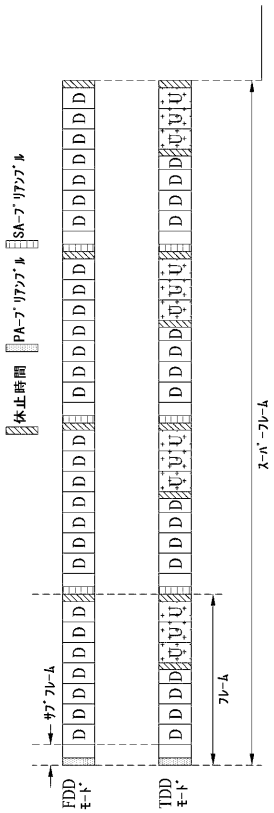
【図８】

FIG. 8



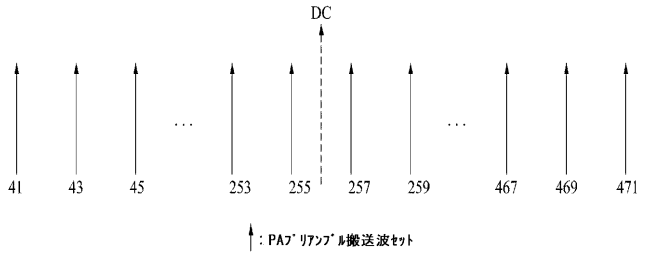
【図９】

FIG. 9



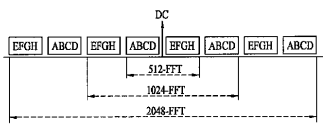
【図１０】

FIG. 10



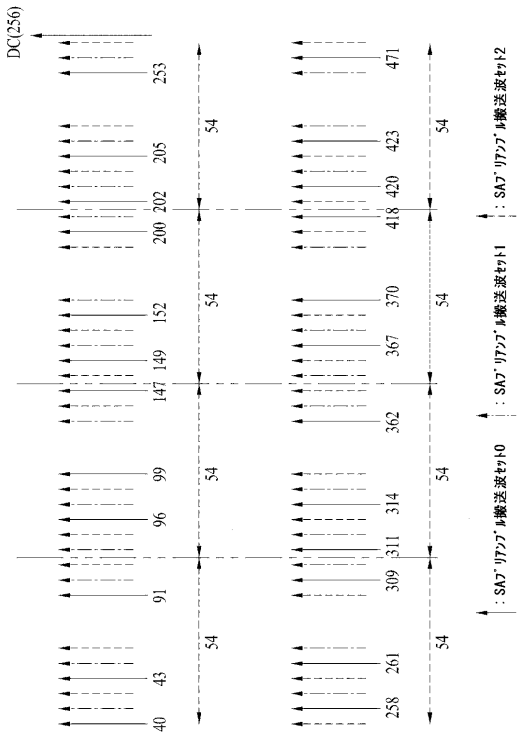
【図１１】

[도 11]



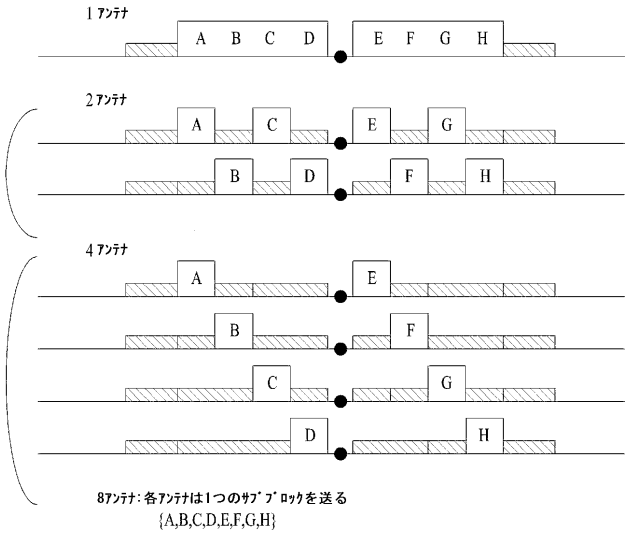
【図１２】

FIG. 12



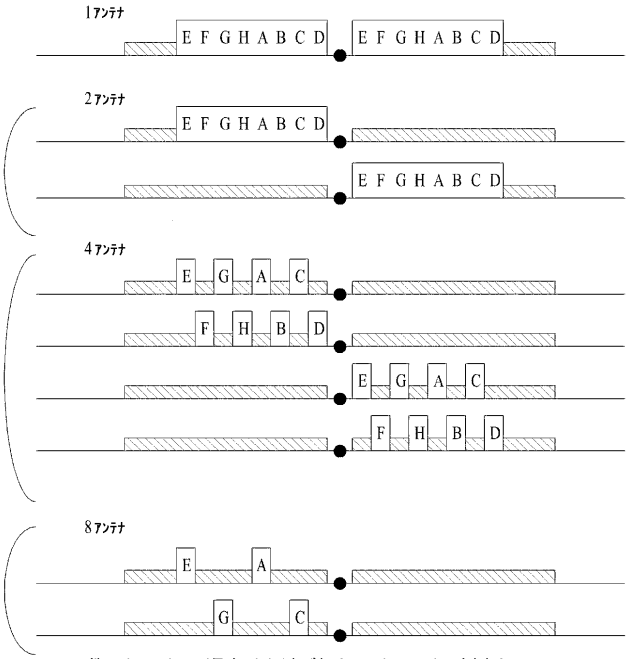
【図１３】

FIG. 13



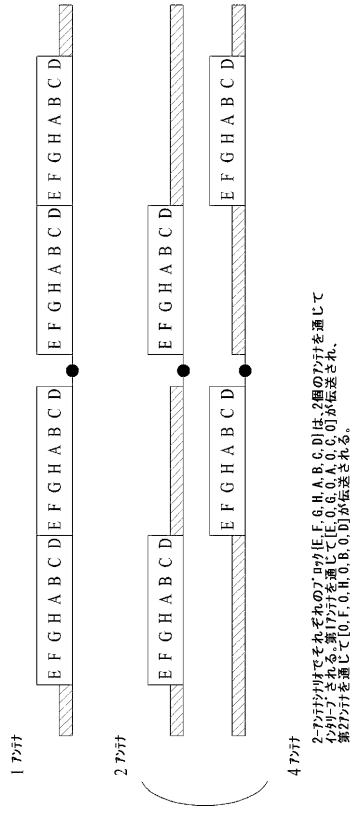
【図１４】

FIG. 14



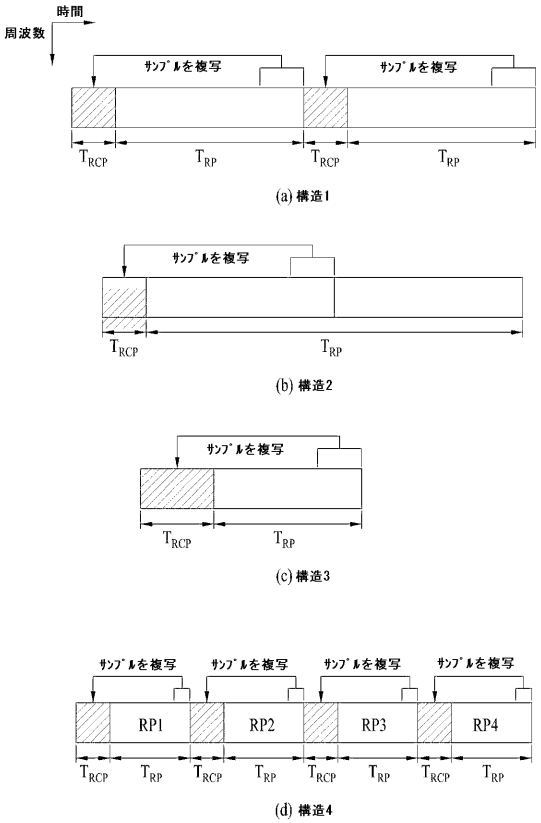
【図１５】

FIG. 15



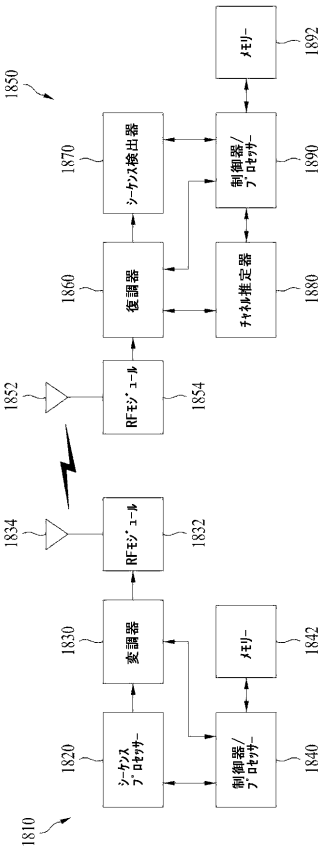
【図１６】

FIG. 16



【図１７】

FIG. 17


1850
1870
シーケンス検出器
1860
復調器
1852
RFモジュール
1854
1834
RFモジュール
1832
1830
変調器
1820
シーケンスプロセッサー
1810
1880
チャネル推定器
1890
制御器/プロセッサー
1892
メモリー
1842
メモリー
1840
制御器/プロセッサー

【国際調査報告】

INTERNATIONAL SEARCH REPORT

International application No.
PCT/KR2010/000824

A. CLASSIFICATION OF SUBJECT MATTER

H04L 27/26(2006.01)i, H04L 27/18(2006.01)i

According to International Patent Classification (IPC) or to both national classification and IPC

B. FIELDS SEARCHED

Minimum documentation searched (classification system followed by classification symbols)
H04L 27/26; H04B 1/69; H04K 1/10; H04B 1/707

Documentation searched other than minimum documentation to the extent that such documents are included in the fields searched
Korean Utility models and applications for Utility models: IPC as above
Japanese Utility models and applications for Utility models: IPC as above

Electronic data base consulted during the international search (name of data base and, where practicable, search terms used)
eKOMPASS (KIPO internal) & Keywords: sequence, transmission, modulation, OFDMA, symbol

C. DOCUMENTS CONSIDERED TO BE RELEVANT

Category*	Citation of document, with indication, where appropriate, of the relevant passages	Relevant to claim No.
A	US 2006-0133451 A1 (DAGNACHEW BIRRU et al.) 22 June 2006 See abstract, para. 0012-0037, all claims, figures 1-8	1-15
A	US 2006-0153282 A1 (YOUNG HO JUNG et al.) 13 July 2006 See abstract, para. 0015-0042, all claims, figures 1-5	1-15
A	US 2006-0193393 A1 (JUYUN SHEN et al.) 31 August 2006 See abstract, para. 0017-0030, all claims, figures 1-7	1-15

☐ Further documents are listed in the continuation of Box C. ☒ See patent family annex.

* Special categories of cited documents:
"A" document defining the general state of the art which is not considered to be of particular relevance
"E" earlier application or patent but published on or after the international filing date
"L" document which may throw doubts on priority claim(s) or which is cited to establish the publication date of another citation or other special reason (as specified)
"O" document referring to an oral disclosure, use, exhibition or other means
"P" document published prior to the international filing date but later than the priority date claimed
"T" later document published after the international filing date or priority date and not in conflict with the application but cited to understand the principle or theory underlying the invention
"X" document of particular relevance; the claimed invention cannot be considered novel or cannot be considered to involve an inventive step when the document is taken alone
"Y" document of particular relevance; the claimed invention cannot be considered to involve an inventive step when the document is combined with one or more other such documents, such combination being obvious to a person skilled in the art
"&" document member of the same patent family

Date of the actual completion of the international search	Date of mailing of the international search report
15 SEPTEMBER 2010 (15.09.2010)	**16 SEPTEMBER 2010 (16.09.2010)**
Name and mailing address of the ISA/KR Korean Intellectual Property Office Government Complex-Daejeon, 139 Seonsa-ro, Daejeon 302-701, Republic of Korea Facsimile No. 82-42-472-7140	Authorized officer Telephone No.

Form PCT/ISA/210 (second sheet) (July 2009)

INTERNATIONAL SEARCH REPORT
Information on patent family members

International application No.
PCT/KR2010/000824

Patent document cited in search report	Publication date	Patent family member	Publication date
US 2006-0133451 A1	22.06.2006	AU 2004-211330 A1	26.08.2004
		CA 2515900-A1	26.08.2004
		CN 1751450 A	22.03.2006
		CN 1751450 C0	22.03.2006
		EP 1597834 A2	23.11.2005
		JP 2006-517766 A	27.07.2006
		KR 10-2005-0105211 A	03.11.2005
		WO 2004-073218 A2	26.08.2004
		WO 2004-073218 A3	26.08.2004
US 2006-0153282 A1	13.07.2006	CN 1805422 A	19.07.2006
		CN 1805422 C0	19.07.2006
		EP 1681821 A2	19.07.2006
		EP 1681821 A3	22.07.2009
		KR 10-0899749 B1	27.05.2009
		KR20060082744A	19.07.2006
		US 2006-153282 A1	13.07.2006
		US 7539263 B2	26.05.2009
US 2006-0193393 A1	31.08.2006	CN 100505727 C	24.06.2009
		CN 1822583 A	23.08.2006
		CN 1822583 C0	23.08.2006
		DE 602006000145 D1	22.11.2007
		DE 602006000145 T2	10.07.2008
		EP 1694021 A1	23.08.2006
		EP 1694021 B1	10.10.2007
		JP 2006-229438 A	31.08.2006
		US 7649950 B2	19.01.2010

국제조사보고서

국제출원번호
PCT/KR2010/000824

A. 발명이 속하는 기술분류(국제특허분류(IPC))

H04L 27/26(2006.01)i, H04L 27/18(2006.01)i

B. 조사된 분야

조사된 최소문헌(국제특허분류를 기재)
H04L 27/26; H04B 1/69; H04K 1/10; H04B 1/707

조사된 기술분야에 속하는 최소문헌 이외의 문헌
한국등록실용신안공보 및 한국공개실용신안공보: 조사된 최소문헌란에 기재된 IPC
일본등록실용신안공보 및 일본공개실용신안공보: 조사된 최소문헌란에 기재된 IPC

국제조사에 이용된 전산 데이터베이스(데이터베이스의 명칭 및 검색어(해당하는 경우))
eKOMPASS(특허청 내부 검색시스템) & 키워드: 시퀀스, 전송, 변조, OFDMA, 심볼

C. 관련 문헌

카테고리*	인용문헌명 및 관련 구절(해당하는 경우)의 기재	관련 청구항
A	US 2006-0133451 A1 (DAGNACHEW BIRRU 외 1명) 2006.06.22 요약, para. 0012-0037, 청구항 전항, 도면 1-8 참조	1-15
A	US 2006-0153282 A1 (YOUNG HO JUNG 외 2명) 2006.07.13 요약, para. 0015-0042, 청구항 전항, 도면 1-5 참조	1-15
A	US 2006-0193393 A1 (JUYUN SHEN 외 3명) 2006.08.31 요약, para. 0017-0030, 청구항 전항, 도면 1-7 참조	1-15

☐ 추가 문헌이 C(계속)에 기재되어 있습니다.

☒ 대응특허에 관한 별지를 참조하십시오.

* 인용된 문헌의 특별 카테고리:

"A" 특별히 관련이 없는 것으로 보이는 일반적인 기술수준을 정의한 문헌

"E" 국제출원일보다 빠른 출원일 또는 우선일을 가지나 국제출원일 이후에 공개된 선출원 또는 특허 문헌

"L" 우선권 주장에 의문을 제기하는 문헌 또는 다른 인용문헌의 공개일 또는 다른 특별한 이유(이유를 명시)를 밝히기 위하여 인용된 문헌

"O" 구두 개시, 사용, 전시 또는 기타 수단을 언급하고 있는 문헌

"P" 우선일 이후에 공개되었으나 국제출원일 이전에 공개된 문헌

"T" 국제출원일 또는 우선일 후에 공개된 문헌으로, 출원과 상충하지 않으며 발명의 기초가 되는 원리나 이론을 이해하기 위해 인용된 문헌

"X" 특별한 관련이 있는 문헌. 해당 문헌 하나만으로 청구된 발명의 신규성 또는 진보성이 없는 것으로 본다.

"Y" 특별한 관련이 있는 문헌. 해당 문헌이 하나 이상의 다른 문헌과 조합하는 경우로 그 조합이 당업자에게 자명한 경우 청구된 발명은 진보성이 없는 것으로 본다.

"&" 동일한 대응특허문헌에 속하는 문헌

국제조사의 실제 완료일	국제조사보고서 발송일
2010년 09월 15일 (15.09.2010)	**2010년 09월 16일 (16.09.2010)**

ISA/KR의 명칭 및 우편주소	심사관
대한민국 특허청 (302-701) 대전광역시 서구 선사로 139, 정부대전청사 팩스 번호 82-42-472-7140	최진호 전화번호 042 481 5406

서식 PCT/ISA/210 (두 번째 용지) (2009년 7월)

국제조사보고서
대응특허에 관한 정보

국제출원번호
PCT/KR2010/000824

국제조사보고서에서 인용된 특허문헌	공개일	대응특허문헌	공개일
US 2006-0133451 A1	2006.06.22	AU 2004-211330 A1	2004.08.26
		CA 2515900-A1	2004.08.26
		CN 1751450 A	2006.03.22
		CN 1751450 C0	2006.03.22
		EP 1597834 A2	2005.11.23
		JP 2006-517766 A	2006.07.27
		KR 10-2005-0105211 A	2005.11.03
		WO 2004-073218 A2	2004.08.26
		WO 2004-073218 A3	2004.08.26
US 2006-0153282 A1	2006.07.13	CN 1805422 A	2006.07.19
		CN 1805422 C0	2006.07.19
		EP 1681821 A2	2006.07.19
		EP 1681821 A3	2009.07.22
		KR 10-0899749 B1	2009.05.27
		KR20060082744A	2006.07.19
		US 2006-153282 A1	2006.07.13
		US 7539263 B2	2009.05.26
US 2006-0193393 A1	2006.08.31	CN 100505727 C	2009.06.24
		CN 1822583 A	2006.08.23
		CN 1822583 C0	2006.08.23
		DE 602006000145 D1	2007.11.22
		DE 602006000145 T2	2008.07.10
		EP 1694021 A1	2006.08.23
		EP 1694021 B1	2007.10.10
		JP 2006-229438 A	2006.08.31
		US 7649950 B2	2010.01.19

フロントページの続き

(31)優先権主張番号 61/223,355
(32)優先日 平成21年7月6日(2009.7.6)
(33)優先権主張国 米国(US)
(31)優先権主張番号 10-2009-0077562
(32)優先日 平成21年8月21日(2009.8.21)
(33)優先権主張国 韓国(KR)

(81)指定国 AP(BW,GH,GM,KE,LS,MW,MZ,NA,SD,SL,SZ,TZ,UG,ZM,ZW),EA(AM,AZ,BY,KG,KZ,MD,RU,TJ,TM),EP(AT,BE,BG,CH,CY,CZ,DE,DK,EE,ES,FI,FR,GB,GR,HR,HU,IE,IS,IT,LT,LU,LV,MC,MK,MT,NL,NO,PL,PT,RO,SE,SI,SK,SM,TR),OA(BF,BJ,CF,CG,CI,CM,GA,GN,GQ,GW,ML,MR,NE,SN,TD,TG),AE,AG,AL,AM,AO,AT,AU,AZ,BA,BB,BG,BH,BR,BW,BY,BZ,CA,CH,CL,CN,CO,CR,CU,CZ,DE,DK,DM,DO,DZ,EC,EE,EG,ES,FI,GB,GD,GE,GH,GM,GT,HN,HR,HU,ID,IL,IN,IS,JP,KE,KG,KM,KN,KP,KZ,LA,LC,LK,LR,LS,LT,LU,LY,MA,MD,ME,MG,MK,MN,MW,MX,MY,MZ,NA,NG,NI,NO,NZ,OM,PE,PG,PH,PL,PT,RO,RS,RU,SC,SD,SE,SG,SK,SL,SM,ST,SV,SY,TH,TJ,TM,TN,TR,TT,TZ,UA,UG,US,UZ,VC,VN,ZA,ZM,ZW

(72)発明者 ハン, スン ヒー
大韓民国 ４３１－０８０ キョンギード, アニャン－シ, ドンガン－ク, ホゲ １（イル）－ドン, ナンバー５３３, エルジー インスティテュート
(72)発明者 クァク, ジン サム
大韓民国 ４３１－０８０ キョンギード, アニャン－シ, ドンガン－ク, ホゲ １（イル）－ドン, ナンバー５３３, エルジー インスティテュート
(72)発明者 ムン, スン ホ
大韓民国 ４３１－０８０ キョンギード, アニャン－シ, ドンガン－ク, ホゲ １（イル）－ドン, ナンバー５３３, エルジー インスティテュート
(72)発明者 ノー, ミン ソク
大韓民国 ４３１－０８０ キョンギード, アニャン－シ, ドンガン－ク, ホゲ １（イル）－ドン, ナンバー５３３, エルジー インスティテュート
(72)発明者 リー, ヒュン ウー
大韓民国 ４３１－０８０ キョンギード, アニャン－シ, ドンガン－ク, ホゲ １（イル）－ドン, ナンバー５３３, エルジー インスティテュート